

Nº 61
ZES.



UNIVERSIDAD NACIONAL AUTONOMA DE MEXICO

FACULTAD DE INGENIERIA

ANALISIS NUMERICO DE FLUJO EN CANALES CON
OBSTACULOS SUMERGIDOS UTILIZANDO
ELEMENTO FINITO Y SU COMPROBACION
EXPERIMENTAL

T E S I S

QUE PARA OBTENER EL TITULO DE:
INGENIERO CIVIL
P R E S E N T A :
FELIPE ALFONSO IBARRA SALGADO



MEXICO, D. F.,

1992

TESIS CON
FALLA DE ORIGEN



UNAM – Dirección General de Bibliotecas Tesis Digitales Restricciones de uso

DERECHOS RESERVADOS © PROHIBIDA SU REPRODUCCIÓN TOTAL O PARCIAL

Todo el material contenido en esta tesis está protegido por la Ley Federal del Derecho de Autor (LFDA) de los Estados Unidos Mexicanos (México).

El uso de imágenes, fragmentos de videos, y demás material que sea objeto de protección de los derechos de autor, será exclusivamente para fines educativos e informativos y deberá citar la fuente donde la obtuvo mencionando el autor o autores. Cualquier uso distinto como el lucro, reproducción, edición o modificación, será perseguido y sancionado por el respectivo titular de los Derechos de Autor.

I N D I C E

CAPITULO I

INTRODUCCION

1.1 Antecedentes	2
1.2 Conceptos básicos	3
1.3 Consideraciones	5
1.4 Flujo en canales	12

CAPITULO II

FORMULACION NUMERICA

2.1 Ecuación Laplace	15
2.2 Método de residuos pesados y elemento finito	16
2.3 Formulación débil	21
2.4 Condiciones de frontera y obtención de la solución	23
2.5 Comprobación de resultados	35

CAPITULO III

MODELO COMPUTACIONAL

3.1 Funcionamiento	41
--------------------	----

3.2 Listado	45
CAPITULO IV	
RESULTADOS NUMERICOS	
4.1 Interpretación	70
4.2 Tablas y figuras	75
CAPITULO V	
RESULTADOS EXPERIMENTALES	
5.1 Características de las pruebas	106
5.2 Obtención de los obstáculos	108
5.3 Resultados experimentales	119
CAPITULO VI	
COMPARACION DE RESULTADOS	129
CAPITULO VII	
CONCLUSIONES	139
APENDICE	142
BIBLIOGRAFIA	146

C A P I T U L O I

INTRODUCCIÓN.

1.1 ANTECEDENTES

A principios de este siglo, el estudio de los fluidos se realizaba, esencialmente, por dos grupos de personas, ingenieros hidráulicos y matemáticos. Los hidráulicos trabajaron siempre desde un punto de vista empírico; y los matemáticos, se concentraron en el desarrollo analítico. La amplia y frecuentemente ingeniosa experimentación de los primeros, ha proporcionado mucha información de innegable valor para los ingenieros prácticos de hoy en día. No obstante, al carecer de una teoría general, estos resultados fueron restringidos y de un limitado valor al enfrentar nuevos problemas. Entre tanto, los matemáticos, al no disponer de información experimental, se vieron forzados a establecer hipótesis simplificativas para obtener resultados muy alejados, con mucha frecuencia de la realidad.

Investigadores tan eminentes como Reynolds y Froude, consideraron evidente que el estudio de los fluidos debía ser una mezcla de teoría y experimentación.

1.2 CONCEPTOS BÁSICOS

Un canal abierto es un ducto en el que fluye un líquido con una superficie libre. En contraste con el líquido en tubería, donde el flujo se produce normalmente a presión; el líquido que lleva un canal abierto no ejerce presión a parte de la que provoca su propio peso y la presión de la atmósfera.

Los canales abiertos pueden ser naturales o artificiales. Las corrientes subterráneas en cavernas son consideradas canales abiertos, en tanto tengan una superficie libre. Por lo común, los canales naturales tienen una sección transversal irregular, lo mismo que su alineación y la rugosidad de sus paredes. Las corrientes de agua en materiales erosionables pueden cambiar con frecuencia o en forma continua su ubicación y su sección transversal. Estas irregularidades y cambios en las corrientes naturales presentan problemas de ingeniería, por ejemplo, en la navegación y el control de inundaciones, que se encuentran más allá del alcance de este trabajo que se ocupa de canales rectangulares artificiales.

Se construyen canales artificiales para varios fines:

- 1.- Desarrollo de energía eléctrica: se lleva agua de los arroyos o las presas a los sistemas de captación situados por encima de las plantas hidroeléctricas.
- 2.- Riego: se lleva agua de embalses o arroyos a depósitos o estanques de almacenamiento, o directamente para regar las

tierras.

3.- Suministro municipal de agua: se toma agua de arroyos o embalses de almacenamiento hasta estanques que dan suministro a los sistemas de distribución de agua en las ciudades.

4.- Alcantarillado: el alcantarillado de las ciudades, aunque por lo común se trata de tuberías o ductos cubiertos, se diseña en la forma de canales abiertos, porque se supone que no llevarán un flujo completo, sino que tendrán una superficie libre bajo presión atmosférica.

5.- Drenaje: las tierras bajas, pantanosas o anegadas se hacen con frecuencia más productivas mediante el drenaje a través de zanjas abiertas o tendiendo y cubriendo tuberías que pueden llevar o no un flujo completo.

6.- Control de inundaciones: la protección de ciudades o terrenos valiosos contra las inundaciones requiere a menudo el mejoramiento de un canal natural mediante la limpieza o la pavimentación para incrementar su capacidad, o mediante la construcción de canales adicionales.

Todas las ciencias de la ingeniería constituyen un compromiso entre la realidad física y las simplificaciones necesarias exigidas para su estudio matemático.

1.3 CONSIDERACIONES

Ahora se estudiará un flujo idealizado, que es asequible al tratamiento matemático y que al mismo tiempo es útil para la comprensión de ciertos flujos reales. Las hipótesis básicas para el estudio que sigue, son las expuestas a continuación:

- a) BIDIMENSIONAL.- Se distingue por la condición de que todas las propiedades y características del flujo son funciones cartesianas, por ejemplo, de "x" y "y", por lo tanto éstas no varían a lo largo del eje "z" en un instante dado. En todos los planos normales al eje "z" y en un instante determinado, existirá la misma configuración de las líneas de corriente.
- b) INCOMPRESIBILIDAD.- La densidad y el peso específico se consideran como constantes.
- c) IRROTACIONALIDAD.- Esto implica un fluido no viscoso, cuyas partículas se están moviendo inercialmente sin rotación.
- d) FLUJO PERMANENTE.- Esto significa que todas las propiedades y características del flujo son independientes del tiempo.

Un fluido se considera estático si todas las partículas del mismo están en reposo o tienen la misma velocidad constante con relación a un plano de referencia inercial.

Al considerarse en condiciones estáticas diversos tipos de

fluidos, se encuentra que ciertos fluidos varian muy poco de densidad a pesar de estar sometidos a grandes presiones. Los fluidos que se comportan de tal manera están invariablemente en estado líquido; bajo tales circunstancias, el fluido se llama incompresible.

Entendemos por superficie libre, a la superficie de separación entre un líquido y un gas o entre dos líquidos inmiscibles; en este caso un líquido y un gas que será el aire.

Un flujo se representa comúnmente de forma gráfica mediante las líneas de corriente. Estas son envolventes de los vectores velocidad de las partículas en el flujo. Esto se ilustra en la figura 1.1, cuando el flujo es permanente, las líneas de corriente permanecen fijas en el tiempo. En este caso las partículas fluidas se moverán a lo largo de trayectorias coincidentes con las líneas de corriente.

El conjunto de líneas de corriente que pasan por el contorno de un área infinitesimal, en un instante determinado, forman un tubo que es muy útil en el estudio de fenómenos en los fluidos. Se le llama tubo de corriente o filete fluido, uno de los cuales se representa en la figura 1.2. De la definición de línea de corriente, es evidente que no existe paso de flujo a través de la superficie lateral de un tubo de corriente. Un tubo de corriente se comporta como un conducto de paredes impermeables y espesor nulo y de sección recta infinitesimal. Un número infinito de tubos de corriente adyacentes dan lugar a un tubo de sección recta

finite llamando frecuentemente vena fluida o vena líquida.

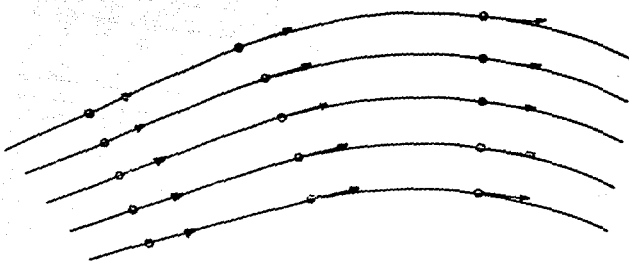
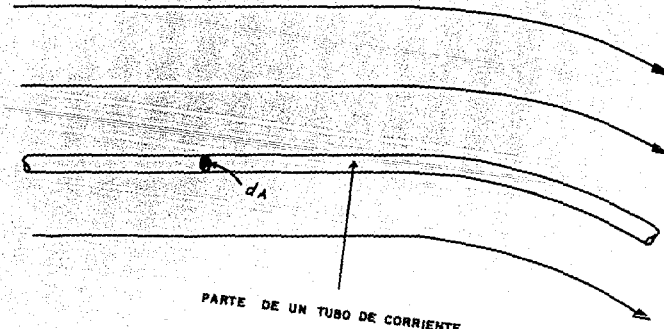


FIGURA 1.1.



PARTE DE UN TUBO DE CORRIENTE

FIGURA 1.2.

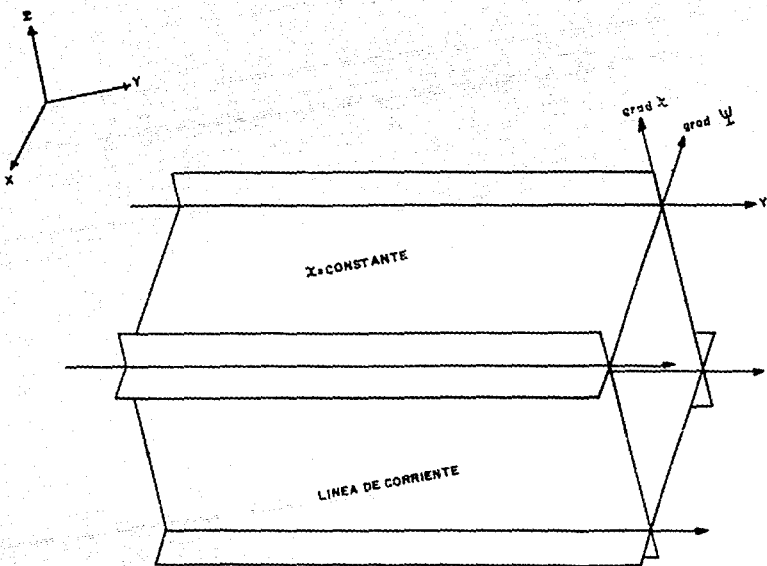


FIGURA 1.3. SUPERFICIE DE CORRIENTE

En la Fig. 1.3 se puede observar un tubo de flujo formado por dos sistemas diferentes de superficie de flujo (χ) cuyas intersecciones coinciden obviamente con líneas de corriente; si el flujo es no permanente o permanente, bidimensional, incompresible, viscoso o no viscoso, rotacional o irrotacional, entonces el valor de la línea de corriente será constante a lo largo de la intersección. Evidentemente esta misma consideración es válida para un flujo permanente en cualquier instante.

En el caso de un flujo bidimensional, la familia de planos paralelos (sobre los cuales la configuración del flujo es idéntica) se hace coincidir con el sistema de superficies " $x = \text{constante}$ ", donde el eje "z" es perpendicular a dicha familia. Con esa disposición, el vector "grad χ " es el mismo vector unitario "k" y la ecuación que define la velocidad es:

$$\mathbf{V} = \text{grad } \psi * \text{grad } \chi \quad (1.1)$$

$$\mathbf{V} = \text{grad } \psi * \mathbf{k}$$

cuyas componentes son:

$$V_x = \frac{\partial \psi}{\partial y} \quad (1.2a)$$

$$V_y = - \frac{\partial \psi}{\partial x} \quad (1.2b)$$

Para el flujo bidimensional la ecuación diferencial de la línea de corriente, según la ecuación siguiente es:

$$\frac{dx}{V_x(x,y,t_0)} = \frac{dy}{V_y(x,y,t_0)} \quad (1.3)$$

donde

$$V_x dy - V_y dx = 0$$

Substituyendo las ecuaciones 1.2 en esta ecuación, se obtiene

$$d\psi = \frac{\partial \psi}{\partial x} dx + \frac{\partial \psi}{\partial y} dy = 0 \quad (1.4)$$

o bien, por definición de gradiente

$$d\psi = \text{grad } \psi \cdot ds = 0 \quad (1.5)$$

Así, obviamente, el vector diferencial de arco sobre una línea de corriente es perpendicular a "grad ψ " y la ecuación de la línea será " $\psi(x,y) = \text{constante}$ ", cuya representación es una familia de líneas de corriente (como se muestra en la Fig. 1.4) cada línea de corriente no es más que la intersección de la superficie " ψ " que corresponde con el plano coordenado " $x - y$ ".

Por otra parte, si " n " es un vector unitario en la dirección normal a las líneas de corriente, por definición de derivada direccional se tiene que:

$$\text{grad } \psi \cdot n = \frac{\partial \psi}{\partial n} \quad (1.6)$$

Pero, toda vez que "grad ψ " y "n" son paralelos, "grad ψ n" (producto punto) es igual al módulo de "grad ψ " que de acuerdo con las ecuaciones 1.6, vale

$$\begin{aligned} |\text{grad } \psi| &= \left[\left(\frac{\partial \psi}{\partial x} \right)^2 + \left(\frac{\partial \psi}{\partial y} \right)^2 \right]^{1/2} \\ &= \sqrt{v_x^2 + v_y^2} = V \end{aligned} \quad (1.7)$$

Entonces

$$\frac{\partial \psi}{\partial n} = V \quad (1.8)$$

Sin embargo, de esta ecuación "V dn" es el gasto que pasa entre dos líneas de corriente " ψ " y " $\psi + d\psi$ " (Fig. 1.4) por unidad de ancho normal al plano del flujo, esto es:

$$\begin{aligned} q &= Q/b \\ dq &= d\psi = V dn \end{aligned} \quad (1.9)$$

por lo cual el gasto entre dos líneas de corriente " ψ_1 " y " ψ_2 " es:

$$q = \left[\psi \right]_1^2 - \psi_2 - \psi_1 \quad (1.10)$$

La ecuación 1.10 indica que el gasto que circula entre dos líneas de corriente es igual a la diferencia de los valores que

adquiere la función de corriente en esas líneas.

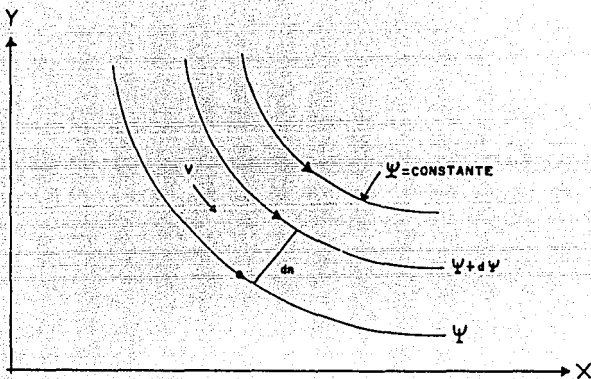


FIGURA. 1.4 FAMILIA DE LINEAS DE CORRIENTES.

1.4 FLUJO EN CANALES

El flujo de un fluido en un canal, se caracteriza por la exposición de una superficie libre a la presión atmosférica. Por esta razón, el fluido respectivo es siempre un líquido, por lo común agua.

Los problemas relacionados con el flujo en canales, representan una alta proporción del trabajo del ingeniero hidráulico y la aparente simplicidad resultante por la superficie libre es irreal, debido al incremento en la complejidad de dicho

flujo en comparación con el de un conducto a presión. El agua que fluye en un canal se ve afectada por todas las fuerzas que intervienen en el flujo dentro de un tubo, con la adición de las fuerzas de gravedad y de tensión superficial que son la consecuencia directa de la superficie libre. En realidad la superficie libre se debe considerar como una intercara entre dos fluidos, el superior, un gas usualmente estacionario (o en movimiento) y el inferior, un líquido en movimiento. Las fuerzas de gravedad y tensión superficial resistirán cualquier fuerza tendiente a distorsionar esta intercara, la cual siempre constituirá una frontera sobre la cual el ingeniero tiene control parcial.

Tomando en cuenta todo esto, se deduce la gran importancia de la aplicación de un método numérico, como lo es el método del elemento finito, con el cual podemos llegar a tener un gran ahorro en el tiempo de solución del problema dado.

En el presente trabajo se resolverá el flujo en un canal rectangular de pendiente constante con un obstáculo triangular sumergido, por el método de elemento finito, y se compararán los resultados con pruebas hechas en laboratorio. Se considera que el flujo es estacionario, bidimensional, e irrotacional, el fluido será tratado como no viscoso e incompresible, la gravedad será tomada en cuenta.

G A P I T U L O II

FORMULACION NUMERICA

2.1 ECUACION DE LAPLACE

Se partirá de la definición de función corriente considerando que cumple con:

$$u = \frac{\partial \psi}{\partial y} \quad v = -\frac{\partial \psi}{\partial x}$$

Tomando la ecuación de continuidad:

$$\frac{\partial u}{\partial x} + \frac{\partial v}{\partial y} = 0$$

Si sustituimos los valores de "u" y "v" en la ecuación de continuidad queda:

$$\frac{\partial}{\partial x} \left(\frac{\partial \psi}{\partial y} \right) + \frac{\partial}{\partial y} \left(\frac{\partial \psi}{\partial x} \right) = 0 \equiv \frac{\partial^2 \psi}{\partial x \partial y} - \frac{\partial^2 \psi}{\partial y \partial x} = 0$$

Tomando ahora en cuenta la condición de irrotacionalidad:

$$\frac{\partial v}{\partial x} - \frac{\partial u}{\partial y} = 0$$

Si sustituimos los valores de "u" y "v" en la ecuación de irrotacionalidad tendremos:

$$\frac{\partial}{\partial x} \left(-\frac{\partial v}{\partial x} \right) - \frac{\partial}{\partial y} \left(\frac{\partial u}{\partial y} \right) - \left[\frac{\partial^2 u}{\partial x^2} + \frac{\partial^2 u}{\partial y^2} \right] = 0 \quad (*)$$

Con lo que se llega a que la formulación matemática de este tipo de flujos debe cumplir con la ecuación de Laplace(*) .

2.2 METODO DE RESIDUOS PESADOS Y ELEMENTO FINITO

Por lo común las soluciones aproximadas de ecuaciones diferenciales satisfacen sólo parte de las condiciones del problema, por ejemplo, puede ser que la ecuación diferencial no se satisfaga en todos los puntos del mismo.

En general, la solución aproximada se expande en un conjunto de funciones con parámetros desconocidos; Una manera de determinar dichos coeficientes es aplicando el Método de los Residuos Pesados. En este método se trabaja directamente con la ecuación diferencial y con sus condiciones de frontera.

El Método de Residuos Pesados es un método general que se utiliza para obtener la solución de ecuaciones diferenciales parciales.

La solución que es a priori desconocida, se expande en un

conjunto de funciones de prueba que son definidas pero que tienen parámetros, constantes o variables que se pueden ajustar. Estos coeficientes se escogen de tal manera que den la mejor aproximación a la ecuación diferencial.

Sea la ecuación diferencial

$$L(u) = f \quad \text{o} \quad L(u) - f = 0$$

donde "L" es cualquier operador diferencial.

En el esquema de Residuos Pesados la función desconocida "u" se sustituye por:

$$u(*) \approx \bar{u}(*) = \sum_{j=1}^N U_j \phi_j(*)$$

donde "U_j", j=1,2,...,"N" son los coeficientes indeterminados de los que se habló en el párrafo anterior y "φ_j", j=1,2,...,"N" son funciones que se pueden definir tanto en el espacio como en el tiempo.

En el Método del Elemento Finito las funciones de prueba, también conocidas como funciones interpolantes, funciones de forma o funciones de base, se escogen que sean funciones polinomiales que satisfagan algunas condiciones de frontera impuestas en el problema.

Si sustituimos "u(*)" por "ū(*)" en nuestra ecuación, se tendrá un residuo:

$$L(\bar{u}(*)) = f = R(*)$$

pues " \bar{u} " no es la solución real.

Como ya se mencionó anteriormente, el objetivo del esquema de Residuos Pesados es determinar los coeficientes " U_j " de tal manera que este residuo sea minimizado. Una manera bastante directa de lograr esto sería simplemente igualar la integral de " $R(*)$ " a "0", es decir:

$$\int_{\Omega} R(*) d\Omega = 0$$

pero esta manera de proceder sólo generaría una ecuación para los "N" coeficientes desconocidos " U_j ". Esto puede ser modificado a nuestro favor si se introducen las "funciones de peso":

$$W_i(*), \quad i = 1, 2, \dots, N$$

Ahora, si igualamos cada una de las integrales de los "residuos pesados" a "0", nos proporcionará "N" ecuaciones independientes:

$$\int_{\Omega} R(*) W_i(*) d\Omega = 0 \quad i = 1, 2, \dots, N$$

En teoría, el sistema anterior puede ser resuelto para los "N" coeficientes y representa la ecuación general que describe el Método de los Residuos Pesados. Dependiendo cómo se definen tanto

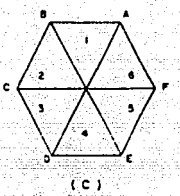
las funciones base como las funciones de peso, se tendrán diferentes esquemas numéricos.

Como ya se expuso anteriormente, la función solución desconocida a priori se aproxima por un conjunto de funciones de prueba que, en Elemento Finito, son de tipo polinomial. Ahora bien dependiendo el grado del polinomio que se utilice se tendrán funciones base, lineales, cuadráticas, cúbicas etc. (Fig. 2.1). Por ejemplo para tener una configuración como la de la figura 2.2.

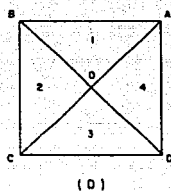
Si la función de peso se escoge igual a la función base se tiene el esquema Bubnov-Galerkin, que popularmente se conoce sólo con el nombre de Galerkin debido a que en 1915 el ingeniero ruso del mismo nombre lo desarrolló, pero Bubnov (también ruso), aplicó el mismo método en 1913. Si la función de peso es diferente a la función base se tendrá el esquema Petrov-Galerkin.

En este caso se analizará el flujo de líquidos, en particular el agua.

El método de elementos finitos transforma la ecuación diferencial parcial, en un sistema de ecuaciones algebráicas lineales, que pueden resolverse con relativa facilidad con ayuda de una computadora.



(C)



(D)

FIG. 2.1 AGRUPACION DE ELEMENTOS FINITOS PARA FORMAS

C) HEXAGONOS

D) CUADRILATEROS

(A)

(B)

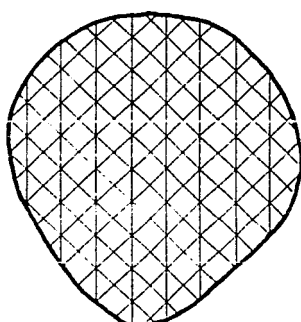
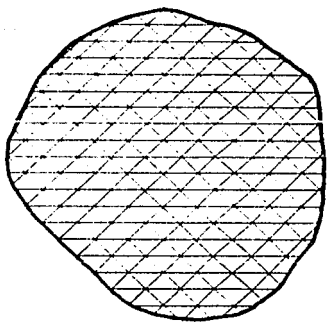


FIG. 2.2 DIVISION DEL CAMPO DE FLUJO EN ELEMENTOS FINITOS

2.3 FORMULACION DEBIL

Primeramente se relaja la función continua para encontrar una función más sencilla de resolver llamada formulación débil de la ecuación. posteriormente se realiza la discretización del dominio, para lo cuál se divide la región en elementos colocando nodos sobre los límites de la región y dentro de la misma, y uniéndolos de tal manera que se formen figuras geométricas. en este caso triángulos. Cada triángulo que se forme es un elemento (Lo más recomendable es que sean triángulos equiláteros). Como en elemento finito se trabaja con cada elemento en forma independiente. las funciones son continuas dentro de cada elemento. su derivada tal vez no lo sea. pero tiene que ser integrable.

Se escogen unas funciones llamadas de prueba o base y otras llamadas de forma o de interpolación. Para el presente trabajo las funciones de prueba y de base son iguales para poder usar el esquema Bubnov-Galerkin.

Para reducir el orden de la ecuación diferencial se integrará sobre el dominio, para lo que se usarán los teoremas de Green-Gauss y de la divergencia, haciendo equivalencias de las variables del teorema de Green-Gauss con las variables del producto de la función corriente con la función base y sustituyendo estas igualdades en la integral que se resolverá. lo

que nos dejará como única incógnita el valor de la función corriente, con lo que obtenemos la formulación débil de la ecuación original.

Las funciones base se escogen de tal manera que al evaluar la función en algún nodo, el valor que se obtendrá es "1" en dicho nodo y "0" en el resto, el resultado que nos da al evaluar cada elemento forma la llamada matriz local que será del número de nodos por elemento por el número de nodos por elemento, en el caso de usar elementos triangulares es de 3x3.

Como ya se ha mencionado, en elemento finito se trabaja con cada elemento en forma independiente (la función se integra para cada elemento), obteniendo como resultado la matriz local de cada elemento. No tiene caso integrar en toda la región, pues en casi todos lados esa función vale "0", entonces se integra sobre los elementos y posteriormente se suma sobre todos los elementos.

Se conoce como coordenadas globales de un nodo a las coordenadas dentro del sistema real de coordenadas, pero para mayor facilidad se pueden utilizar coordenadas locales, referidas a un sistema local de coordenadas.

El cambio de coordenadas globales a locales y viceversa se hace usando funciones de mapeo, ya que las coordenadas locales se encuentran en función de "r" y "s", y las globales se encuentran en función de "x" y "y".

Cuando se terminan de evaluar todos los elementos y se tienen las matrices locales, éstas se ensamblan en una matriz llamada global, en la que se colocará la contribución de cada elemento, representado por la matriz local, según la posición de los nodos en el sistema global o real (la matriz global es del número total de nodos por el número total de nodos).

Una vez ensamblada la matriz global se aplicarán las condiciones de frontera en los puntos correspondientes, estos puntos y sus condiciones se dan debido a las condiciones físicas del problema.

Cuando ya se aplicaron las condiciones de frontera al problema se procederá a resolver el sistema de ecuaciones contenido en la matriz global y el vector de términos independientes para obtener la solución.

2.4 CONDICIONES DE FRONTERA Y OBTENCION DE LA SOLUCION

Las condiciones de frontera del problema físico que representa un canal rectangular con un obstáculo sumergido en cuanto a sus líneas de flujo se presentan en la figura 2.3. en la que podemos observar que el valor de la línea de corriente en la plantilla del canal es igual a cero debido a que el gasto esta dado por " $\Phi_{superficie} - \Phi_{plantilla} = q$ " por lo que en la plantilla el gasto sera "0". la plantilla del canal representa el eje horizontal del sistema coordenado que se usará. También en la

superficie del obstáculo el valor de la línea de corriente es igual a cero. así mismo el valor de la líneas de flujo en la superficie libre del agua es igual al gasto por unidad de ancho. esto se debe a que la superficie libre del agua es el punto más alto del perfil formado en el canal. no puede haber ningún punto que tenga un valor mayor al gasto.

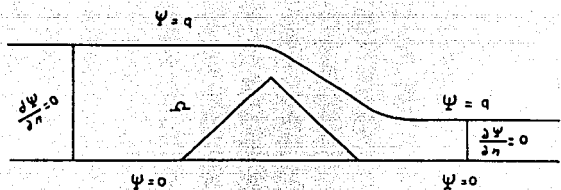


FIGURA 2.3

FIGURA 2.3

Recordando:

$$\begin{aligned}\frac{\partial \psi}{\partial n} &= \frac{\partial \psi}{\partial x} \hat{n}_x + \frac{\partial \psi}{\partial y} \hat{n}_y \\ &= u \hat{n}_x + v \hat{n}_y \\ &= \vec{v} \cdot \hat{n}\end{aligned}$$

Tomando la ecuación de Bernoulli en la superficie libre del agua.

$$\frac{1}{2} \left(\frac{\partial \psi}{\partial n} \right)^2 + \rho g = \rho h_0$$

Siendo "h₀" la carga total.

Para obtener la formulación débil, usando los teoremas de la Divergencia y de Green-Gauss se tiene:

$$\int_{\Omega} \beta (\nabla \vec{\omega}) d\Omega - \int_{\Gamma} \rho \vec{\omega} \cdot \hat{n} d\Gamma - \int_{\Omega} (\nabla \beta \cdot \vec{\omega}) d\Omega \quad (2.1)$$

donde

$$\beta = \nu_i$$

$$\vec{\omega} = \frac{\partial \psi}{\partial x} i + \frac{\partial \psi}{\partial y} j$$

nos queda

$$\int_{\Omega} v_i \left(\frac{\partial \psi}{\partial x} \left[\frac{\partial v}{\partial x} \right] + \frac{\partial \psi}{\partial y} \left[-\frac{\partial v}{\partial y} \right] \right) d\Omega = 0$$

$$\int_{\Omega} v_i \left[\frac{\partial^2 \psi}{\partial x^2} + \frac{\partial^2 \psi}{\partial y^2} \right] d\Omega = 0$$

sustituyendo estos valores en el lado derecho de la ecuación

2.1 tendremos:

$$\int_{\gamma} v_i \left(\frac{\partial \psi}{\partial x} i + \frac{\partial \psi}{\partial y} j \right) \cdot \hat{n} dr - \int_{\Omega} \left[\frac{\partial v_i}{\partial x} \frac{\partial \psi}{\partial x} + \frac{\partial v_i}{\partial y} \frac{\partial \psi}{\partial y} \right] d\Omega = 0$$

$$\int_{\gamma} v_i \frac{\partial \psi}{\partial \gamma} dr - \int_{\Omega} \left[\frac{\partial v_i}{\partial x} \frac{\partial \psi}{\partial x} + \frac{\partial v_i}{\partial y} \frac{\partial \psi}{\partial y} \right] d\Omega$$

por lo tanto:

$$\int_{\Omega} \left[\frac{\partial v_i}{\partial x} \frac{\partial \psi}{\partial x} + \frac{\partial v_i}{\partial y} \frac{\partial \psi}{\partial y} \right] d\Omega$$

tomando Bubnov-Galerkin:

$$\psi = f_j(x, y) \underline{\psi_j}$$

sustituyendo " ψ " en la ecuación anterior obtendremos:

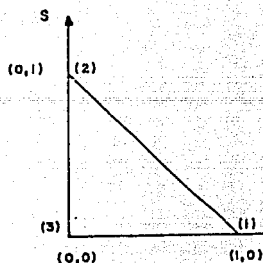
$$\int_{\Omega} \left[\frac{\partial v_i}{\partial x} - \frac{\partial f_j}{\partial x} \psi + \frac{\partial v_i}{\partial y} - \frac{\partial f_j}{\partial y} \psi \right] d\Omega = 0$$

como los valores de " v_i " y de " f_j " son dados la única incognita es " ψ ".

Por lo tanto:

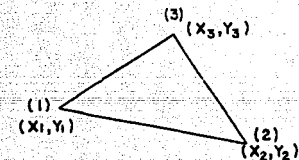
$$[K] \{ \psi \} = \{ 0 \}$$

tomando triángulos lineales (Fig. 2.4):



Triángulos locales

(A)



Triángulos globales

(B)

donde

$$x = f_1 X_1 + f_2 X_2 + f_3 X_3$$

$$y = f_1 Y_1 + f_2 Y_2 + f_3 Y_3$$

teniendo que

$$f_j(r,s) = \begin{cases} r \\ s \\ 1-r-s \end{cases}$$

si obtenemos las derivadas parciales de la función "f_j" con respecto a "r" y a "s" obtendremos:

$$\frac{\partial f_j}{\partial r} = \begin{Bmatrix} 1 \\ 0 \\ -1 \end{Bmatrix}$$

$$\frac{\partial f_j}{\partial s} = \begin{Bmatrix} 0 \\ 1 \\ -1 \end{Bmatrix}$$

si decimos que " $v_i = f_j$ " tenemos:

$$\int_{\Omega} \left(\frac{\partial f_i}{\partial x} \frac{\partial f_i}{\partial x} + \frac{\partial f_i}{\partial y} \frac{\partial f_i}{\partial y} \right) v_i d\Omega = 0$$

usando la regla de la cadena

$$\frac{\partial f_i}{\partial x} = \frac{\partial f_i}{\partial r} \frac{\partial r}{\partial x} + \frac{\partial f_i}{\partial s} \frac{\partial s}{\partial x}$$

de esto podemos decir que:

$$\frac{\partial f_i}{\partial r} = \frac{\partial f_i}{\partial x} \frac{\partial x}{\partial r} + \frac{\partial f_i}{\partial y} \frac{\partial y}{\partial r} \quad (2.2)$$

$$\frac{\partial f_i}{\partial s} = \frac{\partial f_i}{\partial x} \frac{\partial x}{\partial s} + \frac{\partial f_i}{\partial y} \frac{\partial y}{\partial s} \quad (2.3)$$

como:

$$x = f_j(r, s) X_j$$

$$\left\{ \begin{array}{l} \frac{\partial x}{\partial r} = \frac{\partial f_i}{\partial r} X_i + \frac{\partial f_z}{\partial r} X_z + \frac{\partial f_s}{\partial r} X_s \\ \frac{\partial y}{\partial r} = \frac{\partial f_i}{\partial r} Y_i + \frac{\partial f_z}{\partial r} Y_z + \frac{\partial f_s}{\partial r} Y_s \end{array} \right.$$

$$\left\{ \begin{array}{l} \frac{\partial x}{\partial s} = \frac{\partial f_i}{\partial s} X_i + \frac{\partial f_z}{\partial s} X_z + \frac{\partial f_s}{\partial s} X_s \\ \frac{\partial y}{\partial s} = \frac{\partial f_i}{\partial s} Y_i + \frac{\partial f_z}{\partial s} Y_z + \frac{\partial f_s}{\partial s} Y_s \end{array} \right.$$

partiendo de las ecuaciones 2.2 y 2.3

$$\begin{bmatrix} \frac{\partial f_1}{\partial r} \\ \frac{\partial f_1}{\partial s} \end{bmatrix} = \begin{bmatrix} \frac{\partial x}{\partial r} & \frac{\partial y}{\partial r} \\ \frac{\partial x}{\partial s} & \frac{\partial y}{\partial s} \end{bmatrix} \begin{bmatrix} \frac{\partial f_1}{\partial x} \\ \frac{\partial f_1}{\partial y} \end{bmatrix}$$

de aquí tenemos que:

$$\begin{bmatrix} \frac{\partial x}{\partial r} & \frac{\partial y}{\partial r} \\ \frac{\partial x}{\partial s} & \frac{\partial y}{\partial s} \end{bmatrix}$$

la cual se conoce como matriz Jacobiana.

Sustituyendo valores en las derivadas:

$$\frac{\partial x}{\partial r} = X_1 - X_2 = X_{12}$$

$$\frac{\partial x}{\partial s} = X_2 - X_3 = X_{23}$$

$$\frac{\partial y}{\partial r} = Y_1 - Y_2 = Y_{12}$$

$$\frac{\partial y}{\partial s} = Y_2 - Y_3 = Y_{23}$$

$$\begin{bmatrix} \frac{\partial f_1}{\partial r} \\ \frac{\partial f_1}{\partial s} \end{bmatrix} = \begin{bmatrix} X_{12} & Y_{12} \\ X_{23} & Y_{23} \end{bmatrix} \begin{bmatrix} \frac{\partial f_1}{\partial x} \\ \frac{\partial f_1}{\partial y} \end{bmatrix}$$

$$\begin{bmatrix} x_{11} & y_{11} \\ x_{21} & y_{21} \end{bmatrix}$$

que es la matriz Jacobiana.

Para poder obtener $\frac{\partial f_i}{\partial x}, \frac{\partial f_i}{\partial y}$ calculamos la matriz inversa de la matriz Jacobiana:

$$\begin{bmatrix} \frac{\partial f_i}{\partial x} \\ \frac{\partial f_i}{\partial y} \end{bmatrix} = \frac{1}{|J|} \begin{bmatrix} y_{21} & -y_{11} \\ -x_{21} & x_{11} \end{bmatrix} \begin{bmatrix} \frac{\partial f_i}{\partial r} \\ \frac{\partial f_i}{\partial s} \end{bmatrix}$$

$$= \frac{1}{|J|} \begin{bmatrix} y_{21} & y_{11} \\ x_{21} & x_{11} \end{bmatrix} \begin{bmatrix} \frac{\partial f_i}{\partial r} \\ \frac{\partial f_i}{\partial s} \end{bmatrix}$$

$$\left\{ \begin{array}{l} \frac{\partial f_1}{\partial x} \\ \frac{\partial f_1}{\partial y} \end{array} \right\} = \frac{1}{|J|} \begin{bmatrix} Y_{22} & Y_{31} \\ X_{22} & X_{13} \end{bmatrix} \left\{ \begin{array}{l} \frac{\partial f_1}{\partial r} \\ \frac{\partial f_1}{\partial s} \end{array} \right\}$$

$$|J| = X_{22} Y_{23} - X_{23} Y_{12}$$

de donde

$$\frac{\partial f_1}{\partial x} = \frac{1}{|J|} \left(Y_{22} \frac{\partial f_1}{\partial r} + Y_{31} \frac{\partial f_1}{\partial s} \right)$$

$$\frac{\partial f_1}{\partial y} = \frac{1}{|J|} \left(X_{22} \frac{\partial f_1}{\partial r} + X_{13} \frac{\partial f_1}{\partial s} \right)$$

sustituyendo en la derivada de "f_j" queda :

$$\frac{\partial f_1}{\partial x} = \frac{1}{|J|} \left\{ \begin{array}{l} Y_{22} \\ Y_{31} \\ -Y_{23} - Y_{31} = Y_{12} \end{array} \right\}$$

$$\frac{\partial f_1}{\partial y} = \frac{1}{|J|} \left\{ \begin{array}{l} X_{22} \\ X_{13} \\ -X_{22} - X_{13} = Y_{12} \end{array} \right\}$$

sustituyendo en la integral

$$\int_{\Omega} \left[\frac{\partial f_i}{\partial x} - \frac{\partial f_j}{\partial x} + \frac{\partial f_i}{\partial y} - \frac{\partial f_j}{\partial y} \right] w \, d\Omega = 0$$

TENEMOS PARA CADA ELEMENTO,

$$\int_{\bullet} \left[\frac{1}{|J|} \begin{Bmatrix} Y_{22} \\ Y_{31} \\ Y_{12} \end{Bmatrix} - \frac{1}{|J|} \langle Y_{22}, Y_{31}, Y_{12} \rangle \right.$$

$$+ \frac{1}{|J|} \begin{Bmatrix} X_{22} \\ X_{12} \\ X_{31} \end{Bmatrix} \frac{1}{|J|} \langle X_{22}, X_{12}, X_{31} \rangle \left. w \, dA \bullet \right]$$

$$\int_{\bullet} \frac{1}{|J|^2} \left[\begin{Bmatrix} Y_{22} \\ Y_{31} \\ Y_{12} \end{Bmatrix} \langle Y_{22}, Y_{31}, Y_{12} \rangle + \begin{Bmatrix} X_{22} \\ X_{12} \\ X_{31} \end{Bmatrix} \langle X_{22}, X_{12}, X_{31} \rangle \right] w \, dA \bullet$$

$$\int_{\bullet} \frac{1}{|J|^2} \left[\begin{bmatrix} Y_{22}Y_{22} & Y_{22}Y_{31} & Y_{22}Y_{12} \\ Y_{31}Y_{22} & Y_{31}Y_{31} & Y_{31}Y_{12} \\ Y_{12}Y_{22} & Y_{12}Y_{31} & Y_{12}Y_{12} \end{bmatrix} + \begin{bmatrix} Y_{22}Y_{22} & Y_{22}Y_{31} & Y_{22}Y_{12} \\ Y_{31}Y_{22} & Y_{31}Y_{31} & Y_{31}Y_{12} \\ Y_{12}Y_{22} & Y_{12}Y_{31} & Y_{12}Y_{12} \end{bmatrix} \right] w \, dA \bullet$$

↓

K_x

↓

K_y

COMO EN ESTE CASO " |J| " Y LAS MATRICES SON CONSTANTES :

$$\frac{A_0}{|J|^2} \left([K_x] + [K_y] \right) \quad (2.4)$$

en general:

$$dA_0 = |J| dr ds$$

$$\int dA_0 = \int |J| dr ds$$

con $|J| = \text{constante}$

$$\int dA_0 = \frac{1}{2} |J|$$

por lo que la ecuación 2.4 queda:

$$\frac{1}{2|J|} \left([K_x] + [K_y] \right)$$

o también haciendo:

$$|J| = 2 A_0 \quad \text{quedan}$$

$$\frac{1}{4A_0} \left([K_x] + [K_y] \right)$$

esta última ecuación es usada en el modelo de computadora para su solución.

3.5 COMPROBACION DE RESULTADOS

Para poder comprobar si los resultados numéricos son correctos, se revisa que los valores obtenidos en el programa cumplan con las condiciones de frontera, para lo que se verificarán solo los puntos de la superficie libre del flujo usando la ecuación de la energía específica, encontrando que no existe carga de presión en la superficie, es decir que "P/r" es igual a "0" (ver Fig. 2.5).

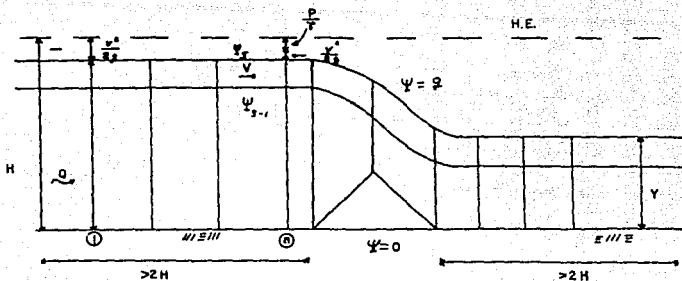


FIGURA 2.5

En donde se observa que en la superficie libre, el valor de la función corriente " $w = q$ ", siendo " q " el gasto unitario.

En la figura 2.5, "H" es la carga total de energía en el punto inicial, lugar en el que se conoce la altura del tirante, por consiguiente se puede conocer cuál es la carga de velocidad.

Tomando la ecuación de Bernoulli entre dos puntos del flujo y despreciando pérdidas por fricción, obtendremos:

$$\frac{P_i}{\gamma} + Z_i + \frac{V_i^2}{2g} = \frac{P_n}{\gamma} + Z_n + \frac{V_n^2}{2g} = H \quad (2.5)$$

Considerando que la plantilla del canal coincide con el eje horizontal del sistema coordenado, de la ecuación 2.5 se puede sustituir el valor de "Z" por el del tirante, quedando como:

$$H = y + \frac{V^2}{2g} + \frac{P}{\gamma} \quad (2.6)$$

Ahora bien, si se considera la condición de presión en la superficie libre tenemos que " $P/\gamma = 0$ ", por lo que

$$H = y + \frac{V^2}{2g} \quad (2.7)$$

Considerando la condición de presión en la superficie libre del agua y pasando el valor de "H" del lado derecho:

$$0 = y + \frac{V^2}{2g} - H \quad (2.8)$$

por lo que para poder saber si el resultado del valor obtenido numéricamente para "y" es el correcto tendremos que evaluar la siguiente ecuación:

$$\frac{P}{\gamma} - H - y - \frac{V^2}{2g} \quad (2.9)$$

La que debe ser igual a cero cuando el tirante "y" es el correcto.

Para lograr que se cumpla lo anterior se debe revisar primeramente el valor de la velocidad, debido a que se trata de un canal rectangular se tiene que:

$$V = \frac{q}{y} \quad (2.10)$$

sustituyendo la ecuación 2.10 en la ecuación 2.9.

$$\frac{P}{y} = H - y - \frac{q^2}{2g y^2} \quad (2.11)$$

La ecuación debe cumplir con:

$$\frac{P}{y} = 0$$

tomando la derivada parcial en la ecuación 2.11 con respecto a "y" e igualando a cero:

$$\frac{1}{y} - \frac{\partial P}{\partial y} = 0 \quad (2.12)$$

Derivando parcialmente el lado derecho de la ecuación 2.11 con respecto a "y" e igualando con la ecuación 2.12 se tiene:

$$\frac{1}{y} - \frac{\partial P}{\partial y} = \frac{\partial H}{\partial y} - \frac{\partial y}{\partial y} - \frac{\partial}{\partial y} \left[\frac{q^2}{2g y^2} \right] \quad (2.13)$$

debido a que "H" es constante

$$\frac{1}{y} - \frac{\partial P}{\partial y} = 0 - 1 - \frac{\partial}{\partial y} \left[\frac{q^2}{2g y^2} \right] \quad (2.14)$$

despejando el valor de la derivada parcial de la presión en la superficie con respecto a "y":

$$\frac{\partial P}{\partial y} = - \frac{r q^2}{\rho y^3} - r \quad (2.15)$$

cuando el valor de "y" es el correcto, la ecuación 2.15 resultará igual a cero, pero en caso de que no lo sea dará un valor diferente de cero. Para poder saber cual sería el factor de corrección del valor de "y" se usa la ecuación 2.15, sustituyendo la derivada parcial " ∂ " por su diferencial " Δ " y despejando el valor de Δy .

$$\Delta y = \frac{\Delta P}{\gamma} - \frac{q^2}{\rho y^3} = 1 \quad (2.16)$$

Cuando el valor de la ecuación 2.11 no es igual a cero o no cumple con la tolerancia de error elegida, la ecuación 2.16 determina el factor de corrección que debe aplicarse en los valores de "y". Se corrijen los valores iniciales del tirante con los que se alimentó el modelo y se resuelve ahora con los nuevos valores. Tomando los resultados obtenidos con las correcciones se revisa que la ecuación 2.9 cumpla siendo igual a "0", si esto no se da, nuevamente se calculará la corrección con la ecuación 2.16 repitiendo esto hasta cumplir con la tolerancia de error elegida.

C A P I T U L O III

MODELO COMPUTACIONAL

3.1 FUNCIONAMIENTO

El modelo de computadora que a continuación se presenta, se elaboró en lenguaje Pascal y se basa en el modelo desarrollado por Alcaraz (1988). Su estructura está formada por procedimientos o subrutinas, integrados de la siguiente forma:

Primero se identifican las variables generales que intervendrán en el modelo, colocándolas en la sección llamada "VAR" al principio del programa, estas variables intervendrán en todo el desarrollo.

Después de tener todas las variables generales identificadas, al iniciar un procedimiento se identifican las llamadas variables locales, que sólo intervendrán en el procedimiento que aparezcan en la sección "VAR". Los nombres de las variables principales y su significado se pueden ver en el apéndice.

Dentro del programa se cuenta con un procedimiento o subrutina generadora de redes, lo que facilita la entrada de datos al programa, esto se logra mediante la creación de elementos rectangulares que reciben el nombre de elementos maestros, puede

haber este tipo de elementos en la dirección "X" y en la dirección "Y", la ventaja de usar los elementos maestros es que sólo se le proporcionan datos de 8 nodos por cada elemento maestro, a partir de los cuales se generará la red, considerando para esto el número de divisiones tanto en la dirección "X", como en la dirección "Y" deseadas, se puede tener un número variable de divisiones en la dirección "X", pero las divisiones "Y" deben ser constantes, Alcaraz (1988).

El modelo está compuesto por los siguientes procedimientos:

Procedimiento "PRESENTA" : En el que se elabora la presentación del modelo.

Procedimiento "PREG-DATOS" : Durante su desarrollo se definen los diferentes parámetros con los que el modelo empieza a funcionar.

Procedimiento "INFGEN" : Aquí se nos muestran los datos con los cuales se alimentó el modelo, en el procedimiento "PREG-DATOS".

Procedimiento "MALLA" : Aquí se toman los datos del procedimiento "PREG-DATOS", para generar la malla mediante interpolación cuadrática (usando polinomios de segundo grado), para la formación de la malla se consideran las divisiones deseadas por elemento maestro, esto se hace en ambas direcciones. Una vez creada la malla, se inicia la generación de las

coordenadas locales de los nodos de cada elemento, (se usarán elementos triangulares) una vez obtenidas, se procederá a mapear dichas coordenadas locales a coordenadas globales, para esto se usa la función llamada "SHAPE", que trabaja con interpolación cuadrática. Cuando ya se tienen las coordenadas globales de los nodos se realiza el suavizamiento de la red, se entiende por suavizamiento a la graduación en el cambio de un elemento maestro a otro, dependiendo del número de divisiones deseado en cada elemento maestro. Una vez suavizada la malla se realiza la definición de nodos por elemento.

Procedimiento "BNDRY" : Es aquí cuando se consideran las condiciones de frontera, en este caso todos los nodos que se encuentran en el fondo del canal al igual que los nodos que se encuentren en la superficie del obstáculo, tienen como valor de la función de corriente "0". también se les asigna valor a los nodos que estén en la superficie libre del agua y éste es igual al gasto unitario, estos valores son asignados por las condiciones físicas según Aitchison (1980) y O'Carroll (1984).

Procedimiento "ELEM2D" : En el se genera la matriz local, para lo cual se obtiene el área de cada elemento, se les asigna un numero a cada nodo, empleando las funciones "MAX1" y "MIN". Las cuales nos dan el valor máximo y mínimo de los tres nodos que forman al elemento, a su vez se obtienen también los valores de las matrices de rigideces de cada elemento y los vectores de términos independientes para cada elemento.

Procedimiento "ASEMBL": Funciona realizando primeramente la localización de la diagonal en el vector skyline, para lo cual se hace uso en el desarrollo de la función "NIMAX". Posteriormente se realiza la inicialización de los vectores que contienen la matriz, para que con esto podamos realizar el ensamblaje de la matriz global a partir de las matrices locales, apoyándose en la función "MAX", para este procedimiento usamos lo obtenido en el procedimiento "ELEM2D".

Procedimiento "ACTCOL": Realiza el método de solución de todo el sistema de ecuaciones contenidas en el procedimiento "ASEMBL", Zienkiewies (1977).

Procedimiento "REV-PRES": Revisa los resultados obtenidos, esto con ayuda de la función "MAXDP" que nos da como resultado el valor de error máximo en valor absoluto que se encuentra durante la revisión, si el valor del resultado obtenido no es el correcto, se obtiene un factor de corrección que se aplicará a los valores obtenidos con los que se iniciará nuevamente todo el desarrollo.

Procedimiento "RESUL": recibe los resultados obtenidos en cada iteración mostrándolos y preguntando si se quiere que se impriman en la pantalla o en la impresora, una vez elegida la opción se muestran los resultados según la opción.

El programa "PRINCIPAL" da el orden adecuado para el funcionamiento correcto del programa, además de darnos los resultados correctos.

3.2 LISTADO

A continuación se presenta el listado del programa con el que se realizó la modelación computacional.


```

*****  

WRITE(''); ELARRO: LEONARDO SALGADO FELIPE ALFONSO  

GOTO(16,12);  

WRITE(''); DIRECTOR: M.C. ALBERTO ALCARAZ PAZ  

GOTO(16,10);  

WRITE(''); oprime cualquier tecla para continuar.....';'  

REPEAT  

UNTIL READKEY='';  

CURSOR;

```

END;

```

INICIA PROCEDIMIENTO PARA DEFINIR LOS  

DIFERENTES PARAMETROS USADOS EN EL  

PROCEDIMIENTO MALLA.

```

PROCEDURE PREP_DATOS;

BEGIN

CURSOR;

```

GOTO(16,11);
WRITE('USA NUMERO IMPARES DE DIVISIONES EN EL SENTIDO DEL EJE ');'  

GOTO(16,21);
WRITE('LOS DATOS DEBEN DE SER EN "METROS" Y "SEGUNDOS"';'  

GOTO(16,21);
WRITE('NUMERO MAXIMO DE ELEMENTOS EN LA DIRECCION X = ');'  

READ(NMAXX);
GOTO(16,31);
WRITE('NUMERO MAXIMO DE ELEMENTOS EN LA DIRECCION Y = ');'  

READ(NMAXY);
GOTO(16,31);
WRITE('TIRANTE INICIAL AGUAS ARRIBA = ');'  

READ(TIRADA);
GOTO(16,101);
WRITE('TIRANTE INICIAL AGUAS ABAJO = ');'  

READ(TIRABAL);
GOTO(16,121);
WRITE('NUMERO DE ITERACIONES = ');'  

READ(ITERA);
GOTO(16,141);
WRITE('NUMERO DE VECES QUE DESEAS SUAVIZAR LA RED = ');'  

READ(SMOOTH);
GOTO(16,261);
WRITE('TOLERANCIA = ');'  

READ(TOL);
GOTO(16,181);
WRITE('GASTO UTILIZADO = ');'  

READ(GUST);
GOTO(16,221);
WRITE('ANCHO DEL CANAL = ');'  

READ(ANCH);
GOTO(16,221);
WRITE('PENDIENTE = ');'  

READ(PEND);
WRITE('LONGITUD = ');'  

READ(LONG);
WRITE('PASOINNAST');
WRITE(#$);

```

FIN '#\$ EN NAST;

```

      BEGIN
        FOR J=1 TO NOMBRE DO
          BEGIN
            WRITE('I',J,',',',',J,'J = ');
            READ(V1,J,J);
            WRITE('V',J,',',',',J,'J = ');
            READ(V2,J,J);
            READ(VP1,J,J);
            YC(J,J)=VP1(J,J)+50*(LCNG-(I,J));
          END;
          WRITE('MC',J,',',J,'J = ');
          READ(MC,J,J);
          WRITE('VC',J,',',J,'J = ');
          READ(VC,J,J);
        END;
      END;
    END;

    /*-----*/
    /* INICIA PROCEDIMIENTO PARA LA IMPRESION */
    /* DE LA INFORMACION GENERAL DE LOS ELEMENTOS */
    /*-----*/

  PROCEDURE IMPRESA;
    /*-----*/
    /*-----*/
    BEGIN
      CLFSCR;
      REPEAT
        WRITE(14,'IMPRESION DE DATOS EN PANTALLA [2] O IMPRESORA [1] ? ');
        READ(IPD);
      UNTIL (IPD = 1) OR (IPD = 2);
      IF IPD = 1 THEN
        BEGIN
          WRITE(14,'COMPRUEBE QUE LA IMPRESORA ESTE PREPARADA ');
          WRITE(14,'-----');
          WRITE(14,'-----');
          REPEAT
            UNTIL READKEY('');
            ASSEM(DATOS,'DT');
            RESET(DATOS);
            SOTO(14,4);
            WRITE(LST,'*****');
            SOTO(14,5);
            WRITE(LNLST,'*****');
            WRITE(LNLST,'*****');
            SOTO(14,6);
            WRITE(LNLST,'*****');
            SOTO(14,7);
            WRITE(LNLST,'*****');
            SOTO(14,8);
            WRITE(LNLST,'*****');
            SOTO(14,9);
            WRITE(LNLST,'*****');
            SOTO(14,10);
            DATOS EN * METROS Y SEGUNDOS ";
            J=1;
          FOR I=1 TO NOMBRE DO
            BEGIN
              SOTO(14,11);
              WRITE(LNLST,'*****');
              SOTO(14,12);
            END;
        END;
      END;
    END;
  
```


Digitized by srujanika@gmail.com

VAR 51, 52, 53, 54, 55, 56, 57, 58; **REAL**

```

DEFIN
    #INCLUDE "EMFILE.FNCN.DBF";
```

```

WRITELN('VALOR DE X = ',X);
WRITELN('VALOR DE Y = ',Y);
WRITELN('VALOR DE Z = ',Z);
WRITELN('VALOR DE L = ',L);
WRITELN('VALOR DE M = ',M);
FOR I:=1 TO 8 DO
  BEGIN
    WRITELN('VALOR DE Z',I,' = ',Z,I);
  END;
END;

```

```

        WRITELN('VALOR DE S1 = ',S1);
        WRITELN('VALOR DE S2 = ',S2);
        WRITELN('VALOR DE S3 = ',S3);
        WRITELN('VALOR DE S4 = ',S4);
        WRITELN('VALOR DE S5 = ',S5);
        WRITELN('VALOR DE S6 = ',S6);
        WRITELN('VALOR DE S7 = ',S7);
        WRITELN('VALOR DE S8 = ',S8);
        WRITELN('S1+S2+S3+S4+S5+S6+S7+S8= ',S1+S2+S3+S4+S5+S7+S8);
        SWAP:=S1+S2+S3+S4+S7+S8;
    END;

```

```

C     INICIA PROCESAMIENTO PARA LA GENERACION
C     DE LA MALLA

```

PROCEDURE MALLA;

```

VAR
    I1,I2,I3,I4,I5,K1,K2,K3,K4,K5,K6,NODE: INTEGER;
    X1,Y1,X2,Y2,X3,Y3,X4,Y4,X5,Y5,X6,Y6: REAL;
BEGIN
    {INICIA EL PROCESAMIENTO MALLA};
    X1:=X;
    Y1:=Y;
    X2:=X+M;
    Y2:=Y;
    NODE:=Nodos+1;
    Nodos:=Nodos+1;
    I1:=1;
    REPEAT
        X3:=X1+(M/2);
        Y3:=Y1+(M/2);
        UNTIL I1>=M;
        FOR I1:=1 TO M-1 DO
            BEGIN
                X4:=X3+(M/2);
                Y4:=Y3+(M/2);
                X5:=X4+(M/2);
                Y5:=Y4+(M/2);
                X6:=X5+(M/2);
                Y6:=Y5+(M/2);
                FOR I2:=1 TO M-1 DO
                    BEGIN
                        NELM:=NELM+1;
                        X1:=X6;
                        Y1:=Y6;
                        NODE:=Nodos+1;
                        Nodos:=Nodos+1;
                        WRITELN('Nodo = ',NODE);
                        WRITELN('X = ',X1);
                        WRITELN('Y = ',Y1);
                        WRITELN('No. de nodos = ',NODE);
                        NELM:=NELM+1;
                        X1:=X1+(M/2);
                        Y1:=Y1+(M/2);
                    END;
                END;
            END;
    END;

```

```

C     INICIA LA GENERACION DE COORDENADAS LOCALES

```

```

WRITELN('INICIA GENERACION DE COORDENADAS LOCALES');
K1=0;
I:=1;
REPEAT
  J1:=2*(N1C1)-1;
  IF I=1 THEN
    K3:=1
  ELSE
    K3:=2;
  U1:=1;
  FOR I1:=C2 TO N1C1 DO
    BEGIN
      FOR Z:=1 TO N1A1 DO
        BEGIN
          D1:=2*(N1Z1)-1;
          IF Z=1 THEN
            K2:=1
          ELSE
            K2:=2;
          UV:=1;
          FOR Y1:=C2 TO N1Z1 DO
            BEGIN
              K1:=K1+1;
              COORL(K1,1):=U1*D1*(X1-1);
              COORL(K1,2):=UV*D1*(Y1-1);
            END;
          END;
        END;
      I:=I+N1A1;
      WRITELN(K1);
    END;
  END;
  K1:=0;
  S1:=0;
  I:=1;
  REPEAT
    K1:=I+1;
    IF I=1 THEN
      K3:=1
    ELSE
      K3:=2;
    FOR I1:=C2 TO N1C1 DO
      BEGIN
        FOR Z:=1 TO N1A1 DO
          BEGIN
            FOR J:=1 TO N1A1 DO
              BEGIN
                L1:=K1;
                IF J=1 THEN
                  K1:=1
                ELSE
                  K1:=2;
                FOR Y1:=C2 TO N1Z1 DO
                  BEGIN
                    K1:=K1+1;
                    SHAPECOORL(L1,1,COORL(K1,1));
                    SHAPECOORL(L1,2,COORL(K1,2));
                    SHAPECOORL(L1,3,COORL(K1,3));
                    SHAPECOORL(L1,4,COORL(K1,4));
                  END;
                END;
              END;
            I:=I+N1A1;
            WRITELN(K1);
          END;
        END;
      END;
    K1:=0;
    S1:=0;
    I:=1;
  REPEAT;
END;

```

```

        WRITEFLN('COORDI',X,',',II+1,',COORDIX,II,',',COORDI',X,',23+',C
COORDI,X);;

        END;
        II:=II+1;
        REPEAT
        UNTIL II = NMV;;
        END;

        { INICIA EL ENVÍO ALIMENTACIÓN DE LA RED }

        {-----}
        {-----}
        {-----}

        WRITEFLN('VA,I,EPA124 SMOOTH ','');
        IF CONTROL THEN
        FOR L1=1 TO PESTO DO
        BEGIN
            K1:=NMV-2;
            K2:=NMV-1;
            K3:=NMV-1;
            FOR I:=1 TO K1 DO
            BEGIN
                K1:=K1+2;
                FOR J:=1 TO K2 DO
                BEGIN
                    K1:=K1+2;
                    SCOPING..1,1+(COORDI-1,1)-(COORDIX-1,1)-(COORDI-NMV,1)+(COORDIX-NMV,1)
                    COORDIX,2,1+(COORDI-1,2)-(COORDIX-1,2)-(COORDI-NMV,2)+(COORDIX-NMV,2)
                END;
            END;
        END;
        END;
        END;

        { DEFINICIÓN DE NODOS POR ELEMENTO }

        {-----}
        {-----}
        {-----}

        WRITEFLN(' SE DEFINEN LOS NODOS POR ELEMENTO ''');
        I:=1;
        REPEAT
        ELEMENT,1,1+0;
        ELEMENT,1,1+0;
        ELEMENT,1,1+0;
        ELEMENT,1,1+0;
        I:=I+1;
        UNTIL ELEMENT;
        K1:=1;
        K2:=1;
        I:=1;
        REPEAT
        ELEMENT,1,1+0;
        ELEMENT,1,1+0;
        ELEMENT,1,1+0;
        ELEMENT,1,1+0;
        I:=I+1;
        UNTIL ELEMENT;

```

```

ELEMENT(1+1,1)=K5(MNT+1);
ELEMENT(1,2)=K5(1);
ELEMENT(1,2)=K5(MNT);
WRITELN('ELEMENT(1,1), ', ELEMENT(1,2), ', ', ELEMENT(1,3));
K5:=K5+MNT;
IF (K5 MOD MNT)=0 THEN
  BEGIN
    K5:=K5+1;
    K5:=K5+1;
    MNT:=MNT+1;
  END;
  I:=I+2;
UNTIL (I>E);
END;

```

PROCEDIMIENTO PARA LAS CONDICIONES DE

FRONTERA

PROCEDURE BNDRY;

```

VAR
  TAB: ARRAY [1..1000] OF REAL;
  VAL1: ABS;
  VAL2: REAL;
  MAX, COUNT: INTEGER;

```

```

BEGIN
  WRITELN(' SE ASIGNAN LAS CONDICIONES DE FRONTERA ');
  VAL1:=0.0;
  COUNT:=1;
  REPEAT

```

```

    VAL2:=VAL1+0.1;
    I:=1;
    REPEAT

```

```

      VAL2[I]:=VAL1;
      I:=I+1;
    UNTIL (I>NODE);
    I:=1;
    REPEAT

```

```

      VAL2[I]:=3D/ANCHO;
      I:=I+1;
    UNTIL (I>NODE);
    K1:=NODE-MNT+1;
    COUNT:=1;
    I:=1;
    REPEAT

```

```

      BDY(KONT):=1;
      B13:=VAL1*10000000;
      KONT:=KONT+1;
      I:=I+MNT;
    UNTIL (I>NODE);
    COUNT:=0;
    I:=1;
    REPEAT

```

```

      KK1:=KK1+1;
      BDY(KONT):=1;
      B13:=VAL1*10000000;
      COUNT:=COUNT+1;
      I:=I+MNT;
    UNTIL (I>NODE);
  END;

```

```

        KONT:=CONT-1;
        FOR I:=1 TO KONT DO
        BEGIN
          L1:=J01AS1BDY[I];
          AIL1:=46L1*1000000;
        END;
        BSYPT:=BNK12;
      END;

      (
      (
      (
      FUNCTION NIMAX1(IVEC1; IVEC2; NPTS:INTEGER): INTEGER;
      VAR
        I: INTEGER;
        NMAXTEMP: INTEGER;
      BEGIN
        WRITELN(' USANDO NIMAX1 ');
        NMAXTEMP:=IVEC1[1];
        FOR I:=2 TO NPTS DO
        BEGIN
          N1:=NMAXTEMP-IVEC1[I];
          IF N1 < 0 THEN
            NMAXTEMP:=IVEC1[I];
        END;
        NMAXTEMP:=NMAXTEMP;
        WRITELN(' TERMINO NIMAX1 ');
      END;

      (
      (
      FUNCTION NIMAX2(IVEC1; IVEC2; NPTS:INTEGER): INTEGER;
      VAR
        I: INTEGER;
        N0IF1,NMAXTEMP: INTEGER;
      BEGIN
        WRITELN(' USANDO NIMAX2 ');
        NMAXTEMP:=IVEC1[1];
        FOR I:=2 TO NPTS DO
        BEGIN
          N1:=NMAXTEMP-IVEC1[I];
          IF N1 < 0 THEN
            NMAXTEMP:=IVEC1[I];
        END;
        NMAXTEMP:=NMAXTEMP;
        WRITELN(' TERMINO NIMAX2 ');
      END;

```

```

FUNCTION MAX
FUNCTION MIN
FUNCTION MAX(A,B,C: INTEGER): INTEGER;
VAR
  I: INTEGER;
BEGIN
  WRITELN(' USANDO MAX ');
  I:=A;
  IF I < B THEN I:=B;
  MAX:=I;
  WRITELN(' TERMINO MAX ');
END;

FUNCTION MAX(A,B,C: REAL): REAL;
VAR
  I: REAL;
BEGIN
  WRITELN(' USANDO MAX ');
  I:=A;
  IF I < B THEN I:=B;
  IF I < C THEN I:=C;
  MAX:=I;
  WRITELN(' TERMINO MAX ');
END;

FUNCTION MIN(A,B,C: REAL): REAL;
VAR
  I: REAL;
BEGIN
  WRITELN(' USANDO MIN ');
  I:=A;
  IF I > B THEN I:=B;
  IF I > C THEN I:=C;
  MIN:=I;
  WRITELN(' TERMINO MIN ');
END;

```

PROCEDIMIENTO PARA GENERAR LA MATRIZ LOCAL

PROCEDURE ELEMENT

178

三

ENTRENAZ EXPRESA EL PROCEDIMIENTO ELEMENTO 11;
ENTRENAZ VA A EFECTUAR LA SEPARACION DE LA MATRIZ LOCAL.

缺

```
FUNCTION DOT(E,F1,A,B; N,XXX,XKL1: INTEGER); REAL;
```

```
VAR  
    I: INTEGER;  
    DOTTEMP: REAL;
```

```
BEGIN  
    Writeln(' USANDO DOT ');
```

```
    DOTTEMP:=0.0;  
    I:=1;  
    REPEAT  
        DOTTEMP:=DOTTEMP+(E*(XXX*I)*F(XKL1));  
        XXX:=XXX+1;  
        XKL1:=XKL1+1;  
        I:=I+1;  
    UNTIL I > N;  
    DOT:=DOTTEMP;
```

```
END;
```

```
FUNCTION DOT1(E: A; F: B; N,JRL,SL1: INTEGER); REAL;
```

```
VAR  
    I: INTEGER;  
    DOTTEMP1: REAL;
```

```
BEGIN  
    Writeln(' USANDO DOT1 ');
```

```
    DOTTEMP1:=0.0;  
    I:=1;  
    REPEAT  
        DOTTEMP1:=DOTTEMP1+(E*(F1*I)*F(SL1));  
        JRL:=JRL+1;  
        SL1:=SL1+1;  
        I:=I+1;  
    UNTIL I > N;  
    DOT:=DOTTEMP1;
```

```
END;
```

```
FUNCTION VNS(A,B: INTEGER); INTEGER;
```

```
FUNCTION VNS1(A,B: INTEGER); INTEGER;
```

```
VAR  
    A1: INTEGER;
```



```

BEGIN
  IR:=JR+1;
  IE:=JC-1;
  KI:=JC;
  FOR I:=IR TO IE DO
    BEGIN
      KK:=K+1;
      ID:=DIVIDE(KK);
      IF A(ID) < 0 THEN
        BEGIN
          Di:=A(I);
          A(I):=A(I)/A(1);
          A(JD):=A(JD)-Di*A(I);
          WRITELN('AC',I,'= ',A(JD));
        END;
    END;
  END;
  WRITELN(' ');
  WRITELN('REDUCE EL LADO DERECHO DE LA ECUACION');
  WRITELN(' ');
  IF BACK THEN
    BEGIN
      B(CJ):=B(CJ)-B(D1)(A,B,JH-1,IR+1,IS-1);
      WRITELN('BT',CJ,'= ',B(CJ));
    END;
  JR:=JC;
END;
IF JC-C > 0 THEN
  BEGIN
    IF A[C] < 0 THEN
      BEGIN
        IR:=JC+1;
        IE:=JC-1;
        KI:=JC;
        FOR I:=IR TO IE DO
          BEGIN
            KK:=K+1;
            ID:=DIVIDE(KK);
            IF A(ID) < 0 THEN
              BEGIN
                Di:=A(I);
                A(I):=A(I)/A(ID);
                A(KD):=A(KD)-Di*A(I);
                WRITELN('AC',I,'= ',A(KD));
              END;
          END;
        END;
      WRITELN(' ');
      WRITELN('REDUCE EL LADO DERECHO DE LA ECUACION');
      WRITELN(' ');
      IF BACK THEN
        BEGIN
          B(CJ):=B(CJ)-B(D1)(A,B,JH-1,IR+1,IS-1);
          WRITELN('BT',CJ,'= ',B(CJ));
        END;
      JC:=JC+1;
    END;
    IF JC-C = 0 THEN
      BEGIN
        WRITELN(' ');
        WRITELN('FIN');
        WRITELN(' ');
      END;
  END;
END;

```

```

DIVIDIR ENTRE PIVOTES DIAGONALES
FOR i=1 TO MODE DO
  BEGIN
    ID:=JDIAG(i);
    IF A(ID) < 0 THEN
      BEGIN
        B(i):=B(i)/A(ID);
        WRITELN('B(',i,')= ',B(i));
      END;
  END;
SUSTITUCION HACIA ATRAS
WRITELN('SUSTITUCION HACIA ATRAS');
I:=0;
I:=MODE;
ZI:=#0146133;
REPEAT:
  I:=I+1;
  ZI:=ZI+A(I);
  TD:=ZI-ZI;
  IF IZ = 0 THEN
    BEGIN
      IF ZI > 1 THEN
        BEGIN
          ZI:=ZI-ZD-ZK;
          KI:=I-ZI;
          FOR I=I+1 TO J DO
            BEGIN
              KK:=I+1;
              B(KK):=B(KK)-TD*KI;
              WRITELN('B(',I,',')= ',B(I));
            END;
        END;
      ZD:=KI;
    END
  ELSE
    EXIT;
  UNTIL (IZ < 0) OR (IZ = 0);
END;

REVISAR LOS ERRORES CON RESPECTO A LA TOLERANCIA

```

FUNCTION MAIORP(D11,D12,D21,D22);

VAR
 D11,D12,D21,D22:REAL;

BEGIN
 WRITELN('USANDO MAIORP');
 MAIORP:=D11*D22-D12*D21;

```

FOR I:=2 TO MMAS-1 DO
BEGIN
  IF I < ABS(OP1[D2][I][1]) THEN I:=ABS(OP1[D2][I][1]);
  IF I < ABS(OP1[D2][I][MMY]) THEN I:=ABS(OP1[D2][I][MMY]);
END;
IF I < ABS(OP1[D2][I][MMAS]) THEN I:=ABS(OP1[D2][I][MMAS]);
MAYP:=I;
WRITELN('  OPERA CALCULTE TECLA PARA CONTINUAR.....');
REPEAT
UNTIL READY='Y';

```

END;

```

(
(
(
PROCEDIMIENTO PARA REVISAR LOS VALORES OBTENIDOS
(
(

```

PROCEDURE REV_PRES;

VAR

```

  SV3,SV5,SV2,SV1,V,T: ARRAY [1..1000] OF REAL;
  D27,M27,M263,B2,B1: B2D1;
  B1: ARRAY [1..1000] OF INTEGER;
  V2,V3,ALF4,S111,S11,OU,H,D1: REAL;
  T17,J1,N24,M2017,M2013,NC0P7: INTEGER;

```

BEGIN

```

  WRITELN('  SON REVISADOS LOS VALORES OBTENIDOS ');
  OU:=0;ALF4:=0;
  M1:=COORD[MMY,23]+((OU/COORD[MMY,23]-COORD[1,23])/((OU/COORD[MMY,23]-COORD[1,23]))/126));
  WRITELN(' 4 = ',R);

```

J:=0;

D111:=M1[1];

REPEAT

J:=J+1;

REPEAT

IF J=1 THEN

BEGIN

IF (M1[1] MOD 2) > 0 THEN

BEGIN

V3:=M1[1]/2;

END

ELSE

BEGIN

V3:=((M1[1]-1)/2)+1;

END;

END

ELSE

BEGIN

D13:=D111-(M1[2]-1);

IF (M1[2] MOD 2) > 0 THEN

BEGIN

V3:=((M1[2]/2)-D13)+1;

END

ELSE

BEGIN

V3:=((M1[2]-1)/2)+D13+1;

END;

END;

END;

J:=J+1;

SEARCHED INDEXED

100

```

      WRITELN('IMPRESCA EN PANTALLA [1] O IMPRESORA [2] ? ');
      READ(IP);
      IF IP = 1 THEN
        BEGIN
          WRITELN('COMPRUEBE QUE LA IMPRESORA ESTE PREPARADA');
          WRITELN('    OPRIMA CUALQUIER TECLA PARA CONTINUAR.....');
          REPEAT
            UNTIL PEAKKEY();
          ASSIGN(IPRESORA,'APT1');
          RESET(IPRESORA);
          REPEAT
            WRITELN(LST,'ITERACION = ',ITER);
            WRITELN(LST,'VALOR ABSOLUTO MAXIMO DEL ERROR = ',MAIORPI1:2:5);
            FOR I:=1 TO MODE DO
              BEGIN
                WRITELN(LST,'COORDI,1;1:2;3, ','/COORDI,1;2;2;3, ','/ ',' PSI= ',B(I):2:3);
              END;
            WRITELN('    OPRIMA CUALQUIER TECLA PARA CONTINUAR.....');
            REPEAT
            UNTIL READEY();
        END;
      IF IP = 2 THEN
        BEGIN
          ASIGNCR1(RESULTADO);
          REWRITE(RESULTADO);
          WRITELN('ITERACION = ',ITER);
          WRITELN('VALOR ABSOLUTO MAXIMO DEL ERROR = ',MAIORPI1:2:5);
          FOR I:=1 TO MODE DO
            BEGIN
              WRITELN(RESULTADO,'COORDI,1;1:2;3, ','/COORDI,1;2;2;3, ','/ ',' PSI= ',B(I):2:3);
              WRITELN('    OPRIMA CUALQUIER TECLA PARA CONTINUAR.....');
            REPEAT
            UNTIL READEY();
        END;
        CLOSE(RESULTADO);
      END;
      IF IP <> 1 OR 2 THEN EXIT;
    END;

```

PACCIURE ASSEMBLAGE

```

VAR
    F12: ARRAY [1..1000] OF REAL;
    VAL23: 48;
    VAL11: REAL;
    AX,X,DNT: INTEGER;
    H01F1: INREC;
    H01F1: INREC;
    M12,VAL12,VAL13,VAL14,VAL15,VAL16,VAL17,VAL18,VAL19,VAL20: REAL;
    CONV12: ARRAY [1..1000] OF INTEGER;
    R1,DNT1: REAL[1..1000];
    DNT1: INTEGER;

```



```

BEGIN
    CLRSCR;
    PRESENTA;
    REPEAT
        CLRSCR;
        SWAP=TRUE;
        AFACK=TRUE;
        VFE=1;
        PRES_DATOS;
        TESITAS;

```

```

        REPEAT
          ITER1:=ITER1+1;
          MALLA;
          WRTTELIN(' ');
          WRTTELIN('REALIZANDO CALCULOS');
          WRTTELIN(' ');
          RSEN1;
          ACTC1;
          REV PRES;
          RESUL;
        UNTIL ('ITER1 > ITER1' OR 'TOL > MAXP1');
        WRTTELIN('  ORINE CALCDUT TECLA PARA CONTINUAR.....');
        REPEAT
          UNTIL READKEY();
          WRTTELIN('REALIZAS OTRA CORRIDA (SI TECLAS 213 / NO TECLAS CUALQUIER NÚMERO) ');
          READ(S1);
        UNTIL S1 <> 213;
      END.

```

G A P I T U L O I V

RESULTADOS NUMERICOS.

4.1 INTERPRETACION

En este capítulo se presentan primeramente las tablas 4.1 a 4.3 con los datos usados en los análisis realizados con el modelo de computadora. en dichas tablas se tiene lo siguiente:

- Tipo de régimen aguas arriba del escalón
- Tipo de régimen aguas abajo del escalón
- Tirante aguas arriba del escalón
- Tirante aguas abajo del escalón
- Gasto utilizado
- Número de elementos maestros en dirección "Y"
- Número de elementos maestros en dirección "X"
- Pendiente de la plantilla del canal
- Coordenadas de 8 nodos por elemento maestro, considerando primero en dirección "X", despues en dirección "Y"

Posteriormente se observan las tablas 4.4 a 4.6 en ellas aparece primero una tabla resumen de la información más importante proporcionada al modelo. dentro de esta información se tienen algunos datos que no aparecen en las tablas 4.1 a 4.3. debido a que estos se pueden variar para la realización de diferentes

pruebas, por ejemplo se pueden tener diferente número de divisiones en la dirección "X" por elemento maestro; las divisiones en la dirección "Y" deben ser las mismas en todos los elementos maestros para que exista una continuidad, también se puede variar el número de veces que se quiera suavizar la red. Otro de los datos susceptible a cambios es el de la tolerancia de error máximo que se desea obtener con el modelo. Despues de la tabla resumen se muestra un listado de los resultados obtenidos numéricamente, por cuestiones de espacio sólo se presenta la última iteración, que cumple con la tolerancia de error elegida, en este listado se puede distinguir una columna compuesta por coordenadas de los nodos resueltos, en la columna siguiente se muestra el valor obtenido de " ψ " en cada nodo resuelto. Posteriormente aparecen los resultados obtenidos en forma gráfica pudiéndose observar el comportamiento de las líneas de corriente en el canal antes, sobre y después del obstáculo (ver gráficas 4.1 a 4.3) tomando como base estas gráficas se puede realizar una mejor comparación con los resultados teóricos y experimentales. (ver graficas 4.4 a 4.6 con los resultados teoricos). Finalmente aparecen las tablas 4.7 a 4.9 en las que se observan los datos iniciales del análisis numérico contra los resultados finales. La escala vertical de la gráfica esta ampliada en el caso del flujo subcrítico-subcrítico un 3.703.7%, en el caso del flujo subcrítico-supercrítico un 1.666.7%, en el caso del flujo supercrítico-supercrítico un 2.525.3% en comparación a la escala horizontal, para poder apreciar los resultados, en lo que respecta a la escala horizontal esta se deforma en las cercanías del obstáculo con un 200%.

TABLA NO. 41

REGIMEN SUBCRITICO - SUBCRITICO

GASTO = 0.03 M³/SEG

TIRANTE AGUAS ARRIBA = 0.2951 M

TIRANTE AGUAS ABAJO = 0.2889 M

NUMERO DE ELEMENTOS MAESTROS EL DIRECCION Y = 1

NUMERO DE ELEMENTOS MAESTROS EL DIRECCION X = 5

g₀ = 0.0007

COORDENADA J	1	2	3	4	5	6	7	8
X	1	2.139	2.139	0	1.07	2.139	1.04	0
Y	1	0.0048	0.0048	0.2936	0.2951	0.0056	0.1492	0.2943
X	2	2.139	2.244	2.244	2.139	2.181	2.244	2.181
Y	2	0.0048	0.1097	0.2932	0.2938	0.0573	0.1745	0.2665
X	3	2.244	2.49	2.49	2.244	2.367	2.49	2.367
Y	3	0.1097	0.0048	0.2934	0.2932	0.0571	0.1489	0.2668
X	4	2.49	5.745	5.745	2.49	4.118	5.745	4.118
Y	4	0.0046	0.0023	0.2911	0.2934	0.0034	0.1467	0.2622
X	5	5.745	0	0	5.745	7.373	0	7.373
Y	5	0.0042	0	0.2666	0.2911	0.00114	0.1444	0.2669

TABLA. N° 42

REGIMEN SUBCRITICO - SUPERCRITICO

GASTO = 0.025 M³/SEG

TIRANTE AGUAS ARRIBA = 0.2934 M

TIRANTE AGUAS ABAJO = 0.09 V

NUMERO DE ELEMENTOS MAESTROS EL DIRECCION Y = 1

NUMERO DE ELEMENTOS MAESTROS EL DIRECCION X = 5

SG = 0.0009

ORDENADA	1	2	3	4	5	6	7	8
X	0	2.202	2.202	0	1.101	2.202	1.101	0
V	1	0.0061	0.0061	0.2934	0.0071	0.1488	0.2924	0.1508
V	2	2.202	2.32	2.32	2.202	2.261	2.32	2.261
V	2	0.0061	0.1155	0.2415	0.2914	0.0609	0.1785	0.2691
V	3	2.32	2.438	2.438	2.32	2.379	2.438	2.379
V	3	0.1155	0.0059	0.0959	0.2415	0.0603	0.0509	0.1688
V	4	2.438	5.719	5.719	2.429	4.079	5.719	4.079
V	4	0.0059	0.0029	0.0029	0.0059	0.0044	0.0479	0.0044
V	5	5.719	9	9	5.719	7.359	9	7.359
V	5	0.0029	0	0.00	0.0029	0.0015	0.045	0.0015
V	5	0.0029	0	0.00	0.0029	0.0015	0.045	0.0015

TABLA N° 4.3

REGIMEN SUPERCRITICO - SUPERCRITICO

GASTO = 0.036 M³/SEQ

TIRANTE AGUAS ARRIBA = 0.2449 M

TIRANTE AGUAS ABAJO = 0.0619 M

NUMERO DE ELEMENTOS MAESTROS EL DIRECCION Y = 1

NUMERO DE ELEMENTOS MAESTROS EL DIRECCION X = 5

S₀ = 0.017

COORDENADA	1	1	2	3	4	5	6	7	8
J	1	2	3	4	5	6	7	8	
X	1	0	2.2698	2.2698	0	1.1348	2.2046	1.1348	0
Y	1	0.1530	0.1144	0.2063	0.2449	0.1327	0.1603	0.2256	0.1966
X	2	2.2698	2.3239	2.3239	2.2698	2.2698	2.3239	2.2698	2.2698
Y	2	0.1144	0.1717	0.2707	0.2033	0.1431	0.2212	0.2365	0.1603
X	3	2.3239	2.3862	2.3862	2.3239	2.3571	2.3002	2.3571	2.3239
Y	3	0.1717	0.1124	0.2043	0.2707	0.1421	0.1579	0.2375	0.2212
X	4	2.3862	5.6631	5.6631	2.3862	4.0306	5.6631	4.0306	2.3862
Y	4	0.1124	0.0562	0.1481	0.2043	0.0843	0.1021	0.1762	0.1583
X	5	5.6631	9	9	5.6631	7.3466	9	7.3466	5.6631
Y	5	0.0562	0	0.0619	0.1481	0.0294	0.0459	0.1200	0.1021

4.2

```
***** INFORMACION GENERAL DE LOS ELEMENTOS
***** DATOS EN " METROS Y SEGUNDOS "
***** NXE 1J =9
***** NXE 2J =9
***** NXE 3J =9
***** NXE 4J =9
***** NXE 5J =9
***** NYC 1J =9
***** NUMERO MAXIMO DE ITERACIONES = 10
***** ELEMENTOS LINEALES
***** NUMERO DE VECES QUE SE SUAVIZARA
***** LA RED=0
***** TOLERANCIA = 0.000010
***** TIRANTE AGUAS ARRIBA = 0.295
***** TIRANTE AGUAS ABAJO = 0.289
***** GASTO UTILIZADO = 0.030
***** ANCHO DEL CANAL = 0.20
***** NUMERO DE ELEMENTOS = 640
***** NUMERO DE NODOS = 369
```

TABLA 4.4

ITERACION = 10

COORD	COORD	PSI=
[0.000,0.006]	[0.000,0.042]	0.000
[0.000,0.078]	[0.000,0.115]	0.019
[0.000,0.151]	[0.000,0.187]	0.038
[0.000,0.223]	[0.000,0.259]	0.056
[0.000,0.295]	[0.000,0.332]	0.075
[0.000,0.368]	[0.000,0.404]	0.094
[0.000,0.440]	[0.000,0.476]	0.112
[0.000,0.512]	[0.000,0.548]	0.131
[0.000,0.584]	[0.000,0.621]	0.150
[0.000,0.657]	[0.000,0.693]	0.000
[0.000,0.729]	[0.000,0.765]	0.019
[0.000,0.801]	[0.000,0.837]	0.038
[0.000,0.863]	[0.000,0.899]	0.056
[0.000,0.925]	[0.000,0.961]	0.075
[0.000,0.987]	[0.000,0.104]	0.094
[0.000,0.141]	[0.000,0.177]	0.113
[0.000,0.213]	[0.000,0.249]	0.131
[0.000,0.285]	[0.000,0.321]	0.150
[0.000,0.357]	[0.000,0.393]	0.000
[0.000,0.429]	[0.000,0.465]	0.019
[0.000,0.491]	[0.000,0.527]	0.038
[0.000,0.553]	[0.000,0.589]	0.056
[0.000,0.615]	[0.000,0.651]	0.075
[0.000,0.681]	[0.000,0.717]	0.094
[0.000,0.743]	[0.000,0.779]	0.113
[0.000,0.805]	[0.000,0.841]	0.131
[0.000,0.867]	[0.000,0.903]	0.150
[0.000,0.923]	[0.000,0.959]	0.000
[0.000,0.981]	[0.000,0.107]	0.019
[0.000,0.144]	[0.000,0.180]	0.038
[0.000,0.216]	[0.000,0.252]	0.056
[0.000,0.288]	[0.000,0.324]	0.075
[0.000,0.354]	[0.000,0.390]	0.094
[0.000,0.416]	[0.000,0.452]	0.113
[0.000,0.482]	[0.000,0.518]	0.131
[0.000,0.544]	[0.000,0.580]	0.150
[0.000,0.610]	[0.000,0.646]	0.000
[0.000,0.646]	[0.000,0.682]	0.019
[0.000,0.718]	[0.000,0.754]	0.037
[0.000,0.794]	[0.000,0.830]	0.056
[0.000,0.820]	[0.000,0.114]	0.075
[0.000,0.150]	[0.000,0.187]	0.113
[0.000,0.223]	[0.000,0.259]	0.131
[0.000,0.295]	[0.000,0.332]	0.150
[0.000,0.368]	[0.000,0.404]	0.000
[0.000,0.440]	[0.000,0.476]	0.019
[0.000,0.476]	[0.000,0.512]	0.038
[0.000,0.548]	[0.000,0.584]	0.056
[0.000,0.621]	[0.000,0.657]	0.075
[0.000,0.693]	[0.000,0.729]	0.094
[0.000,0.765]	[0.000,0.801]	0.112
[0.000,0.837]	[0.000,0.863]	0.131
[0.000,0.899]	[0.000,0.925]	0.150
[0.000,0.961]	[0.000,0.987]	0.000
[0.000,0.104]	[0.000,0.141]	0.019
[0.000,0.177]	[0.000,0.213]	0.037
[0.000,0.249]	[0.000,0.285]	0.056
[0.000,0.321]	[0.000,0.357]	0.075
[0.000,0.393]	[0.000,0.429]	0.094
[0.000,0.465]	[0.000,0.491]	0.112
[0.000,0.527]	[0.000,0.553]	0.131
[0.000,0.589]	[0.000,0.615]	0.150
[0.000,0.651]	[0.000,0.681]	0.000
[0.000,0.717]	[0.000,0.743]	0.019
[0.000,0.779]	[0.000,0.805]	0.037
[0.000,0.841]	[0.000,0.867]	0.056
[0.000,0.903]	[0.000,0.923]	0.075
[0.000,0.959]	[0.000,0.981]	0.094
[0.000,0.107]	[0.000,0.144]	0.112
[0.000,0.180]	[0.000,0.216]	0.131
[0.000,0.252]	[0.000,0.288]	0.150
[0.000,0.324]	[0.000,0.354]	0.000
[0.000,0.390]	[0.000,0.416]	0.019
[0.000,0.452]	[0.000,0.482]	0.037
[0.000,0.518]	[0.000,0.544]	0.056
[0.000,0.580]	[0.000,0.610]	0.075
[0.000,0.646]	[0.000,0.672]	0.094
[0.000,0.718]	[0.000,0.744]	0.112
[0.000,0.754]	[0.000,0.794]	0.131
[0.000,0.830]	[0.000,0.860]	0.150
[0.000,0.876]	[0.000,0.906]	0.000
[0.000,0.946]	[0.000,0.976]	0.019
[0.000,0.982]	[0.000,0.104]	0.037
[0.000,0.144]	[0.000,0.174]	0.056
[0.000,0.214]	[0.000,0.244]	0.075
[0.000,0.284]	[0.000,0.314]	0.094
[0.000,0.354]	[0.000,0.384]	0.112
[0.000,0.414]	[0.000,0.444]	0.131
[0.000,0.484]	[0.000,0.514]	0.150
[0.000,0.524]	[0.000,0.554]	0.000
[0.000,0.594]	[0.000,0.624]	0.019
[0.000,0.664]	[0.000,0.694]	0.037
[0.000,0.704]	[0.000,0.734]	0.056
[0.000,0.744]	[0.000,0.774]	0.075
[0.000,0.814]	[0.000,0.844]	0.094
[0.000,0.864]	[0.000,0.894]	0.112
[0.000,0.934]	[0.000,0.964]	0.131
[0.000,0.974]	[0.000,0.104]	0.150
[0.000,0.144]	[0.000,0.174]	0.169
[0.000,0.214]	[0.000,0.244]	0.188
[0.000,0.284]	[0.000,0.314]	0.207
[0.000,0.354]	[0.000,0.384]	0.226
[0.000,0.414]	[0.000,0.444]	0.245
[0.000,0.484]	[0.000,0.514]	0.264
[0.000,0.524]	[0.000,0.554]	0.283
[0.000,0.594]	[0.000,0.624]	0.302
[0.000,0.664]	[0.000,0.694]	0.321
[0.000,0.704]	[0.000,0.734]	0.340
[0.000,0.744]	[0.000,0.774]	0.359
[0.000,0.814]	[0.000,0.844]	0.378
[0.000,0.864]	[0.000,0.894]	0.397
[0.000,0.934]	[0.000,0.964]	0.416
[0.000,0.974]	[0.000,0.104]	0.435
[0.000,0.144]	[0.000,0.174]	0.454
[0.000,0.214]	[0.000,0.244]	0.473
[0.000,0.284]	[0.000,0.314]	0.492
[0.000,0.354]	[0.000,0.384]	0.511
[0.000,0.414]	[0.000,0.444]	0.530
[0.000,0.484]	[0.000,0.514]	0.549
[0.000,0.524]	[0.000,0.554]	0.568
[0.000,0.594]	[0.000,0.624]	0.587
[0.000,0.664]	[0.000,0.694]	0.606
[0.000,0.704]	[0.000,0.734]	0.625
[0.000,0.744]	[0.000,0.774]	0.644
[0.000,0.814]	[0.000,0.844]	0.663
[0.000,0.864]	[0.000,0.894]	0.682
[0.000,0.934]	[0.000,0.964]	0.701
[0.000,0.974]	[0.000,0.104]	0.720
[0.000,0.144]	[0.000,0.174]	0.739
[0.000,0.214]	[0.000,0.244]	0.758
[0.000,0.284]	[0.000,0.314]	0.777
[0.000,0.354]	[0.000,0.384]	0.796
[0.000,0.414]	[0.000,0.444]	0.815
[0.000,0.484]	[0.000,0.514]	0.834
[0.000,0.524]	[0.000,0.554]	0.853
[0.000,0.594]	[0.000,0.624]	0.872
[0.000,0.664]	[0.000,0.694]	0.891
[0.000,0.704]	[0.000,0.734]	0.910
[0.000,0.744]	[0.000,0.774]	0.929
[0.000,0.814]	[0.000,0.844]	0.948
[0.000,0.864]	[0.000,0.894]	0.967
[0.000,0.934]	[0.000,0.964]	0.986
[0.000,0.974]	[0.000,0.104]	1.005
[0.000,0.144]	[0.000,0.174]	1.024
[0.000,0.214]	[0.000,0.244]	1.043
[0.000,0.284]	[0.000,0.314]	1.062
[0.000,0.354]	[0.000,0.384]	1.081
[0.000,0.414]	[0.000,0.444]	1.099
[0.000,0.484]	[0.000,0.514]	1.118
[0.000,0.524]	[0.000,0.554]	1.137
[0.000,0.594]	[0.000,0.624]	1.156
[0.000,0.664]	[0.000,0.694]	1.175
[0.000,0.704]	[0.000,0.734]	1.194
[0.000,0.744]	[0.000,0.774]	1.213
[0.000,0.814]	[0.000,0.844]	1.232
[0.000,0.864]	[0.000,0.894]	1.251
[0.000,0.934]	[0.000,0.964]	1.270
[0.000,0.974]	[0.000,0.104]	1.289
[0.000,0.144]	[0.000,0.174]	1.308
[0.000,0.214]	[0.000,0.244]	1.327
[0.000,0.284]	[0.000,0.314]	1.346
[0.000,0.354]	[0.000,0.384]	1.365
[0.000,0.414]	[0.000,0.444]	1.384
[0.000,0.484]	[0.000,0.514]	1.403
[0.000,0.524]	[0.000,0.554]	1.422
[0.000,0.594]	[0.000,0.624]	1.441
[0.000,0.664]	[0.000,0.694]	1.460
[0.000,0.704]	[0.000,0.734]	1.479
[0.000,0.744]	[0.000,0.774]	1.498
[0.000,0.814]	[0.000,0.844]	1.517
[0.000,0.864]	[0.000,0.894]	1.536
[0.000,0.934]	[0.000,0.964]	1.555
[0.000,0.974]	[0.000,0.104]	1.574
[0.000,0.144]	[0.000,0.174]	1.593
[0.000,0.214]	[0.000,0.244]	1.612
[0.000,0.284]	[0.000,0.314]	1.631
[0.000,0.354]	[0.000,0.384]	1.650
[0.000,0.414]	[0.000,0.444]	1.669
[0.000,0.484]	[0.000,0.514]	1.688
[0.000,0.524]	[0.000,0.554]	1.707
[0.000,0.594]	[0.000,0.624]	1.726
[0.000,0.664]	[0.000,0.694]	1.745
[0.000,0.704]	[0.000,0.734]	1.764
[0.000,0.744]	[0.000,0.774]	1.783
[0.000,0.814]	[0.000,0.844]	1.802
[0.000,0.864]	[0.000,0.894]	1.821
[0.000,0.934]	[0.000,0.964]	1.840
[0.000,0.974]	[0.000,0.104]	1.859
[0.000,0.144]	[0.000,0.174]	1.878
[0.000,0.214]	[0.000,0.244]	1.897
[0.000,0.284]	[0.000,0.314]	1.916
[0.000,0.354]	[0.000,0.384]	1.935
[0.000,0.414]	[0.000,0.444]	1.954
[0.000,0.484]	[0.000,0.514]	1.973
[0.000,0.524]	[0.000,0.554]	1.992
[0.000,0.594]	[0.000,0.624]	2.011
[0.000,0.664]	[0.000,0.694]	2.030
[0.000,0.704]	[0.000,0.734]	2.049
[0.000,0.744]	[0.000,0.774]	2.068
[0.000,0.814]	[0.000,0.844]	2.087
[0.000,0.864]	[0.000,0.894]	2.106
[0.000,0.934]	[0.000,0.964]	2.125
[0.000,0.974]	[0.000,0.104]	2.144
[0.000,0.144]	[0.000,0.174]	2.163
[0.000,0.214]	[0.000,0.244]	2.182
[0.000,0.284]	[0.000,0.314]	2.201
[0.000,0.354]	[0.000,0.384]	2.220
[0.000,0.414]	[0.000,0.444]	2.239
[0.000,0.484]	[0.000,0.514]	2.258
[0.000,0.524]	[0.000,0.554]	2.277
[0.000,0.594]	[0.000,0.624]	2.296
[0.000,0.664]	[0.000,0.694]	2.315
[0.000,0.704]	[0.000,0.734]	2.334
[0.000,0.744]	[0.000,0.774]	2.353
[0.000,0.814]	[0.000,0.844]	2.372
[0.000,0.864]	[0.000,0.894]	2.391
[0.000,0.934]	[0.000,0.964]	2.410
[0.000,0.974]	[0.000,0.104]	2.429
[0.000,0.144]	[0.000,0.174]	2.448
[0.000,0.214]	[0.000,0.244]	2.467
[0.000,0.284]	[0.000,0.314]	2.486
[0.000,0.354]	[0.000,0.384]	2.505
[0.000,0.414]	[0.000,0.444]	2.524
[0.000,0.484]	[0.000,0.514]	2.543
[0.000,0.524]	[0.000,0.554]	2.562
[0.000,0.594]	[0.000,0.624]	2.581
[0.000,0.664]	[0.000,0.694]	2.600
[0.000,0.704]	[0.000,0.734]	2.619
[0.000,0.744]	[0.000,0.774]	2.638
[0.000,0.814]	[0.000,0.844]	2.657
[0.000,0.864]	[0.000,0.894]	2.676
[0.000,0.934]	[0.000,0.964]	2.695
[0.000,0.974]	[0.000,0.104]	2.714
[0.000,0.144]	[0.000,0.174]	2.733
[0.000,0.214]	[0.000,0.244]	2.752
[0.000,0.284]	[0.000,0.314]	2.771
[0.000,0.354]	[0.000,0.384]	2.790
[0.000,0.414]	[0.000,0.444]	2.809
[0.000,0.484]	[0.000,0.514]	2.828
[0.000,0.524]	[0.000,0.554]	2.847
[0.000,0.594]	[0.000,0.624]	2.866
[0.000,0.664]	[0.000,0.694]	2.885
[0.000,0.704]	[0.000,0.734]	2.904
[0.000,0.744]	[0.000,0.774]	2.923
[0.000,0.814]	[0.000,0.844]	2.942
[0.000,0.864]	[0.000,0.894]	2.961
[0.000,0.934]	[0.000,0.964]	2.980
[0.000,0.974]	[0.000,0.104]	2.999
[0.000,0.144]	[0.000,0.174]	3.018
[0.000,0.214]	[0.000,0.244]	3.037
[0.000,0.284]	[0.000,0.314]	3.056
[0.000,0.354]	[0.000,0.384]	3.075
[0.000,0.414]	[0.000,0.444]	3.094
[0.000,0.484]	[0.000,0.514]	3.113
[0.000,0.524]	[0.000,0.554]	3.132
[0.000,0.594]	[0.000,0.624]	3.151
[0.000,0.664]	[0.000,0.694]	3.170
[0.000,0.704]	[0.000,0.734]	3.189
[0.000,0.744]	[0.000,0.774]	3.208
[0.000,0.814]	[0.000,0.844]	3.227
[0.000,0.864]	[0.000,0.894]	3.246
[0.000,0.934]	[0.000,0.964]	3.265
[0.000,0.974]	[0.000,0.104]	3.284
[0.000,0.144]	[0.000,0.174]	3.303
[0.000,0.214]	[0.000,0.244]	3.322
[0.000,0.284]	[0.000,0.314]	3.341
[0.000,0.354]	[0.000,0.384]	3.360

COORD [1.872, 0.005] PSI= 0.000
COORD [1.872, 0.041] PSI= 0.018
COORD [1.872, 0.077] PSI= 0.037
COORD [1.872, 0.113] PSI= 0.055
COORD [1.872, 0.149] PSI= 0.074
COORD [1.872, 0.185] PSI= 0.093
COORD [1.872, 0.222] PSI= 0.112
COORD [1.872, 0.258] PSI= 0.131
COORD [1.872, 0.294] PSI= 0.150
COORD [2.139, 0.005] PSI= 0.000
COORD [2.139, 0.041] PSI= 0.013
COORD [2.139, 0.077] PSI= 0.029
COORD [2.139, 0.113] PSI= 0.047
COORD [2.139, 0.149] PSI= 0.067
COORD [2.139, 0.185] PSI= 0.088
COORD [2.139, 0.221] PSI= 0.109
COORD [2.139, 0.257] PSI= 0.130
COORD [2.139, 0.293] PSI= 0.150
COORD [2.152, 0.018] PSI= 0.000
COORD [2.152, 0.054] PSI= 0.014
COORD [2.152, 0.090] PSI= 0.031
COORD [2.152, 0.125] PSI= 0.051
COORD [2.152, 0.161] PSI= 0.073
COORD [2.152, 0.197] PSI= 0.096
COORD [2.152, 0.233] PSI= 0.117
COORD [2.152, 0.269] PSI= 0.136
COORD [2.152, 0.304] PSI= 0.150
COORD [2.165, 0.051] PSI= 0.000
COORD [2.165, 0.086] PSI= 0.015
COORD [2.165, 0.101] PSI= 0.034
COORD [2.165, 0.136] PSI= 0.055
COORD [2.165, 0.171] PSI= 0.079
COORD [2.165, 0.205] PSI= 0.101
COORD [2.165, 0.240] PSI= 0.122
COORD [2.165, 0.275] PSI= 0.139
COORD [2.165, 0.310] PSI= 0.150
COORD [2.178, 0.044] PSI= 0.000
COORD [2.178, 0.077] PSI= 0.016
COORD [2.178, 0.111] PSI= 0.036
COORD [2.178, 0.144] PSI= 0.059
COORD [2.178, 0.177] PSI= 0.083
COORD [2.178, 0.211] PSI= 0.106
COORD [2.178, 0.244] PSI= 0.126
COORD [2.178, 0.277] PSI= 0.141
COORD [2.178, 0.310] PSI= 0.150
COORD [2.191, 0.057] PSI= 0.000
COORD [2.191, 0.088] PSI= 0.017
COORD [2.191, 0.119] PSI= 0.038
COORD [2.191, 0.150] PSI= 0.061
COORD [2.191, 0.181] PSI= 0.086
COORD [2.191, 0.212] PSI= 0.109
COORD [2.191, 0.243] PSI= 0.128
COORD [2.191, 0.274] PSI= 0.142
COORD [2.191, 0.305] PSI= 0.150
COORD [2.204, 0.070] PSI= 0.000
COORD [2.204, 0.098] PSI= 0.017
COORD [2.204, 0.127] PSI= 0.039
COORD [2.204, 0.155] PSI= 0.063
COORD [2.204, 0.183] PSI= 0.087
COORD [2.204, 0.211] PSI= 0.110
COORD [2.204, 0.259] PSI= 0.129
COORD [2.204, 0.287] PSI= 0.142
COORD [2.204, 0.295] PSI= 0.150
COORD [2.217, 0.084] PSI= 0.000
COORD [2.217, 0.108] PSI= 0.018
COORD [2.217, 0.172] PSI= 0.040

COORD [2.217,0.157]	PSI= 0.064
COORD [2.217,0.181]	PSI= 0.087
COORD [2.217,0.206]	PSI= 0.109
COORD [2.217,0.230]	PSI= 0.128
COORD [2.217,0.255]	PSI= 0.142
COORD [2.217,0.279]	PSI= 0.150
COORD [2.231,0.097]	PSI= 0.000
COORD [2.231,0.117]	PSI= 0.019
COORD [2.231,0.137]	PSI= 0.042
COORD [2.231,0.157]	PSI= 0.063
COORD [2.231,0.177]	PSI= 0.084
COORD [2.231,0.197]	PSI= 0.104
COORD [2.231,0.218]	PSI= 0.124
COORD [2.231,0.238]	PSI= 0.140
COORD [2.231,0.258]	PSI= 0.150
COORD [2.244,0.110]	PSI= 0.000
COORD [2.244,0.125]	PSI= 0.024
COORD [2.244,0.140]	PSI= 0.043
COORD [2.244,0.155]	PSI= 0.061
COORD [2.244,0.170]	PSI= 0.078
COORD [2.244,0.186]	PSI= 0.095
COORD [2.244,0.201]	PSI= 0.115
COORD [2.244,0.216]	PSI= 0.131
COORD [2.244,0.231]	PSI= 0.150
COORD [2.275,0.097]	PSI= 0.000
COORD [2.275,0.116]	PSI= 0.020
COORD [2.275,0.136]	PSI= 0.041
COORD [2.275,0.156]	PSI= 0.061
COORD [2.275,0.175]	PSI= 0.080
COORD [2.275,0.195]	PSI= 0.100
COORD [2.275,0.215]	PSI= 0.118
COORD [2.275,0.234]	PSI= 0.136
COORD [2.275,0.254]	PSI= 0.150
COORD [2.305,0.085]	PSI= 0.000
COORD [2.305,0.107]	PSI= 0.020
COORD [2.305,0.131]	PSI= 0.040
COORD [2.305,0.154]	PSI= 0.061
COORD [2.305,0.178]	PSI= 0.081
COORD [2.305,0.202]	PSI= 0.101
COORD [2.305,0.225]	PSI= 0.119
COORD [2.305,0.249]	PSI= 0.136
COORD [2.305,0.272]	PSI= 0.150
COORD [2.336,0.070]	PSI= 0.000
COORD [2.336,0.097]	PSI= 0.019
COORD [2.336,0.124]	PSI= 0.040
COORD [2.336,0.151]	PSI= 0.060
COORD [2.336,0.178]	PSI= 0.081
COORD [2.336,0.205]	PSI= 0.101
COORD [2.336,0.232]	PSI= 0.119
COORD [2.336,0.260]	PSI= 0.136
COORD [2.336,0.287]	PSI= 0.150
COORD [2.367,0.057]	PSI= 0.000
COORD [2.367,0.087]	PSI= 0.019
COORD [2.367,0.117]	PSI= 0.039
COORD [2.367,0.147]	PSI= 0.060
COORD [2.367,0.177]	PSI= 0.080
COORD [2.367,0.207]	PSI= 0.100
COORD [2.367,0.237]	PSI= 0.118
COORD [2.367,0.267]	PSI= 0.135
COORD [2.367,0.296]	PSI= 0.150
COORD [2.398,0.044]	PSI= 0.000
COORD [2.398,0.076]	PSI= 0.019
COORD [2.398,0.108]	PSI= 0.038
COORD [2.398,0.141]	PSI= 0.058
COORD [2.398,0.175]	PSI= 0.079
COORD [2.398,0.205]	PSI= 0.098

COORD	[2.398,0.237]	PSI= 0.117
COORD	[2.398,0.270]	PSI= 0.135
COORD	[2.398,0.302]	PSI= 0.150
COORD	[2.428,0.031]	PSI= 0.060
COORD	[2.428,0.065]	PSI= 0.018
COORD	[2.428,0.099]	PSI= 0.027
COORD	[2.428,0.133]	PSI= 0.057
COORD	[2.428,0.167]	PSI= 0.077
COORD	[2.428,0.201]	PSI= 0.097
COORD	[2.428,0.235]	PSI= 0.116
COORD	[2.428,0.269]	PSI= 0.134
COORD	[2.428,0.301]	PSI= 0.150
COORD	[2.459,0.018]	PSI= 0.000
COORD	[2.459,0.055]	PSI= 0.017
COORD	[2.459,0.088]	PSI= 0.036
COORD	[2.459,0.124]	PSI= 0.055
COORD	[2.459,0.159]	PSI= 0.074
COORD	[2.459,0.194]	PSI= 0.094
COORD	[2.459,0.230]	PSI= 0.114
COORD	[2.459,0.265]	PSI= 0.132
COORD	[2.459,0.300]	PSI= 0.150
COORD	[2.470,0.005]	PSI= 0.000
COORD	[2.490,0.041]	PSI= 0.017
COORD	[2.490,0.077]	PSI= 0.034
COORD	[2.490,0.113]	PSI= 0.052
COORD	[2.490,0.149]	PSI= 0.071
COORD	[2.490,0.185]	PSI= 0.091
COORD	[2.490,0.221]	PSI= 0.110
COORD	[2.490,0.257]	PSI= 0.130
COORD	[2.490,0.293]	PSI= 0.150
COORD	[2.897,0.004]	PSI= 0.000
COORD	[2.897,0.040]	PSI= 0.019
COORD	[2.897,0.077]	PSI= 0.037
COORD	[2.897,0.113]	PSI= 0.056
COORD	[2.897,0.149]	PSI= 0.075
COORD	[2.897,0.185]	PSI= 0.094
COORD	[2.897,0.221]	PSI= 0.112
COORD	[2.897,0.258]	PSI= 0.131
COORD	[2.897,0.294]	PSI= 0.150
COORD	[3.304,0.004]	PSI= 0.000
COORD	[3.304,0.040]	PSI= 0.019
COORD	[3.304,0.077]	PSI= 0.037
COORD	[3.304,0.113]	PSI= 0.056
COORD	[3.304,0.149]	PSI= 0.075
COORD	[3.304,0.186]	PSI= 0.094
COORD	[3.304,0.222]	PSI= 0.112
COORD	[3.304,0.259]	PSI= 0.131
COORD	[3.304,0.295]	PSI= 0.150
COORD	[3.711,0.004]	PSI= 0.000
COORD	[3.711,0.040]	PSI= 0.019
COORD	[3.711,0.077]	PSI= 0.038
COORD	[3.711,0.113]	PSI= 0.056
COORD	[3.711,0.149]	PSI= 0.075
COORD	[3.711,0.186]	PSI= 0.094
COORD	[3.711,0.222]	PSI= 0.113
COORD	[3.711,0.259]	PSI= 0.131
COORD	[3.711,0.295]	PSI= 0.150
COORD	[4.118,0.003]	PSI= 0.000
COORD	[4.118,0.040]	PSI= 0.019
COORD	[4.118,0.076]	PSI= 0.038
COORD	[4.118,0.113]	PSI= 0.056
COORD	[4.118,0.149]	PSI= 0.075
COORD	[4.118,0.186]	PSI= 0.094
COORD	[4.118,0.222]	PSI= 0.113
COORD	[4.118,0.259]	PSI= 0.131
COORD	[4.118,0.295]	PSI= 0.150

COORD [4.525,0.003] PSI= 0.000
COORD [4.525,0.040] PSI= 0.019
COORD [4.525,0.076] PSI= 0.038
COORD [4.525,0.113] PSI= 0.056
COORD [4.525,0.149] PSI= 0.075
COORD [4.525,0.186] PSI= 0.094
COORD [4.525,0.223] PSI= 0.113
COORD [4.525,0.259] PSI= 0.131
COORD [4.525,0.296] PSI= 0.150
COORD [4.932,0.003] PSI= 0.000
COORD [4.932,0.039] PSI= 0.019
COORD [4.932,0.076] PSI= 0.038
COORD [4.932,0.113] PSI= 0.056
COORD [4.932,0.149] PSI= 0.075
COORD [4.932,0.186] PSI= 0.094
COORD [4.932,0.223] PSI= 0.113
COORD [4.932,0.259] PSI= 0.131
COORD [4.932,0.296] PSI= 0.150
COORD [5.338,0.003] PSI= 0.000
COORD [5.338,0.039] PSI= 0.019
COORD [5.338,0.076] PSI= 0.038
COORD [5.338,0.113] PSI= 0.056
COORD [5.338,0.149] PSI= 0.075
COORD [5.338,0.186] PSI= 0.094
COORD [5.338,0.223] PSI= 0.113
COORD [5.338,0.259] PSI= 0.131
COORD [5.338,0.296] PSI= 0.150
COORD [5.745,0.003] PSI= 0.000
COORD [5.745,0.039] PSI= 0.019
COORD [5.745,0.076] PSI= 0.038
COORD [5.745,0.113] PSI= 0.056
COORD [5.745,0.149] PSI= 0.075
COORD [5.745,0.186] PSI= 0.094
COORD [5.745,0.223] PSI= 0.113
COORD [5.745,0.259] PSI= 0.131
COORD [5.745,0.296] PSI= 0.150
COORD [6.152,0.003] PSI= 0.000
COORD [6.152,0.039] PSI= 0.019
COORD [6.152,0.076] PSI= 0.038
COORD [6.152,0.113] PSI= 0.056
COORD [6.152,0.149] PSI= 0.075
COORD [6.152,0.186] PSI= 0.094
COORD [6.152,0.223] PSI= 0.113
COORD [6.152,0.259] PSI= 0.131
COORD [6.152,0.296] PSI= 0.150
COORD [6.559,0.003] PSI= 0.000
COORD [6.559,0.039] PSI= 0.019
COORD [6.559,0.075] PSI= 0.038
COORD [6.559,0.112] PSI= 0.056
COORD [6.559,0.149] PSI= 0.075
COORD [6.559,0.186] PSI= 0.094
COORD [6.559,0.223] PSI= 0.113
COORD [6.559,0.260] PSI= 0.131
COORD [6.559,0.296] PSI= 0.150
COORD [6.966,0.003] PSI= 0.000
COORD [6.966,0.038] PSI= 0.019
COORD [6.966,0.075] PSI= 0.038
COORD [6.966,0.112] PSI= 0.056
COORD [6.966,0.149] PSI= 0.075
COORD [6.966,0.186] PSI= 0.094
COORD [6.966,0.223] PSI= 0.113
COORD [6.966,0.259] PSI= 0.131
COORD [6.966,0.296] PSI= 0.150
COORD [7.373,0.003] PSI= 0.000
COORD [7.373,0.038] PSI= 0.019
COORD [7.373,0.075] PSI= 0.038

COORD [7.373,0.112]	PSI= 0.056
COORD [7.373,0.148]	PSI= 0.075
COORD [7.373,0.185]	PSI= 0.094
COORD [7.373,0.222]	PSI= 0.113
COORD [7.373,0.259]	PSI= 0.131
COORD [7.373,0.296]	PSI= 0.150
COORD [7.780,0.001]	PSI= 0.000
COORD [7.780,0.028]	PSI= 0.019
COORD [7.780,0.074]	PSI= 0.038
COORD [7.780,0.111]	PSI= 0.056
COORD [7.780,0.148]	PSI= 0.075
COORD [7.780,0.184]	PSI= 0.094
COORD [7.780,0.221]	PSI= 0.113
COORD [7.780,0.258]	PSI= 0.131
COORD [7.780,0.295]	PSI= 0.150
COORD [8.187,0.001]	PSI= 0.000
COORD [8.187,0.037]	PSI= 0.019
COORD [8.187,0.074]	PSI= 0.038
COORD [8.187,0.110]	PSI= 0.056
COORD [8.187,0.147]	PSI= 0.075
COORD [8.187,0.183]	PSI= 0.094
COORD [8.187,0.220]	PSI= 0.113
COORD [8.187,0.257]	PSI= 0.131
COORD [8.187,0.293]	PSI= 0.150
COORD [8.593,0.000]	PSI= 0.000
COORD [8.593,0.037]	PSI= 0.019
COORD [8.593,0.073]	PSI= 0.038
COORD [8.593,0.109]	PSI= 0.056
COORD [8.593,0.146]	PSI= 0.075
COORD [8.593,0.182]	PSI= 0.094
COORD [8.593,0.218]	PSI= 0.113
COORD [8.593,0.255]	PSI= 0.131
COORD [8.593,0.291]	PSI= 0.150
COORD [9.000,0.000]	PSI= 0.000
COORD [9.000,0.036]	PSI= 0.019
COORD [9.000,0.072]	PSI= 0.037
COORD [9.000,0.108]	PSI= 0.056
COORD [9.000,0.144]	PSI= 0.075
COORD [9.000,0.180]	PSI= 0.094
COORD [9.000,0.217]	PSI= 0.112
COORD [9.000,0.253]	PSI= 0.131
COORD [9.000,0.289]	PSI= 0.150

```

***** INFORMACION GENERAL DE LOS *****
***** ELEMENTOS *****
***** DATOS EN " METROS Y SEGUNDOS "
***** NXL 11 =9
***** NXL 21 =9
***** NXL 31 =9
***** NXL 41 =9
***** NXL 51 =9
***** NYL 11 =9
***** NUMERO MAXIMO DE ITERACIONES = 10
***** ELEMENTOS LINEALES
***** NUMERO DE VECES QUE SE SUAVIZARA
***** LA RED=0
***** TOLERANCIA = 0.000100
***** TIRANTE AGUAS ARRIBA = 0.293
***** TIRANTE AGUAS ABAJO = 0.090
***** GASTO UTILIZADO = 0.015
***** ANCHO DEL CANAL = 0.20
***** NUMERO DE ELEMENTOS = 640
***** NUMERO DE NODOS = 369

```

TABLA 4.5

ITERACION = 10

COORD	PSI=
(0.000,0.000)	0.000
(0.000,0.044)	0.016
(0.000,0.079)	0.031
(0.000,0.115)	0.047
(0.000,0.151)	0.065
(0.000,0.186)	0.073
(0.000,0.222)	0.094
(0.000,0.258)	0.109
(0.000,0.293)	0.125
(0.275,0.008)	0.000
(0.275,0.044)	0.016
(0.275,0.079)	0.031
(0.275,0.115)	0.047
(0.275,0.151)	0.065
(0.275,0.186)	0.078
(0.275,0.222)	0.094
(0.275,0.258)	0.109
(0.275,0.293)	0.125
(0.550,0.009)	0.000
(0.550,0.043)	0.016
(0.550,0.079)	0.031
(0.550,0.115)	0.047
(0.550,0.150)	0.065
(0.550,0.186)	0.078
(0.550,0.222)	0.094
(0.550,0.257)	0.109
(0.550,0.293)	0.125
(0.825,0.007)	0.000
(0.825,0.043)	0.016
(0.825,0.079)	0.031
(0.825,0.114)	0.047
(0.825,0.150)	0.062
(0.825,0.186)	0.079
(0.825,0.221)	0.094
(0.825,0.257)	0.109
(0.825,0.293)	0.125
(1.101,0.007)	0.000
(1.101,0.043)	0.016
(1.101,0.079)	0.031
(1.101,0.114)	0.047
(1.101,0.150)	0.062
(1.101,0.186)	0.078
(1.101,0.221)	0.094
(1.101,0.257)	0.109
(1.101,0.293)	0.125
(1.376,0.007)	0.000
(1.376,0.043)	0.016
(1.376,0.078)	0.031
(1.376,0.114)	0.047
(1.376,0.150)	0.062
(1.376,0.186)	0.078
(1.376,0.221)	0.094
(1.376,0.257)	0.109
(1.376,0.293)	0.125
(1.651,0.007)	0.000
(1.651,0.043)	0.016
(1.651,0.078)	0.031
(1.651,0.114)	0.047
(1.651,0.150)	0.062
(1.651,0.186)	0.078
(1.651,0.221)	0.094
(1.651,0.257)	0.109
(1.651,0.293)	0.125
(1.926,0.007)	0.000
(1.926,0.043)	0.016
(1.926,0.078)	0.031
(1.926,0.114)	0.047
(1.926,0.150)	0.062
(1.926,0.186)	0.078
(1.926,0.221)	0.094
(1.926,0.257)	0.109
(1.926,0.293)	0.125

CCORD	01.927,0.0063	PSI= 0.000
COORD	01.927,0.0423	PSI= 0.015
COORD	01.927,0.0783	PSI= 0.031
COORD	01.927,0.1153	PSI= 0.048
COORD	01.927,0.1493	PSI= 0.062
COORD	01.927,0.1853	PSI= 0.078
COORD	01.927,0.2213	PSI= 0.093
COORD	01.927,0.2563	PSI= 0.109
COORD	01.927,0.2923	PSI= 0.125
COORD	02.202,0.0063	PSI= 0.000
COORD	02.202,0.0423	PSI= 0.011
COORD	02.202,0.0783	PSI= 0.025
COORD	02.202,0.1153	PSI= 0.041
COORD	02.202,0.1493	PSI= 0.058
COORD	02.202,0.1853	PSI= 0.075
COORD	02.202,0.2203	PSI= 0.093
CCORD	02.202,0.2563	PSI= 0.109
COORD	02.202,0.2923	PSI= 0.125
COORD	02.217,0.0203	PSI= 0.000
COORD	02.217,0.0563	PSI= 0.010
COORD	02.217,0.0923	PSI= 0.025
CCORD	02.217,0.1283	PSI= 0.041
COORD	02.217,0.1643	PSI= 0.058
COORD	02.217,0.1873	PSI= 0.077
COORD	02.217,0.2203	PSI= 0.094
COORD	02.217,0.2543	PSI= 0.110
COORD	02.217,0.2873	PSI= 0.125
COORD	02.231,0.0343	PSI= 0.000
CCORD	02.231,0.0653	PSI= 0.012
COORD	02.231,0.0983	PSI= 0.028
ICCRD	02.231,0.1273	PSI= 0.045
COORD	02.231,0.1623	PSI= 0.061
CCCD	02.231,0.1923	PSI= 0.077
CCORD	02.231,0.2203	PSI= 0.093
CCORD	02.231,0.2523	PSI= 0.110
COORD	02.231,0.2853	PSI= 0.125
COORD	02.246,0.0473	PSI= 0.000
COORD	02.246,0.0763	PSI= 0.012
COORD	02.246,0.1053	PSI= 0.027
COORD	02.246,0.1343	PSI= 0.045
COORD	02.246,0.1633	PSI= 0.063
COORD	02.246,0.1913	PSI= 0.080
COORD	02.246,0.2203	PSI= 0.096
COORD	02.246,0.2493	PSI= 0.111
COORD	02.246,0.2763	PSI= 0.125
COORD	02.261,0.0613	PSI= 0.000
COORD	02.261,0.0873	PSI= 0.013
CCORD	02.261,0.1143	PSI= 0.029
COORD	02.261,0.1403	PSI= 0.047
COORD	02.261,0.1673	PSI= 0.065
CCRD	02.261,0.1933	PSI= 0.082
COORD	02.261,0.2203	PSI= 0.098
COORD	02.261,0.2463	PSI= 0.112
COORD	02.261,0.2733	PSI= 0.125
CCORD	02.276,0.0753	PSI= 0.000
COORD	02.276,0.0993	PSI= 0.014
ICRD	02.276,0.1233	PSI= 0.031
CCORD	02.276,0.1473	PSI= 0.032
ICCRD	02.276,0.1713	PSI= 0.047
CCORD	02.276,0.1953	PSI= 0.055
CCORD	02.276,0.2153	PSI= 0.066
CCORD	02.276,0.2473	PSI= 0.083
ICRD	02.276,0.2653	PSI= 0.100
CCCD	02.276,0.2863	PSI= 0.109
ICCRD	02.276,0.3113	PSI= 0.125
CCRD	02.276,0.3323	PSI= 0.141

COORD	X	Y	Z	PSI
COORD	0.290	0.120	0.120	0.025
COORD	0.290	0.175	0.175	0.075
COORD	0.290	0.197	0.197	0.089
COORD	0.290	0.219	0.219	0.102
COORD	0.290	0.240	0.240	0.114
COORD	0.290	0.262	0.262	0.125
COORD	0.290	0.102	0.102	0.000
COORD	0.205	0.121	0.121	0.019
COORD	0.205	0.141	0.141	0.042
COORD	0.205	0.160	0.160	0.062
COORD	0.205	0.179	0.179	0.079
COORD	0.205	0.199	0.199	0.094
COORD	0.205	0.218	0.218	0.104
COORD	0.205	0.227	0.227	0.116
COORD	0.205	0.247	0.247	0.125
COORD	0.205	0.115	0.115	0.000
COORD	0.205	0.132	0.132	0.031
COORD	0.205	0.144	0.144	0.054
COORD	0.205	0.156	0.156	0.070
COORD	0.205	0.167	0.167	0.087
COORD	0.205	0.180	0.180	0.096
COORD	0.205	0.217	0.217	0.110
COORD	0.205	0.234	0.234	0.119
COORD	0.205	0.250	0.250	0.125
COORD	0.305	0.102	0.102	0.000
COORD	0.305	0.119	0.119	0.023
COORD	0.305	0.135	0.135	0.045
COORD	0.305	0.152	0.152	0.064
COORD	0.305	0.169	0.169	0.081
COORD	0.305	0.185	0.185	0.098
COORD	0.305	0.201	0.201	0.107
COORD	0.305	0.218	0.218	0.117
COORD	0.305	0.235	0.235	0.126
COORD	0.305	0.252	0.252	0.135
COORD	0.305	0.269	0.269	0.144
COORD	0.305	0.286	0.286	0.153
COORD	0.305	0.303	0.303	0.162
COORD	0.305	0.320	0.320	0.171
COORD	0.305	0.337	0.337	0.180
COORD	0.305	0.354	0.354	0.189
COORD	0.305	0.371	0.371	0.198
COORD	0.305	0.388	0.388	0.207
COORD	0.305	0.405	0.405	0.216
COORD	0.305	0.422	0.422	0.225
COORD	0.305	0.439	0.439	0.234
COORD	0.305	0.456	0.456	0.243
COORD	0.305	0.473	0.473	0.252
COORD	0.305	0.490	0.490	0.261
COORD	0.305	0.507	0.507	0.270
COORD	0.305	0.524	0.524	0.279
COORD	0.305	0.541	0.541	0.288
COORD	0.305	0.558	0.558	0.297
COORD	0.305	0.575	0.575	0.306
COORD	0.305	0.592	0.592	0.315
COORD	0.305	0.609	0.609	0.324
COORD	0.305	0.626	0.626	0.333
COORD	0.305	0.643	0.643	0.342
COORD	0.305	0.660	0.660	0.351
COORD	0.305	0.677	0.677	0.360
COORD	0.305	0.694	0.694	0.369
COORD	0.305	0.711	0.711	0.378
COORD	0.305	0.728	0.728	0.387
COORD	0.305	0.745	0.745	0.396
COORD	0.305	0.762	0.762	0.405
COORD	0.305	0.779	0.779	0.414
COORD	0.305	0.796	0.796	0.423
COORD	0.305	0.813	0.813	0.432
COORD	0.305	0.830	0.830	0.441
COORD	0.305	0.847	0.847	0.450
COORD	0.305	0.864	0.864	0.459
COORD	0.305	0.881	0.881	0.468
COORD	0.305	0.898	0.898	0.477
COORD	0.305	0.915	0.915	0.486
COORD	0.305	0.932	0.932	0.495
COORD	0.305	0.949	0.949	0.504
COORD	0.305	0.966	0.966	0.513
COORD	0.305	0.983	0.983	0.522
COORD	0.305	1.000	1.000	0.531
COORD	0.305	1.017	1.017	0.540
COORD	0.305	1.034	1.034	0.549
COORD	0.305	1.051	1.051	0.558
COORD	0.305	1.068	1.068	0.567
COORD	0.305	1.085	1.085	0.576
COORD	0.305	1.102	1.102	0.585
COORD	0.305	1.119	1.119	0.594
COORD	0.305	1.136	1.136	0.603
COORD	0.305	1.153	1.153	0.612
COORD	0.305	1.170	1.170	0.621
COORD	0.305	1.187	1.187	0.630
COORD	0.305	1.204	1.204	0.639
COORD	0.305	1.221	1.221	0.648
COORD	0.305	1.238	1.238	0.657
COORD	0.305	1.255	1.255	0.666
COORD	0.305	1.272	1.272	0.675
COORD	0.305	1.289	1.289	0.684
COORD	0.305	1.306	1.306	0.693
COORD	0.305	1.323	1.323	0.702
COORD	0.305	1.340	1.340	0.711
COORD	0.305	1.357	1.357	0.720
COORD	0.305	1.374	1.374	0.729
COORD	0.305	1.391	1.391	0.738
COORD	0.305	1.408	1.408	0.747
COORD	0.305	1.425	1.425	0.756
COORD	0.305	1.442	1.442	0.765
COORD	0.305	1.459	1.459	0.774
COORD	0.305	1.476	1.476	0.783
COORD	0.305	1.493	1.493	0.792
COORD	0.305	1.510	1.510	0.801
COORD	0.305	1.527	1.527	0.810
COORD	0.305	1.544	1.544	0.819
COORD	0.305	1.561	1.561	0.828
COORD	0.305	1.578	1.578	0.837
COORD	0.305	1.595	1.595	0.846
COORD	0.305	1.612	1.612	0.855
COORD	0.305	1.629	1.629	0.864
COORD	0.305	1.646	1.646	0.873
COORD	0.305	1.663	1.663	0.882
COORD	0.305	1.680	1.680	0.891
COORD	0.305	1.697	1.697	0.900
COORD	0.305	1.714	1.714	0.909
COORD	0.305	1.731	1.731	0.918
COORD	0.305	1.748	1.748	0.927
COORD	0.305	1.765	1.765	0.936
COORD	0.305	1.782	1.782	0.945
COORD	0.305	1.800	1.800	0.954
COORD	0.305	1.817	1.817	0.963
COORD	0.305	1.834	1.834	0.972
COORD	0.305	1.851	1.851	0.981
COORD	0.305	1.868	1.868	0.990
COORD	0.305	1.885	1.885	0.999
COORD	0.305	1.902	1.902	1.008
COORD	0.305	1.919	1.919	1.017
COORD	0.305	1.936	1.936	1.026
COORD	0.305	1.953	1.953	1.035
COORD	0.305	1.970	1.970	1.044
COORD	0.305	1.987	1.987	1.053
COORD	0.305	2.004	2.004	1.062
COORD	0.305	2.021	2.021	1.071
COORD	0.305	2.038	2.038	1.080
COORD	0.305	2.055	2.055	1.089
COORD	0.305	2.072	2.072	1.098
COORD	0.305	2.089	2.089	1.107
COORD	0.305	2.106	2.106	1.116
COORD	0.305	2.123	2.123	1.125
COORD	0.305	2.140	2.140	1.134
COORD	0.305	2.157	2.157	1.143
COORD	0.305	2.174	2.174	1.152
COORD	0.305	2.191	2.191	1.161
COORD	0.305	2.208	2.208	1.170
COORD	0.305	2.225	2.225	1.179
COORD	0.305	2.242	2.242	1.188
COORD	0.305	2.259	2.259	1.197
COORD	0.305	2.276	2.276	1.206
COORD	0.305	2.293	2.293	1.215
COORD	0.305	2.310	2.310	1.224
COORD	0.305	2.327	2.327	1.233
COORD	0.305	2.344	2.344	1.242
COORD	0.305	2.361	2.361	1.251
COORD	0.305	2.378	2.378	1.260
COORD	0.305	2.395	2.395	1.269
COORD	0.305	2.412	2.412	1.278
COORD	0.305	2.429	2.429	1.287
COORD	0.305	2.446	2.446	1.296
COORD	0.305	2.463	2.463	1.305
COORD	0.305	2.480	2.480	1.314
COORD	0.305	2.497	2.497	1.323
COORD	0.305	2.514	2.514	1.332
COORD	0.305	2.531	2.531	1.341
COORD	0.305	2.548	2.548	1.350
COORD	0.305	2.565	2.565	1.359
COORD	0.305	2.582	2.582	1.368
COORD	0.305	2.600	2.600	1.377
COORD	0.305	2.617	2.617	1.386
COORD	0.305	2.634	2.634	1.395
COORD	0.305	2.651	2.651	1.404
COORD	0.305	2.668	2.668	1.413
COORD	0.305	2.685	2.685	1.422
COORD	0.305	2.702	2.702	1.431
COORD	0.305	2.719	2.719	1.440
COORD	0.305	2.736	2.736	1.449
COORD	0.305	2.753	2.753	1.458
COORD	0.305	2.770	2.770	1.467
COORD	0.305	2.787	2.787	1.476
COORD	0.305	2.804	2.804	1.485
COORD	0.305	2.821	2.821	1.494
COORD	0.305	2.838	2.838	1.503
COORD	0.305	2.855	2.855	1.512
COORD	0.305	2.872	2.872	1.521
COORD	0.305	2.889	2.889	1.530
COORD	0.305	2.906	2.906	1.539
COORD	0.305	2.923	2.923	1.548
COORD	0.305	2.940	2.940	1.557
COORD	0.305	2.957	2.957	1.566
COORD	0.305	2.974	2.974	1.575
COORD	0.305	2.991	2.991	1.584
COORD	0.305	3.008	3.008	1.593
COORD	0.305	3.025	3.025	1.602
COORD	0.305	3.042	3.042	1.611
COORD	0.305	3.059	3.059	1.620
COORD	0.305	3.076	3.076	1.629
COORD	0.305	3.093	3.093	1.638
COORD	0.305	3.110	3.110	1.647
COORD	0.305	3.127	3.127	1.656
COORD	0.305	3.144	3.144	1.665
COORD	0.305	3.161	3.161	1.674
COORD	0.305	3.178	3.178	1.683
COORD	0.305	3.195	3.195	1.692
COORD	0.305	3.212	3.212	1.701
COORD	0.305	3.229	3.229	1.710
COORD	0.305	3.246	3.246	1.719
COORD	0.305	3.263	3.263	1.728
COORD	0.305	3.280	3.280	1.737
COORD	0.305	3.297	3.297	1.746
COORD	0.305	3.314	3.314	1.755
COORD	0.305	3.331	3.331	1.764
COORD	0.305	3.348	3.348	1.773
COORD	0.305	3.365	3.365	1.782
COORD	0.305	3.382	3.382	1.791
COORD	0.305	3.399	3.399	1.800
COORD	0.305	3.416	3.416	1.809
COORD	0.305	3.433	3.433	1.818
COORD	0.305	3.450	3.450	1.827
COORD	0.305	3.467	3.467	1.836
COORD	0.305	3.484	3.484	1.845
COORD	0.305	3.501	3.501	1.854
COORD	0.305	3.518	3.518	1.863
COORD	0.305	3.535	3.535	1.872
COORD	0.305	3.552	3.552	1.881
COORD	0.305	3.569	3.569	1.890
COORD	0.305	3.586	3.586	1.899
COORD	0.305	3.603	3.603	1.908
COORD	0.305	3.620	3.620	1.917
COORD	0.305	3.637	3.637	1.926
COORD	0.305	3.654	3.654	1.935
COORD	0.305	3.671	3.671	1.944
COORD	0.305	3.688	3.688	1.953
COORD	0.305	3.705	3.705	1.962
COORD	0.305	3.722	3.722	1.971
COORD	0.305	3.739	3.739	1.980
COORD	0.305	3.756	3.756	1.989
COORD	0.305	3.773	3.773	1.998
COORD	0.305	3.790	3.790	2.007
COORD	0.305	3.807	3.807	2.016
COORD	0.305	3.824	3.824	2.025
COORD	0.305	3.841	3.841	2.034
COORD	0.305	3.858	3.858	2.043
COORD	0.			

COORD [2, 394, 0, 158]	PSI= 0.099
COORD [2, 394, 0, 153]	PSI= 0.113
COORD [2, 394, 0, 168]	PSI= 0.125
COORD [2, 408, 0, 033]	PSI= 0.000
COORD [2, 408, 0, 048]	PSI= 0.016
COORD [2, 408, 0, 062]	PSI= 0.032
COORD [2, 408, 0, 077]	PSI= 0.049
COORD [2, 408, 0, 092]	PSI= 0.065
COORD [2, 408, 0, 106]	PSI= 0.081
COORD [2, 408, 0, 121]	PSI= 0.097
COORD [2, 408, 0, 135]	PSI= 0.112
COORD [2, 408, 0, 150]	PSI= 0.125
COORD [2, 423, 0, 020]	PSI= 0.000
COORD [2, 423, 0, 034]	PSI= 0.015
COORD [2, 423, 0, 047]	PSI= 0.030
COORD [2, 423, 0, 061]	PSI= 0.046
COORD [2, 423, 0, 075]	PSI= 0.062
COORD [2, 423, 0, 089]	PSI= 0.076
COORD [2, 423, 0, 103]	PSI= 0.095
COORD [2, 423, 0, 117]	PSI= 0.111
COORD [2, 423, 0, 131]	PSI= 0.125
COORD [2, 423, 0, 146]	PSI= 0.000
COORD [2, 428, 0, 019]	PSI= 0.017
COORD [2, 428, 0, 032]	PSI= 0.027
COORD [2, 438, 0, 046]	PSI= 0.041
COORD [2, 438, 0, 059]	PSI= 0.057
COORD [2, 438, 0, 072]	PSI= 0.073
COORD [2, 438, 0, 085]	PSI= 0.089
COORD [2, 438, 0, 098]	PSI= 0.107
COORD [2, 438, 0, 112]	PSI= 0.125
COORD [2, 548, 0, 006]	PSI= 0.000
COORD [2, 548, 0, 019]	PSI= 0.018
COORD [2, 548, 0, 033]	PSI= 0.031
COORD [2, 548, 0, 046]	PSI= 0.047
COORD [2, 548, 0, 060]	PSI= 0.063
COORD [2, 548, 0, 073]	PSI= 0.078
COORD [2, 548, 0, 087]	PSI= 0.094
COORD [2, 548, 0, 101]	PSI= 0.109
COORD [2, 548, 0, 114]	PSI= 0.125
COORD [2, 669, 0, 005]	PSI= 0.000
COORD [2, 669, 0, 018]	PSI= 0.016
COORD [2, 669, 0, 032]	PSI= 0.031
COORD [2, 669, 0, 046]	PSI= 0.047
COORD [2, 669, 0, 060]	PSI= 0.063
COORD [2, 669, 0, 073]	PSI= 0.078
COORD [2, 669, 0, 087]	PSI= 0.094
COORD [2, 669, 0, 101]	PSI= 0.109
COORD [2, 669, 0, 114]	PSI= 0.125
COORD [3, 669, 0, 005]	PSI= 0.000
COORD [3, 669, 0, 019]	PSI= 0.016
COORD [3, 669, 0, 032]	PSI= 0.031
COORD [3, 669, 0, 046]	PSI= 0.047
COORD [3, 669, 0, 060]	PSI= 0.063
COORD [3, 669, 0, 074]	PSI= 0.078
COORD [3, 669, 0, 088]	PSI= 0.094
COORD [3, 669, 0, 102]	PSI= 0.109
COORD [3, 669, 0, 115]	PSI= 0.125
COORD [4, 079, 0, 004]	PSI= 0.000
COORD [4, 079, 0, 018]	PSI= 0.016
COORD [4, 079, 0, 032]	PSI= 0.031
COORD [4, 079, 0, 046]	PSI= 0.047
COORD [4, 079, 0, 060]	PSI= 0.063
COORD [4, 079, 0, 074]	PSI= 0.078
COORD [4, 079, 0, 088]	PSI= 0.094
COORD [4, 079, 0, 102]	PSI= 0.110
COORD [4, 079, 0, 115]	PSI= 0.125

COORD	4.489, 0.0943	PSI= 0.000
COORD	4.489, 0.0103	PSI= 0.016
COORD	4.489, 0.0323	PSI= 0.031
COORD	4.489, 0.0463	PSI= 0.047
COORD	4.489, 0.0663	PSI= 0.067
COORD	4.489, 0.0743	PSI= 0.078
COORD	4.489, 0.0883	PSI= 0.094
COORD	4.489, 0.1023	PSI= 0.109
COORD	4.489, 0.1163	PSI= 0.125
COORD	4.489, 0.0043	PSI= 0.000
COORD	4.489, 0.0123	PSI= 0.015
COORD	4.489, 0.0223	PSI= 0.031
COORD	4.489, 0.0463	PSI= 0.047
COORD	4.489, 0.0603	PSI= 0.063
COORD	4.489, 0.0743	PSI= 0.078
COORD	4.489, 0.0883	PSI= 0.094
COORD	4.489, 0.1023	PSI= 0.109
COORD	4.489, 0.1163	PSI= 0.125
COORD	4.509, 0.0003	PSI= 0.000
COORD	4.509, 0.0173	PSI= 0.016
COORD	4.509, 0.0313	PSI= 0.031
COORD	4.509, 0.0453	PSI= 0.047
COORD	4.509, 0.0593	PSI= 0.063
COORD	4.509, 0.0733	PSI= 0.078
COORD	4.509, 0.0873	PSI= 0.094
COORD	4.509, 0.1023	PSI= 0.109
COORD	4.509, 0.1163	PSI= 0.125
COORD	4.519, 0.0033	PSI= 0.000
COORD	4.519, 0.0173	PSI= 0.016
COORD	4.519, 0.0313	PSI= 0.031
COORD	4.519, 0.0453	PSI= 0.047
COORD	4.519, 0.0593	PSI= 0.063
COORD	4.519, 0.0733	PSI= 0.078
COORD	4.519, 0.0873	PSI= 0.094
COORD	4.519, 0.1023	PSI= 0.109
COORD	4.519, 0.1163	PSI= 0.125
COORD	4.519, 0.1293	PSI= 0.139
COORD	4.519, 0.1433	PSI= 0.153
COORD	4.519, 0.1573	PSI= 0.167
COORD	4.519, 0.1713	PSI= 0.181
COORD	4.519, 0.1853	PSI= 0.195
COORD	4.519, 0.1993	PSI= 0.209
COORD	4.519, 0.2133	PSI= 0.223
COORD	4.519, 0.2273	PSI= 0.237
COORD	4.519, 0.2413	PSI= 0.251
COORD	4.519, 0.2553	PSI= 0.265
COORD	4.519, 0.2693	PSI= 0.279
COORD	4.519, 0.2833	PSI= 0.293
COORD	4.519, 0.2973	PSI= 0.307
COORD	4.519, 0.3113	PSI= 0.321
COORD	4.519, 0.3253	PSI= 0.335
COORD	4.519, 0.3393	PSI= 0.349
COORD	4.519, 0.3533	PSI= 0.363
COORD	4.519, 0.3673	PSI= 0.377
COORD	4.519, 0.3813	PSI= 0.391
COORD	4.519, 0.3953	PSI= 0.405
COORD	4.519, 0.4093	PSI= 0.419
COORD	4.519, 0.4233	PSI= 0.433
COORD	4.519, 0.4373	PSI= 0.447
COORD	4.519, 0.4513	PSI= 0.461
COORD	4.519, 0.4653	PSI= 0.475
COORD	4.519, 0.4793	PSI= 0.489
COORD	4.519, 0.4933	PSI= 0.503
COORD	4.519, 0.5073	PSI= 0.517
COORD	4.519, 0.5213	PSI= 0.531
COORD	4.519, 0.5353	PSI= 0.545
COORD	4.519, 0.5493	PSI= 0.559
COORD	4.519, 0.5633	PSI= 0.573
COORD	4.519, 0.5773	PSI= 0.587
COORD	4.519, 0.5913	PSI= 0.601
COORD	4.519, 0.6053	PSI= 0.615
COORD	4.519, 0.6193	PSI= 0.629
COORD	4.519, 0.6333	PSI= 0.643
COORD	4.519, 0.6473	PSI= 0.657
COORD	4.519, 0.6613	PSI= 0.671
COORD	4.519, 0.6753	PSI= 0.685
COORD	4.519, 0.6893	PSI= 0.7
COORD	4.519, 0.7033	PSI= 0.714
COORD	4.519, 0.7173	PSI= 0.728
COORD	4.519, 0.7313	PSI= 0.742
COORD	4.519, 0.7453	PSI= 0.756
COORD	4.519, 0.7593	PSI= 0.77
COORD	4.519, 0.7733	PSI= 0.784
COORD	4.519, 0.7873	PSI= 0.798
COORD	4.519, 0.8013	PSI= 0.812
COORD	4.519, 0.8153	PSI= 0.826
COORD	4.519, 0.8293	PSI= 0.84
COORD	4.519, 0.8433	PSI= 0.854
COORD	4.519, 0.8573	PSI= 0.868
COORD	4.519, 0.8713	PSI= 0.882
COORD	4.519, 0.8853	PSI= 0.896
COORD	4.519, 0.8993	PSI= 0.91
COORD	4.519, 0.9133	PSI= 0.924
COORD	4.519, 0.9273	PSI= 0.938
COORD	4.519, 0.9413	PSI= 0.952
COORD	4.519, 0.9553	PSI= 0.966
COORD	4.519, 0.9693	PSI= 0.98
COORD	4.519, 0.9833	PSI= 0.994
COORD	4.519, 0.9973	PSI= 1.0

COORD	17.789,0.0443	PSI= 0.047
COORD	17.759,0.0581	PSI= 0.063
COORD	17.759,0.0721	PSI= 0.078
COORD	17.759,0.0861	PSI= 0.094
COORD	17.759,0.1001	PSI= 0.119
COORD	17.759,0.1141	PSI= 0.135
COORD	17.759,0.0013	PSI= 0.000
COORD	17.759,0.0151	PSI= 0.014
COORD	17.759,0.0281	PSI= 0.031
COORD	17.759,0.0421	PSI= 0.047
COORD	17.759,0.0561	PSI= 0.061
COORD	17.759,0.0891	PSI= 0.078
COORD	17.759,0.0931	PSI= 0.094
COORD	17.759,0.0961	PSI= 0.109
COORD	17.759,0.1101	PSI= 0.125
COORD	16.179,0.0013	PSI= 0.000
COORD	16.179,0.0143	PSI= 0.016
COORD	16.179,0.0273	PSI= 0.031
COORD	16.179,0.0403	PSI= 0.047
COORD	16.179,0.0533	PSI= 0.063
COORD	16.179,0.0663	PSI= 0.078
COORD	16.179,0.1791	PSI= 0.184
COORD	16.179,0.0041	PSI= 0.009
COORD	16.179,0.1051	PSI= 0.125
COORD	16.590,0.0061	PSI= 0.000
COORD	16.590,0.0131	PSI= 0.016
COORD	16.590,0.0251	PSI= 0.031
COORD	16.590,0.0371	PSI= 0.047
COORD	16.590,0.0491	PSI= 0.061
COORD	16.390,0.0610	PSI= 0.076
COORD	16.590,0.1371	PSI= 0.174
COORD	16.590,0.0861	PSI= 0.101
COORD	16.590,0.1481	PSI= 0.156
COORD	16.900,0.0101	PSI= 0.006
COORD	16.900,0.0111	PSI= 0.016
COORD	16.900,0.0221	PSI= 0.031
COORD	16.900,0.0341	PSI= 0.047
COORD	16.900,0.0461	PSI= 0.062
COORD	16.900,0.0581	PSI= 0.076
COORD	16.900,0.0701	PSI= 0.090
COORD	16.900,0.0891	PSI= 0.125

```

***** INFORMACION GENERAL DE LOS ELEMENTOS *****
***** DATOS EN " METROS Y SEGUNDOS " *****
***** NX( 1) =9 ***** NX( 2) =9 *****
***** NX( 3) =9 ***** NX( 4) =9 *****
***** NX( 5) =9 ***** NX( 6) =9 *****
***** NX( 7) =9 ***** NX( 8) =9 *****
***** NUMERO MAXIMO DE ITERACIONES = 10 *****
***** ELEMENTOS LINEALES *****
***** NUMERO DE VECES QUE SE SUAVIZARA *****
***** LA RES=0 *****
***** TOLERANCIA = 0.000010 *****
***** TIRANTE AGUAS ARRIBA = 0.245 *****
***** TIRANTE AGUAS ABAJO = 0.092 *****
***** GASTO UTILIZADO = 0.035 *****
***** ANCHO DEL CANAL = 0.20 *****
***** NUMERO DE ELEMENTOS = 540 *****
***** NUMERO DE NODOS = 369 *****

```

TABLA 4.6

ITERACION = 9

COORD	PSI
[0.000, 0.153]	0.000
[0.000, 0.164]	0.022
[0.000, 0.176]	0.044
[0.000, 0.187]	0.066
[0.000, 0.199]	0.088
[0.000, 0.210]	0.110
[0.000, 0.222]	0.131
[0.000, 0.233]	0.153
[0.000, 0.245]	0.175
[0.284, 0.148]	0.000
[0.284, 0.160]	0.022
[0.284, 0.171]	0.044
[0.284, 0.183]	0.066
[0.284, 0.194]	0.088
[0.284, 0.206]	0.109
[0.284, 0.217]	0.131
[0.294, 0.229]	0.153
[0.294, 0.240]	0.175
[0.567, 0.143]	0.000
[0.567, 0.155]	0.022
[0.567, 0.166]	0.044
[0.567, 0.178]	0.066
[0.567, 0.189]	0.088
[0.567, 0.201]	0.109
[0.567, 0.212]	0.131
[0.567, 0.224]	0.153
[0.567, 0.235]	0.175
[0.851, 0.159]	0.000
[0.851, 0.160]	0.022
[0.851, 0.182]	0.044
[0.851, 0.193]	0.066
[0.851, 0.196]	0.088
[0.851, 0.208]	0.109
[0.851, 0.219]	0.131
[0.851, 0.231]	0.153
[1.135, 0.134]	0.000
[1.135, 0.145]	0.022
[1.135, 0.157]	0.044
[1.135, 0.168]	0.066
[1.135, 0.180]	0.088
[1.135, 0.191]	0.109
[1.135, 0.203]	0.131
[1.135, 0.214]	0.153
[1.135, 0.226]	0.175
[1.419, 0.119]	0.000
[1.419, 0.140]	0.022
[1.419, 0.152]	0.044
[1.419, 0.163]	0.066
[1.419, 0.175]	0.088
[1.419, 0.186]	0.109
[1.419, 0.198]	0.131
[1.419, 0.209]	0.153
[1.419, 0.221]	0.175
[1.702, 0.124]	0.000
[1.702, 0.136]	0.022
[1.702, 0.147]	0.044
[1.702, 0.159]	0.066
[1.702, 0.170]	0.087
[1.702, 0.181]	0.109
[1.702, 0.193]	0.131
[1.702, 0.204]	0.153
[1.702, 0.216]	0.175

COORD [1.986,0.119]	PSI= 0.000
COORD [1.986,0.131]	PSI= 0.022
COORD [1.986,0.142]	PSI= 0.044
COORD [1.986,0.154]	PSI= 0.066
COORD [1.986,0.165]	PSI= 0.087
COORD [1.986,0.177]	PSI= 0.109
COORD [1.986,0.188]	PSI= 0.131
COORD [1.986,0.199]	PSI= 0.153
COORD [1.986,0.211]	PSI= 0.175
COORD [2.270,0.114]	PSI= 0.000
COORD [2.270,0.126]	PSI= 0.017
COORD [2.270,0.137]	PSI= 0.036
COORD [2.270,0.149]	PSI= 0.056
COORD [2.270,0.160]	PSI= 0.077
COORD [2.270,0.172]	PSI= 0.100
COORD [2.270,0.183]	PSI= 0.124
COORD [2.270,0.194]	PSI= 0.149
COORD [2.270,0.206]	PSI= 0.175
COORD [2.277,0.122]	PSI= 0.000
COORD [2.277,0.133]	PSI= 0.018
COORD [2.277,0.144]	PSI= 0.037
COORD [2.277,0.155]	PSI= 0.058
COORD [2.277,0.167]	PSI= 0.080
COORD [2.277,0.178]	PSI= 0.103
COORD [2.277,0.189]	PSI= 0.127
COORD [2.277,0.201]	PSI= 0.152
COORD [2.277,0.212]	PSI= 0.175
COORD [2.284,0.129]	PSI= 0.000
COORD [2.284,0.140]	PSI= 0.019
COORD [2.284,0.151]	PSI= 0.039
COORD [2.284,0.162]	PSI= 0.061
COORD [2.284,0.174]	PSI= 0.084
COORD [2.284,0.185]	PSI= 0.108
COORD [2.284,0.196]	PSI= 0.132
COORD [2.284,0.207]	PSI= 0.155
COORD [2.284,0.218]	PSI= 0.175
COORD [2.292,0.136]	PSI= 0.000
COORD [2.292,0.147]	PSI= 0.020
COORD [2.292,0.158]	PSI= 0.042
COORD [2.292,0.170]	PSI= 0.065
COORD [2.292,0.181]	PSI= 0.089
COORD [2.292,0.192]	PSI= 0.114
COORD [2.292,0.203]	PSI= 0.137
COORD [2.292,0.215]	PSI= 0.158
COORD [2.292,0.226]	PSI= 0.175
COORD [2.299,0.143]	PSI= 0.000
COORD [2.299,0.154]	PSI= 0.021
COORD [2.299,0.166]	PSI= 0.045
COORD [2.299,0.177]	PSI= 0.070
COORD [2.299,0.188]	PSI= 0.096
COORD [2.299,0.200]	PSI= 0.121
COORD [2.299,0.211]	PSI= 0.143
COORD [2.299,0.222]	PSI= 0.161
COORD [2.299,0.234]	PSI= 0.175
COORD [2.306,0.150]	PSI= 0.000
COORD [2.306,0.162]	PSI= 0.024
COORD [2.306,0.173]	PSI= 0.050
COORD [2.306,0.185]	PSI= 0.079
COORD [2.306,0.196]	PSI= 0.106
COORD [2.306,0.208]	PSI= 0.130
COORD [2.306,0.219]	PSI= 0.150
COORD [2.306,0.231]	PSI= 0.165
COORD [2.306,0.242]	PSI= 0.175
COORD [2.313,0.157]	PSI= 0.000
COORD [2.313,0.169]	PSI= 0.027
COORD [2.313,0.181]	PSI= 0.059

COORD [2.313,0.193] PSI= 0.090
COORD [2.313,0.205] PSI= 0.117
COORD [2.313,0.215] PSI= 0.139
COORD [2.313,0.228] PSI= 0.156
COORD [2.313,0.240] PSI= 0.168
COORD [2.313,0.252] PSI= 0.175
COORD [2.321,0.165] PSI= 0.000
COORD [2.321,0.177] PSI= 0.035
COORD [2.321,0.189] PSI= 0.074
COORD [2.321,0.201] PSI= 0.105
COORD [2.321,0.213] PSI= 0.130
COORD [2.321,0.225] PSI= 0.149
COORD [2.321,0.237] PSI= 0.163
COORD [2.321,0.250] PSI= 0.171
COORD [2.321,0.262] PSI= 0.175
COORD [2.328,0.172] PSI= 0.000
COORD [2.328,0.184] PSI= 0.055
COORD [2.328,0.197] PSI= 0.093
COORD [2.328,0.209] PSI= 0.122
COORD [2.328,0.222] PSI= 0.143
COORD [2.328,0.235] PSI= 0.159
COORD [2.328,0.247] PSI= 0.159
COORD [2.328,0.260] PSI= 0.174
COORD [2.328,0.272] PSI= 0.175
COORD [2.335,0.164] PSI= 0.000
COORD [2.335,0.177] PSI= 0.040
COORD [2.335,0.199] PSI= 0.076
COORD [2.335,0.202] PSI= 0.107
COORD [2.335,0.214] PSI= 0.131
COORD [2.335,0.227] PSI= 0.150
COORD [2.335,0.239] PSI= 0.183
COORD [2.335,0.251] PSI= 0.171
COORD [2.335,0.264] PSI= 0.175
COORD [2.343,0.157] PSI= 0.000
COORD [2.343,0.169] PSI= 0.031
COORD [2.343,0.182] PSI= 0.064
COORD [2.343,0.194] PSI= 0.094
COORD [2.343,0.206] PSI= 0.120
COORD [2.343,0.219] PSI= 0.142
COORD [2.343,0.231] PSI= 0.158
COORD [2.343,0.244] PSI= 0.169
COORD [2.343,0.256] PSI= 0.175
COORD [2.350,0.150] PSI= 0.000
COORD [2.350,0.162] PSI= 0.027
COORD [2.350,0.174] PSI= 0.056
COORD [2.350,0.186] PSI= 0.085
COORD [2.350,0.199] PSI= 0.111
COORD [2.350,0.211] PSI= 0.134
COORD [2.350,0.223] PSI= 0.152
COORD [2.350,0.235] PSI= 0.166
COORD [2.350,0.248] PSI= 0.175
COORD [2.357,0.142] PSI= 0.000
COORD [2.357,0.154] PSI= 0.024
COORD [2.357,0.166] PSI= 0.050
COORD [2.357,0.178] PSI= 0.077
COORD [2.357,0.191] PSI= 0.103
COORD [2.357,0.203] PSI= 0.127
COORD [2.357,0.215] PSI= 0.147
COORD [2.357,0.227] PSI= 0.163
COORD [2.357,0.239] PSI= 0.175
COORD [2.364,0.155] PSI= 0.000
COORD [2.364,0.147] PSI= 0.022
COORD [2.364,0.189] PSI= 0.046
COORD [2.364,0.171] PSI= 0.071
COORD [2.364,0.183] PSI= 0.097
COORD [2.364,0.195] PSI= 0.121

COORD [2.364,0.207]	PSI= 0.142
COORD [2.364,0.218]	PSI= 0.161
COORD [2.364,0.230]	PSI= 0.175
COORD [2.372,0.127]	PSI= 0.000
COORD [2.372,0.139]	PSI= 0.021
COORD [2.372,0.151]	PSI= 0.045
COORD [2.372,0.163]	PSI= 0.067
COORD [2.372,0.175]	PSI= 0.091
COORD [2.372,0.186]	PSI= 0.115
COORD [2.372,0.198]	PSI= 0.138
COORD [2.372,0.210]	PSI= 0.158
COORD [2.372,0.222]	PSI= 0.175
COORD [2.379,0.120]	PSI= 0.000
COORD [2.379,0.131]	PSI= 0.020
COORD [2.379,0.143]	PSI= 0.040
COORD [2.379,0.155]	PSI= 0.062
COORD [2.379,0.166]	PSI= 0.085
COORD [2.379,0.178]	PSI= 0.109
COORD [2.379,0.190]	PSI= 0.132
COORD [2.379,0.201]	PSI= 0.155
COORD [2.379,0.213]	PSI= 0.175
COORD [2.386,0.112]	PSI= 0.000
COORD [2.386,0.124]	PSI= 0.019
COORD [2.386,0.135]	PSI= 0.038
COORD [2.386,0.147]	PSI= 0.059
COORD [2.386,0.158]	PSI= 0.080
COORD [2.386,0.170]	PSI= 0.103
COORD [2.386,0.181]	PSI= 0.126
COORD [2.386,0.193]	PSI= 0.150
COORD [2.386,0.204]	PSI= 0.175
COORD [2.800,0.105]	PSI= 0.000
COORD [2.800,0.117]	PSI= 0.022
COORD [2.800,0.129]	PSI= 0.044
COORD [2.800,0.140]	PSI= 0.066
COORD [2.800,0.151]	PSI= 0.087
COORD [2.800,0.163]	PSI= 0.109
COORD [2.800,0.174]	PSI= 0.131
COORD [2.800,0.186]	PSI= 0.153
COORD [2.800,0.197]	PSI= 0.175
COORD [3.213,0.098]	PSI= 0.000
COORD [3.213,0.110]	PSI= 0.022
COORD [3.213,0.121]	PSI= 0.044
COORD [3.213,0.133]	PSI= 0.066
COORD [3.213,0.144]	PSI= 0.087
COORD [3.213,0.156]	PSI= 0.109
COORD [3.213,0.168]	PSI= 0.131
COORD [3.213,0.179]	PSI= 0.153
COORD [3.213,0.191]	PSI= 0.175
COORD [3.626,0.071]	PSI= 0.000
COORD [3.626,0.103]	PSI= 0.022
COORD [3.626,0.114]	PSI= 0.044
COORD [3.626,0.126]	PSI= 0.066
COORD [3.626,0.138]	PSI= 0.087
COORD [3.626,0.149]	PSI= 0.109
COORD [3.626,0.161]	PSI= 0.131
COORD [3.626,0.172]	PSI= 0.153
COORD [3.626,0.184]	PSI= 0.175
COORD [4.040,0.084]	PSI= 0.000
COORD [4.040,0.096]	PSI= 0.022
COORD [4.040,0.107]	PSI= 0.044
COORD [4.040,0.119]	PSI= 0.066
COORD [4.040,0.131]	PSI= 0.087
COORD [4.040,0.142]	PSI= 0.109
COORD [4.040,0.154]	PSI= 0.131
COORD [4.040,0.165]	PSI= 0.153
COORD [4.040,0.177]	PSI= 0.175

COORD [4.453, 0.077] PSI= 0.000
COORD [4.453, 0.089] PSI= 0.022
COORD [4.453, 0.100] PSI= 0.044
COORD [4.453, 0.112] PSI= 0.066
COORD [4.453, 0.124] PSI= 0.088
COORD [4.453, 0.135] PSI= 0.109
COORD [4.453, 0.147] PSI= 0.131
COORD [4.453, 0.158] PSI= 0.153
COORD [4.453, 0.170] PSI= 0.175
COORD [4.866, 0.070] PSI= 0.000
COORD [4.866, 0.082] PSI= 0.022
COORD [4.866, 0.093] PSI= 0.044
COORD [4.866, 0.105] PSI= 0.066
COORD [4.866, 0.117] PSI= 0.088
COORD [4.866, 0.128] PSI= 0.109
COORD [4.866, 0.140] PSI= 0.131
COORD [4.866, 0.152] PSI= 0.153
COORD [4.866, 0.163] PSI= 0.175
COORD [5.280, 0.063] PSI= 0.000
COORD [5.280, 0.075] PSI= 0.022
COORD [5.280, 0.086] PSI= 0.044
COORD [5.280, 0.098] PSI= 0.066
COORD [5.280, 0.110] PSI= 0.088
COORD [5.280, 0.121] PSI= 0.109
COORD [5.280, 0.133] PSI= 0.131
COORD [5.280, 0.145] PSI= 0.153
COORD [5.280, 0.156] PSI= 0.175
COORD [5.693, 0.056] PSI= 0.000
COORD [5.693, 0.068] PSI= 0.022
COORD [5.693, 0.079] PSI= 0.044
COORD [5.693, 0.091] PSI= 0.066
COORD [5.693, 0.103] PSI= 0.087
COORD [5.693, 0.114] PSI= 0.109
COORD [5.693, 0.126] PSI= 0.131
COORD [5.693, 0.138] PSI= 0.153
COORD [5.693, 0.149] PSI= 0.175
COORD [6.106, 0.049] PSI= 0.000
COORD [6.106, 0.061] PSI= 0.022
COORD [6.106, 0.073] PSI= 0.044
COORD [6.106, 0.084] PSI= 0.066
COORD [6.106, 0.096] PSI= 0.088
COORD [6.106, 0.107] PSI= 0.109
COORD [6.106, 0.119] PSI= 0.131
COORD [6.106, 0.131] PSI= 0.153
COORD [6.106, 0.142] PSI= 0.175
COORD [6.520, 0.042] PSI= 0.000
COORD [6.520, 0.054] PSI= 0.022
COORD [6.520, 0.066] PSI= 0.044
COORD [6.520, 0.077] PSI= 0.066
COORD [6.520, 0.089] PSI= 0.088
COORD [6.520, 0.101] PSI= 0.109
COORD [6.520, 0.112] PSI= 0.131
COORD [6.520, 0.124] PSI= 0.153
COORD [6.520, 0.136] PSI= 0.175
COORD [6.933, 0.035] PSI= 0.000
COORD [6.933, 0.047] PSI= 0.022
COORD [6.933, 0.058] PSI= 0.044
COORD [6.933, 0.070] PSI= 0.066
COORD [6.933, 0.082] PSI= 0.088
COORD [6.933, 0.094] PSI= 0.109
COORD [6.933, 0.105] PSI= 0.131
COORD [6.933, 0.117] PSI= 0.153
COORD [6.933, 0.129] PSI= 0.175
COORD [7.347, 0.028] PSI= 0.000
COORD [7.347, 0.040] PSI= 0.022
COORD [7.347, 0.051] PSI= 0.044

COORD [7.347,0.063]	PSI= 0.066
COORD [7.347,0.075]	PSI= 0.088
COORD [7.347,0.086]	PSI= 0.109
COORD [7.347,0.098]	PSI= 0.131
COORD [7.347,0.110]	PSI= 0.153
COORD [7.347,0.121]	PSI= 0.175
COORD [7.760,0.021]	PSI= 0.000
COORD [7.760,0.033]	PSI= 0.022
COORD [7.760,0.044]	PSI= 0.044
COORD [7.760,0.056]	PSI= 0.066
COORD [7.760,0.068]	PSI= 0.088
COORD [7.760,0.079]	PSI= 0.109
COORD [7.760,0.091]	PSI= 0.131
COORD [7.760,0.103]	PSI= 0.153
COORD [7.760,0.114]	PSI= 0.175
COORD [8.173,0.014]	PSI= 0.000
COORD [8.173,0.026]	PSI= 0.022
COORD [8.173,0.037]	PSI= 0.044
COORD [8.173,0.049]	PSI= 0.066
COORD [8.173,0.060]	PSI= 0.088
COORD [8.173,0.072]	PSI= 0.109
COORD [8.173,0.084]	PSI= 0.131
COORD [8.173,0.095]	PSI= 0.153
COORD [8.173,0.107]	PSI= 0.175
COORD [8.587,0.007]	PSI= 0.000
COORD [8.587,0.019]	PSI= 0.022
COORD [8.587,0.030]	PSI= 0.044
COORD [8.587,0.042]	PSI= 0.066
COORD [8.587,0.053]	PSI= 0.088
COORD [8.587,0.065]	PSI= 0.109
COORD [8.587,0.076]	PSI= 0.131
COORD [8.587,0.088]	PSI= 0.153
COORD [8.587,0.099]	PSI= 0.175
COORD [9.000,0.000]	PSI= 0.000
COORD [9.000,0.011]	PSI= 0.022
COORD [9.000,0.023]	PSI= 0.044
COORD [9.000,0.034]	PSI= 0.065
COORD [9.000,0.046]	PSI= 0.087
COORD [9.000,0.057]	PSI= 0.109
COORD [9.000,0.069]	PSI= 0.131
COORD [9.000,0.080]	PSI= 0.153
COORD [9.000,0.092]	PSI= 0.175

ESTA TESIS NO DEBE
SALIR DE LA BIBLIOTECA

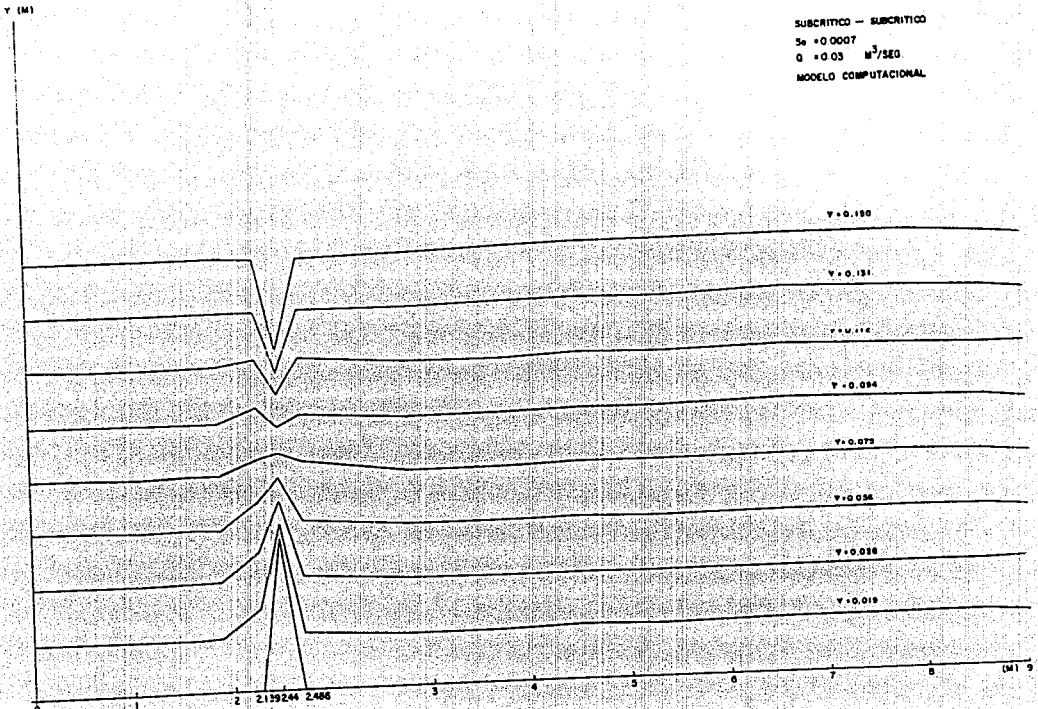


FIG. 4.1

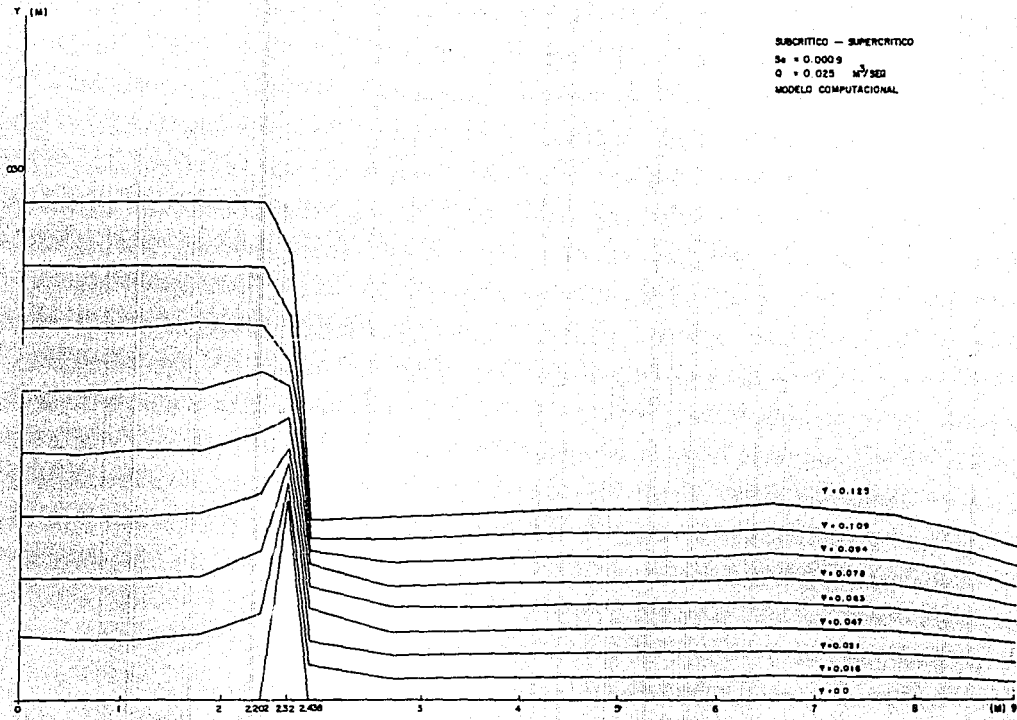


FIG. 4.2

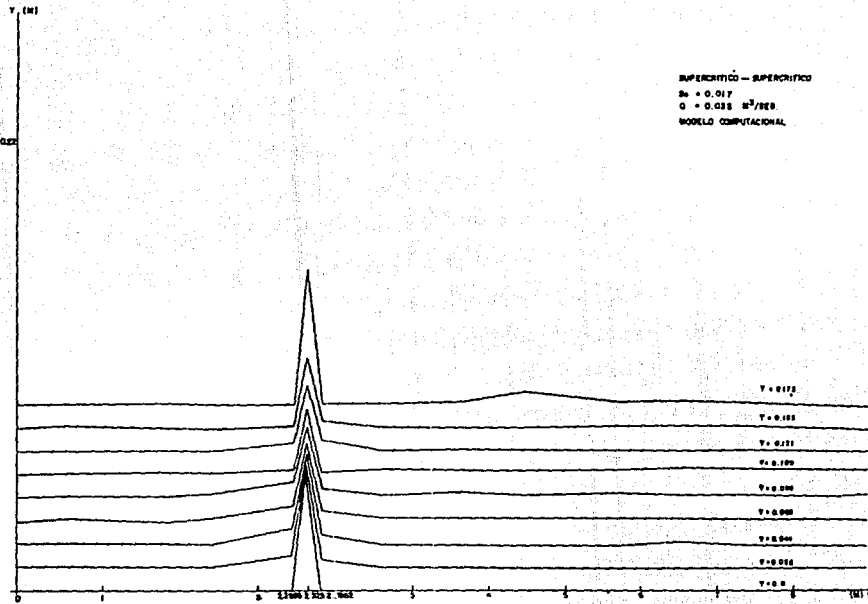
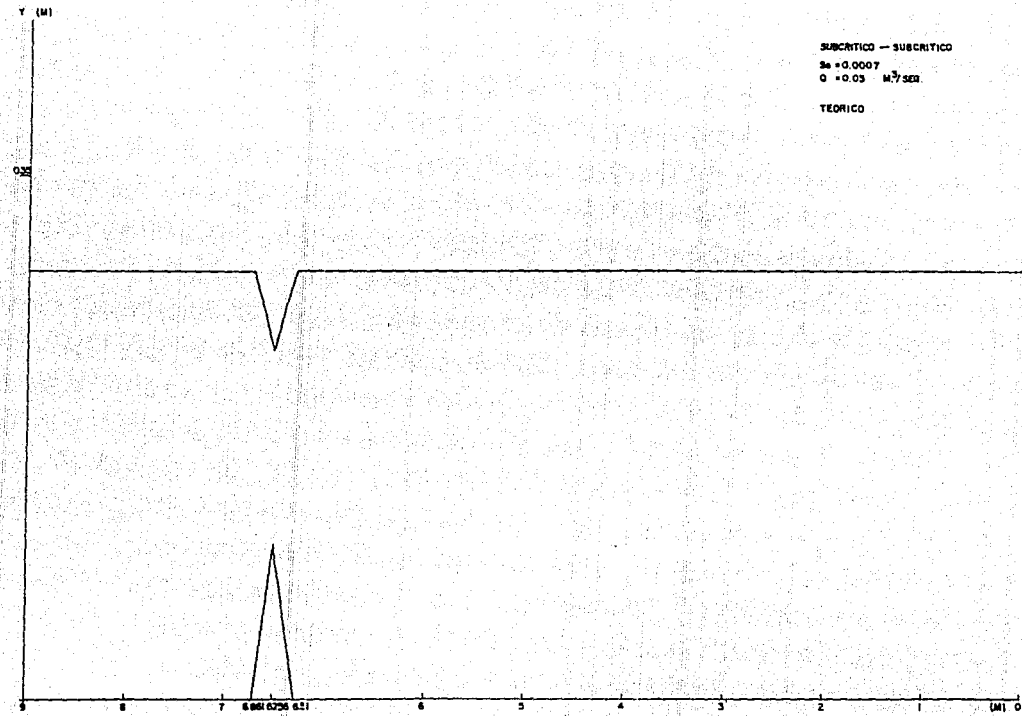


FIG. 4.3



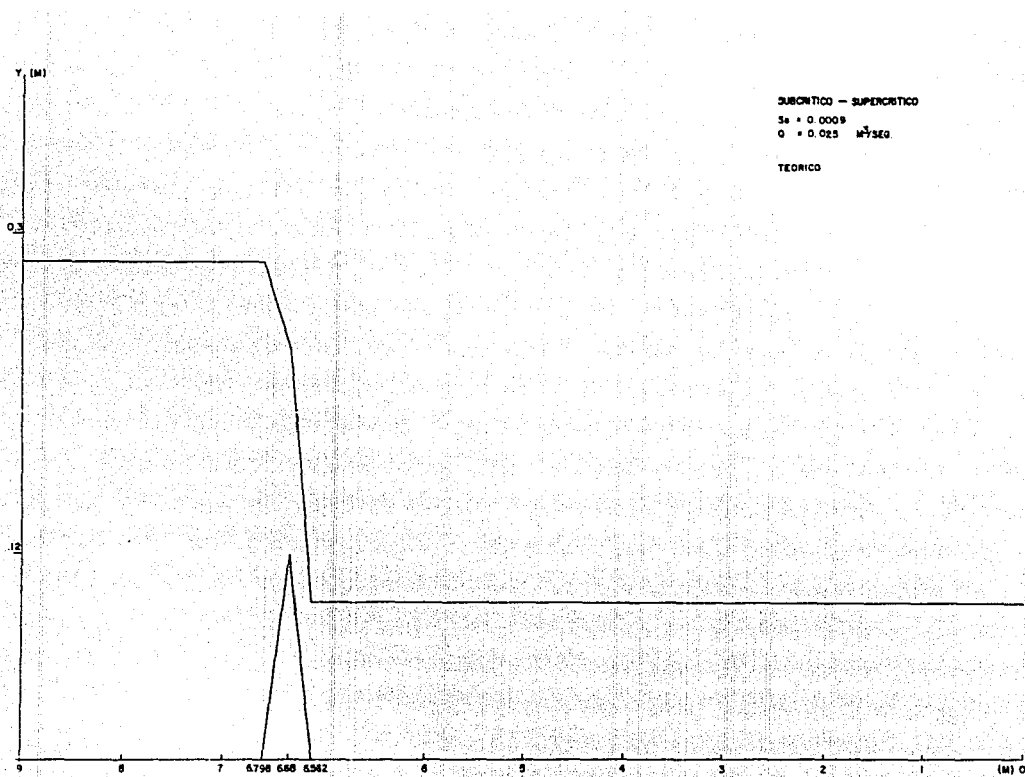


FIG. 4.5

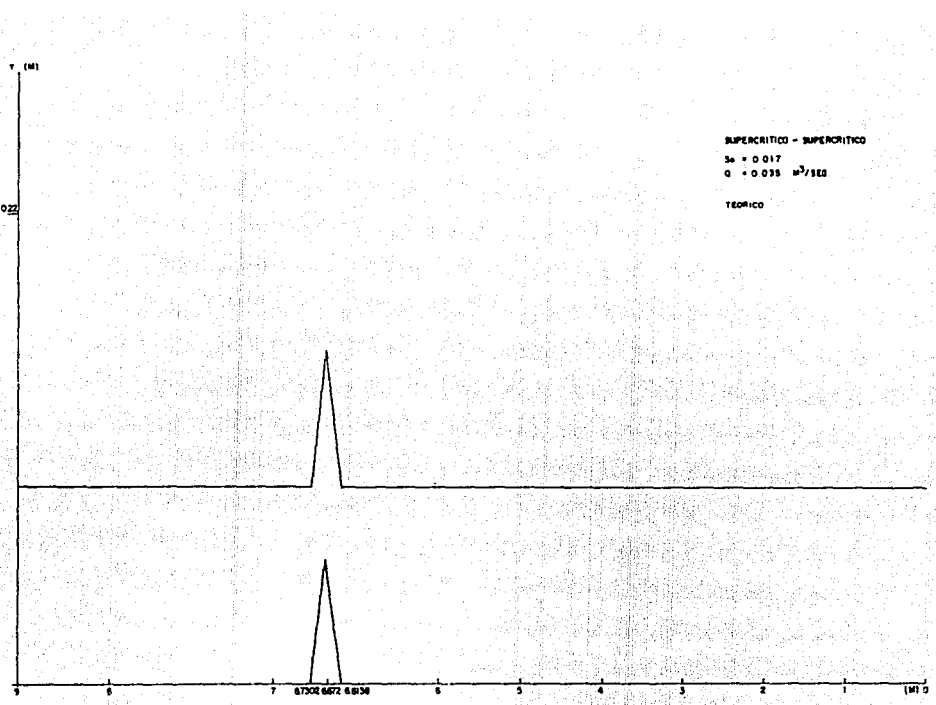


FIG. 4.6

TABLA 4.7

REGIMEN SUBCRITICO-SUBCRITICO

$$S_0 = 0.0007$$

DATOS

COORDENADAS	
X	Y
0.000	0.295
1.070	0.294
2.139	0.294
2.191	0.267
2.244	0.239
2.367	0.266
2.490	0.293
4.118	0.292
5.745	0.291
7.373	0.290
9.000	0.289

RESULTADOS

COORDENADAS	
X	Y
0.000	0.295
1.070	0.295
2.139	0.293
2.191	0.305
2.244	0.231
2.367	0.296
2.490	0.293
4.118	0.295
5.745	0.295
7.373	0.296
9.000	0.289

TABLA 4.8

REGIMEN SUBCRITICO-SUPERCRITICO

 $S_0 = 0.0009$

DATOS

RESULTADOS

COORDENADAS	
X	Y
0.000	0.293
1.101	0.292
2.202	0.281
2.261	0.269
2.320	0.242
2.379	0.169
2.438	0.096
4.079	0.094
5.719	0.093
7.359	0.092
9.000	0.090

COORDENADAS	
X	Y
0.000	0.293
1.101	0.293
2.202	0.292
2.261	0.273
2.320	0.251
2.379	0.119
2.438	0.112
4.079	0.116
5.719	0.115
7.359	0.114
9.000	0.090

TABLA 4.9

REGIMEN SUPERCRITICO-SUPERCRITICO

$$S_0 = 0.017$$

DATOS

COORDENADAS	
X	Y
0.000	0.245
1.135	0.226
2.270	0.206
2.299	0.239
2.328	0.271
2.357	0.238
2.386	0.204
4.040	0.176
5.693	0.148
7.347	0.120
9.000	0.092

RESULTADOS

COORDENADAS	
X	Y
0.000	0.245
1.135	0.226
2.270	0.206
2.299	0.234
2.328	0.272
2.357	0.239
2.386	0.204
4.040	0.177
5.693	0.149
7.347	0.121
9.000	0.092

C A P I T U L O V

RESULTADOS EXPERIMENTALES.

5.1 CARACTERISTICAS DE LAS PRUEBAS

Las pruebas experimentales se realizaron en el laboratorio de hidráulica de la Facultad de Ingeniería, utilizando el canal "Plint" que se tiene ahí instalado.

Para la obtención de las características de los obstáculos que se usaron en las pruebas del laboratorio, se usó como base la teoría según Dias Frédéric (1989) y Sotelo Avila (1986), con lo que se calcularon las dimensiones de diferentes obstáculos, variando el gasto y la pendiente en el canal.

Según la teoría, la altura máxima posible en el obstáculo que evita modificaciones del flujo hacia aguas arriba, es igual a la diferencia entre la energía específica aguas arriba y la mínima posible (correspondiente al estado crítico). Es importante notar que cuando la altura del escalón corresponde a la que obliga que se presente el tirante crítico y es de corta longitud como en la figura 5.2, el régimen aguas abajo puede ser supercrítico o subcrítico, dependiendo de las condiciones ahí impuestas. De la figura 5.1 se observa que si el punto que representa al flujo se mueve de A a C, después queda libre de volver a la rama de régimen

subcritico de la curva o de continuar a la de supercritico. segun
sean las condiciones de aguas abajo.

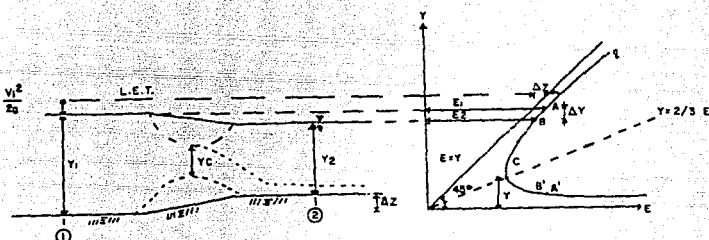


FIGURA 5.1. USO DE LA CURVA DE ENERGIA ESPECIFICA EN LA TRANSICION

Si hay algun control del lado de aguas abajo, la tendencia sera hacia el regimen subcritico de lo contrario, hacia supercritico. La convergencia del flujo hacia el escalon produce un efecto similar despues del mismo, tal como se observa en la figura 5.2. Al observar que el mismo principio opera cuando el regimen de aguas arriba es supercritico, se concluye que cualquiera de los dos regimenes de flujo de lado aguas arriba puede pasar a cualquiera de los de lado aguas abajo del obstaculo.

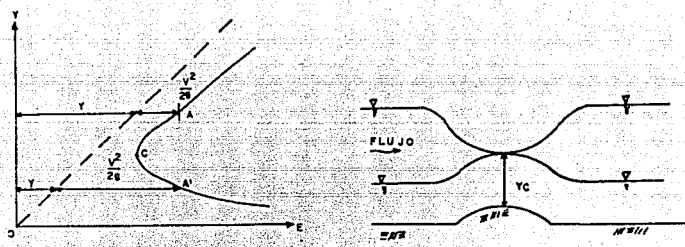


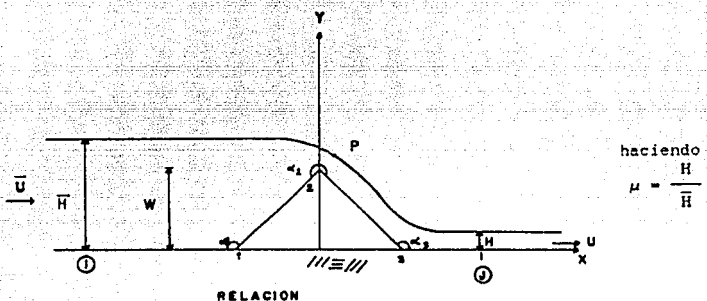
FIGURA 9.7 Efecto de un escalón corto ascendente y de altura.

CRÍTICA.

— OBTENCIÓN DE LOS OBSTÁCULOS.

Los cálculos se restringieron para triángulos isósceles, con los siguientes ángulos: $\alpha_1 = 3/4 \pi$, $\alpha_2 = 3/2 \pi$, $\alpha_3 = 3/4 \pi$.
Es decir que la geometría del triángulo queda limitada a la mitad de la altura.

Trabajando con la relación



$$\text{haciendo } \frac{H}{H} = \frac{H}{H}$$

para flujo subcrítico aguas arriba y supercrítico aguas abajo
tenemos que " $\mu \leq 1$ "

$$F^2 = 2/(\mu^2 + \mu)$$

Para la obtención de las curvas "E-Y" para diferentes gastos se considera lo siguiente:

Las paredes del canal en el que se realizan las pruebas de laboratorio son de vidrio pulido por lo que el valor de "n" será de 0.009, así mismo como el canal tiene un ancho de plantilla igual a 0.2 m queda lo siguiente.

$$\left. \begin{array}{l} n = 0.009 \\ b = 0.2 \text{ m} \end{array} \right\} \text{CTES.}$$

$Q \rightarrow$ Variable

Tomando la ecuación de la energía específica

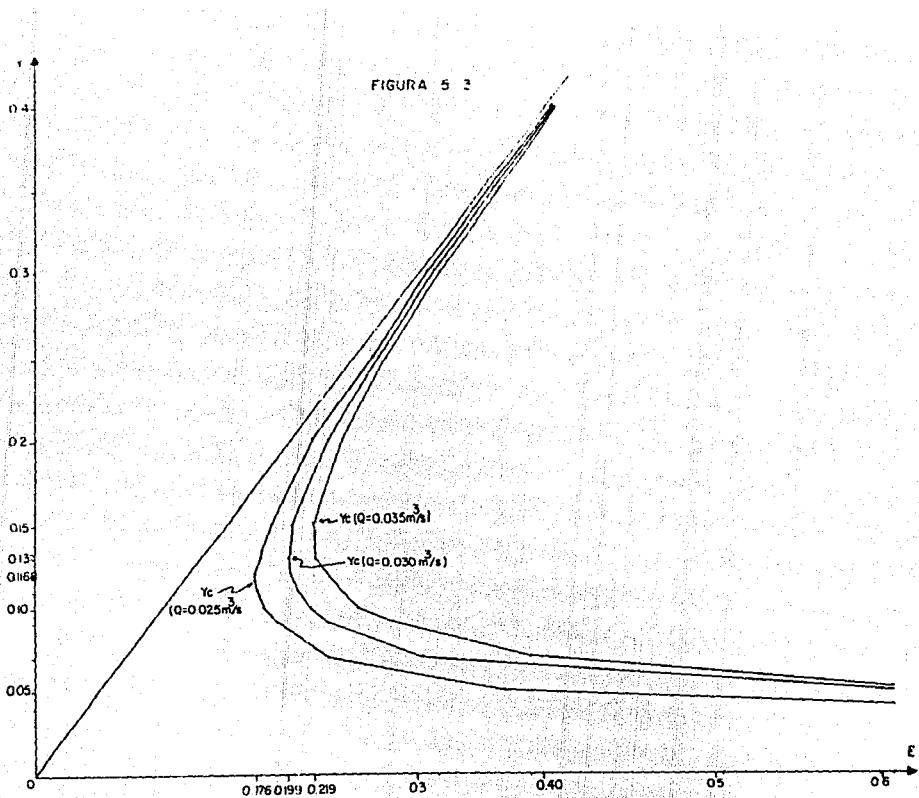
$$E = Y + \left[\frac{q^2}{(2gy^2)} \right]$$

el cálculo de las curvas E-Y se hizo para gastos iguales a
0.025 m^3/seg , 0.030 m^3/seg y 0.035 m^3/seg .

A continuación se muestran las tablas 5.1, 5.2 y 5.3 que contienen los valores con los que se construyeron las curvas "E-Y", para los diferentes gastos, ademas de mostrarnos cuáles son los valores críticos para cada gasto usado.

En la figura 5.3 podemos observar las curvas obtenidas para los gastos ya mencionados usando los valores de las tablas 5.1, 5.2 y 5.3, en esta figura podemos obtener los datos necesarios para la construcción de los obstáculos que se usaron en las pruebas de laboratorio.

FIGURA 5.3



$$Q = 0.025 \text{ m}^3/\text{s}$$

$$Y_c = 0.1167 \text{ m}$$

$$E_c = 0.1752 \text{ m}$$

$$S_c = 0.0031$$

$$q = 0.125 \text{ m}^2/\text{s/m}$$

$$E = y + (0.0225/19.62y^2)$$

$$Fr = 0.0479/y^{3/2}$$

$Y(\text{m})$	$E(\text{m})$	Fr	$V=q/y$
0.0500	0.368	3.5696	2.5000
0.0700	0.233	2.1549	1.7857
0.0900	0.188	1.4781	1.3888
0.1000	0.179	1.2620	1.2500
0.1100	0.176	1.0939	1.1364
0.1168	0.175	0.9998	1.0702
0.1200	0.176	0.9601	1.0417
0.1300	0.177	0.8515	0.9615
0.1500	0.185	0.6870	0.8333
0.2000	0.219	0.4462	0.6250
0.2500	0.263	0.3193	0.5000
0.3000	0.309	0.2429	0.4167
0.3500	0.357	0.1927	0.3571
0.4000	0.405	0.1578	0.3125

Tabla 5.1

$$Q = 0.030 \text{ m}^3/\text{s}$$

$$Y_c = 0.1319 \text{ m}$$

$$E_c = 0.1978 \text{ m}$$

$$S_c = 0.0048$$

$$q = 0.15 \text{ m}^2/\text{s/m}$$

$$E = y + (0.015625/19.62y^2)$$

$$Fr = 0.0399/y^{(3/2)}$$

	Y(m)	E(m)	Fr	V=q/y
	0.0500	0.509	4.2835	3.0000
	0.0700	0.304	2.5859	2.1428
	0.0900	0.232	1.7738	1.6670
	0.1000	0.215	1.5145	1.5000
	0.1100	0.205	1.3127	1.3636
	0.1200	0.199	1.1521	1.2500
	0.1300	0.1979	1.0217	1.1538
	0.1318	0.1978	1.0009	1.1381
	0.1500	0.201	0.8244	1.0000
	0.2000	0.229	0.5354	0.7500
	0.2500	0.268	0.3831	0.6000
	0.3000	0.313	0.2915	0.5000
	0.3500	0.359	0.2313	0.4286
	0.4000	0.407	0.1893	0.3750

Tabla 5.2

$$\begin{aligned}
 Q &= 0.035 \text{ m}^3/\text{s} \\
 Y_c &= 0.1462 \text{ m} \\
 E_c &= 0.2192 \text{ m} \\
 S_c &= 0.0050 \\
 q &= 0.175 \text{ m}^3/\text{s/m} \\
 E &= y + (0.030625/19.62y)^{2/3} \\
 F_r &= 0.0559/y^{2/3}
 \end{aligned}$$

$Y(\text{m})$	$E(\text{m})$	F_r	$V=q/y$
0.0500	0.674	4.9975	3.5000
0.0700	0.389	3.0169	2.5000
0.0900	0.283	2.0694	1.9440
0.1000	0.256	1.7669	1.7500
0.1100	0.239	1.5315	1.5909
0.1200	0.228	1.3441	1.4583
0.1300	0.222	1.1920	1.3462
0.1462	0.2192	0.9995	1.1969
0.1500	0.2193	0.9618	1.1667
0.2000	0.239	0.6247	0.8750
0.2500	0.275	0.4470	0.7000
0.3000	0.317	0.3400	0.5833
0.3500	0.363	0.2698	0.5000
0.4000	0.409	0.2209	0.4375

Tabla 5.3

Para el cálculo del tirante normal se usó la fórmula iterativa siguiente

$$Y_0 = \left[\frac{Qn}{S^{2/3}} \left[2 Y_0 + b \right]^{2/3} \right]$$

que se obtiene a partir de la fórmula de Manning.

$$Q = \frac{1}{n} A R_h^{2/3} S^{1/2}$$

Una vez obtenido el valor del tirante normal para cada una de las pendientes con un gasto constante, se obtienen las características hidráulicas para cada caso, estas características se muestran en las tablas 5.4, 5.5 y 5.6 cada una con un gasto diferente.

Los resultados de las pruebas de laboratorio se muestran en las tablas 5.7 a 5.10, con los que podemos obtener los perfiles mostrados en las figuras 5.4 a 5.7, en las que se observa si el flujo va de régimen subcrítico a subcrítico, de subcrítico a supercrítico o de supercrítico a supercrítico, lo obtenido en estas pruebas se comparará con los resultados obtenidos con el modelo numérico.

Los datos que podemos observar en estas tablas 5.4 a 5.6 son:

Q' .- Gasto en $m^3/\text{seg.}$

S_o .- Pendiente en milesimas

Y_o .- Tirante normal en cada iteración en m

Y_o' .- Tirante normal final en m

A .- Área en m^2

P .- Perímetro mojado en metros

R .- Radio hidráulico en m

V .- Velocidad en m/s

$V^2/2g$.- Carga de velocidad en m

E .- Energía específica en m

Fr.- Número de Froude

Az.- Altura del escalón en m

q cm^3/m^2	B_1	T_1	\bar{T}_1 cm^2	A cm^2	F cm^2	R cm^2	$R^{1/3}$	$AR^{2/3}$	U cm^2/m^2	q	U^2/g	E	F_1	δ_2 cm^2
0.001	0.0001		0.000125	0.000125	0.000125	0.000125	0.000125	0.000125	0.000125	0.000125	0.000125	0.000125	SUPERCRITICO	0.000125
0.002	0.0002		0.000256	0.000256	0.000256	0.000256	0.000256	0.000256	0.000256	0.000256	0.000256	0.000256	SUPERCRITICO	0.000256
0.003	0.0003		0.000393	0.000393	0.000393	0.000393	0.000393	0.000393	0.000393	0.000393	0.000393	0.000393	SUPERCRITICO	0.000393
0.005	0.0005		0.000625	0.000625	0.000625	0.000625	0.000625	0.000625	0.000625	0.000625	0.000625	0.000625	SUPERCRITICO	0.000625

TABLA 5.4

Q cm^2/m^2	C_1 cm^3	V_1 cm^3	A cm^2	R cm^3	$R^{1/3}$ $\text{cm}^{1/3}$	$R^{2/3}$ $\text{cm}^{2/3}$	U cm^2/m^2	Q cm^2/s^2	U^2/R	E	F_1	A_2 cm^2
4.459	0.00099	0.0000007	0.0000001	0.0000000	0.0000000	0.0000000	0.0000000	0.0000000	0.0000000	0.0000000	0.0000000	0.0000000
8.918	0.00057	0.0000003	0.0000001	0.0000000	0.0000000	0.0000000	0.0000000	0.0000000	0.0000000	0.0000000	0.0000000	0.0000000
9.020	0.00070	0.0000002	0.0000000	0.0000000	0.0000000	0.0000000	0.0000000	0.0000000	0.0000000	0.0000000	0.0000000	0.0000000
9.026	0.00059	0.0000007	0.0000000	0.0000000	0.0000000	0.0000000	0.0000000	0.0000000	0.0000000	0.0000000	0.0000000	0.0000000
9.030	0.00064	0.0000000	0.0000000	0.0000000	0.0000000	0.0000000	0.0000000	0.0000000	0.0000000	0.0000000	0.0000000	0.0000000

TABLA 5.5

q cm^3/min	S cm^2	V_0 cm^3	A cm^2	P cm^2	R cm^2	$R^{1/2}$ cm	$AR^{1/2}$	U cm^3/min	Q cm^3/min	U^2/g	Z	F	ΔZ cm^2
0.016	0.0000	0.25000	0.000000	0.100000	0.071000	0.273200	0.000000	0.257700	0.000000	0.010000	0.000000	0.000000	0.000000
0.020	0.0007	0.25000	0.000000	0.100000	0.076700	0.298900	0.000000	0.262400	0.000000	0.014000	0.000000	0.000000	0.000000
0.025	0.0009	0.25000	0.000000	0.100000	0.082600	0.324600	0.000000	0.267400	0.000000	0.018000	0.000000	0.000000	0.000000
0.030	0.0010	0.25000	0.000000	0.100000	0.088600	0.351400	0.000000	0.272600	0.000000	0.022000	0.000000	0.000000	0.000000
0.035	0.0010	0.25000	0.000000	0.100000	0.094700	0.378500	0.000000	0.277900	0.000000	0.027000	0.000000	0.000000	0.000000
0.040	0.0010	0.25000	0.000000	0.100000	0.101000	0.406000	0.000000	0.283500	0.000000	0.032000	0.000000	0.000000	0.000000

TABLA 5.6

5.3 RESULTADOS EXPERIMENTALES

A continuación se presentan la tablas 5.7 a 5.10 con los resultados obtenidos en el laboratorio, junto con las figuras 5.4 a 5.7 en la que se pueden observar el comportamiento del flujo.

$S_0 = 0.0007$

X	V	FONDO	SUPERFICIE
2.8000	34.66		
2.9000	34.62		
2.9000	34.68		
2.9000	34.65		
2.7000	34.68		
2.8000	34.71		
2.9000	34.71		
2.4000	34.70		
2.2000	34.91		
2.2000	34.90		
2.1000	34.79		
2.0000	34.75		
2.0000	34.75		
2.0000	34.78		
2.0500		4.32	34.42
2.2200		9.10	34.31
6.612		11.96	34.10
6.6200		9.31	32.98
6.6200		11.20	33.00
6.547	32.69		
6.5000	32.69		
6.4500	32.61		
6.1900	31.61		
6.3500	31.413		
6.3500	31.178		
6.3500	31.178		
6.3000	31.178		
6.2500	31.2	2.84	
6.2500	31.044		
6.2000	31.2	2.14	
6.2000	31.2	1.62	
6.1500	31.2	1.34	
6.1000	31.2	1.04	
6.1000	31.2	0.93	
6.0500	31.1	0.93	
6.0000	31.1	0.93	
5.9500	31.1	0.73	
5.9000	31.2	0.63	
5.8500	31.2	0.53	
5.8000	31.2	0.43	
5.7500	31.2	0.33	
5.7000	31.2	0.23	
5.6500	31.2	0.13	
5.6000	31.2	0.03	
5.5500	31.2	0.03	
5.5000	31.2	0.03	
5.4500	31.2	0.03	
5.4000	31.2	0.03	
5.3500	31.2	0.03	
5.3000	31.2	0.03	
5.2500	31.2	0.03	
5.2000	31.2	0.03	
5.1500	31.2	0.03	
5.1000	31.2	0.03	
5.0500	31.2	0.03	
5.0000	31.2	0.03	
4.9500	31.2	0.03	
4.9000	31.2	0.03	
4.8500	31.2	0.03	
4.8000	31.2	0.03	
4.7500	31.2	0.03	
4.7000	31.2	0.03	
4.6500	31.2	0.03	
4.6000	31.2	0.03	
4.5500	31.2	0.03	
4.5000	31.2	0.03	
4.4500	31.2	0.03	
4.4000	31.2	0.03	
4.3500	31.2	0.03	
4.3000	31.2	0.03	
4.2500	31.2	0.03	
4.2000	31.2	0.03	
4.1500	31.2	0.03	
4.1000	31.2	0.03	
4.0500	31.2	0.03	
4.0000	31.2	0.03	
3.9500	31.2	0.03	
3.9000	31.2	0.03	
3.8500	31.2	0.03	
3.8000	31.2	0.03	
3.7500	31.2	0.03	
3.7000	31.2	0.03	
3.6500	31.2	0.03	
3.6000	31.2	0.03	
3.5500	31.2	0.03	
3.5000	31.2	0.03	
3.4500	31.2	0.03	
3.4000	31.2	0.03	
3.3500	31.2	0.03	
3.3000	31.2	0.03	
3.2500	31.2	0.03	
3.2000	31.2	0.03	
3.1500	31.2	0.03	
3.1000	31.2	0.03	
3.0500	31.2	0.03	
3.0000	31.2	0.03	
2.9500	31.2	0.03	
2.9000	31.2	0.03	
2.8500	31.2	0.03	
2.8000	31.2	0.03	
2.7500	31.2	0.03	
2.7000	31.2	0.03	
2.6500	31.2	0.03	
2.6000	31.2	0.03	
2.5500	31.2	0.03	
2.5000	31.2	0.03	
2.4500	31.2	0.03	
2.4000	31.2	0.03	
2.3500	31.2	0.03	
2.3000	31.2	0.03	
2.2500	31.2	0.03	
2.2000	31.2	0.03	
2.1500	31.2	0.03	
2.1000	31.2	0.03	
2.0500	31.2	0.03	
2.0000	31.2	0.03	
1.9500	31.2	0.03	
1.9000	31.2	0.03	
1.8500	31.2	0.03	
1.8000	31.2	0.03	
1.7500	31.2	0.03	
1.7000	31.2	0.03	
1.6500	31.2	0.03	
1.6000	31.2	0.03	
1.5500	31.2	0.03	
1.5000	31.2	0.03	
1.4500	31.2	0.03	
1.4000	31.2	0.03	
1.3500	31.2	0.03	
1.3000	31.2	0.03	
1.2500	31.2	0.03	
1.2000	31.2	0.03	
1.1500	31.2	0.03	
1.1000	31.2	0.03	
1.0500	31.2	0.03	
1.0000	31.2	0.03	
0.9500	31.2	0.03	
0.9000	31.2	0.03	
0.8500	31.2	0.03	
0.8000	31.2	0.03	
0.7500	31.2	0.03	
0.7000	31.2	0.03	
0.6500	31.2	0.03	
0.6000	31.2	0.03	
0.5500	31.2	0.03	
0.5000	31.2	0.03	
0.4500	31.2	0.03	
0.4000	31.2	0.03	
0.3500	31.2	0.03	
0.3000	31.2	0.03	
0.2500	31.2	0.03	
0.2000	31.2	0.03	
0.1500	31.2	0.03	
0.1000	31.2	0.03	
0.0500	31.2	0.03	
0.0000	31.2	0.03	

$\Delta h = 5.8 \text{ cm}$

TABLA 5.7

$$S_a = 0.0009$$

$\Delta h = 5.8 \text{ cm}$

$H_{\text{ext}} = 32.8$ en la salida

TABLA 5-8

$S_a = 0.0009$

X	Y	FONDO	SUPERFICIE
2.0000	27.99		
2.0000	27.75		
2.0000	27.50		
2.0000	27.25		
2.0000	27.00		
2.0000	26.75		
2.0000	26.50		
2.0000	26.25		
2.0000	26.00		
2.0000	25.75		
2.0000	25.50		
2.0000	25.25		
2.0000	25.00		
2.0000	24.75		
2.0000	24.50		
2.0000	24.25		
2.0000	24.00		
2.0000	23.75		
2.0000	23.50		
2.0000	23.25		
2.0000	23.00		
2.0000	22.75		
2.0000	22.50		
2.0000	22.25		
2.0000	22.00		
2.0000	21.75		
2.0000	21.50		
2.0000	21.25		
2.0000	21.00		
2.0000	20.75		
2.0000	20.50		
2.0000	20.25		
2.0000	20.00		
2.0000	19.75		
2.0000	19.50		
2.0000	19.25		
2.0000	19.00		
2.0000	18.75		
2.0000	18.50		
2.0000	18.25		
2.0000	18.00		
2.0000	17.75		
2.0000	17.50		
2.0000	17.25		
2.0000	17.00		
2.0000	16.75		
2.0000	16.50		
2.0000	16.25		
2.0000	16.00		
2.0000	15.75		
2.0000	15.50		
2.0000	15.25		
2.0000	15.00		
2.0000	14.75		
2.0000	14.50		
2.0000	14.25		
2.0000	14.00		
2.0000	13.75		
2.0000	13.50		
2.0000	13.25		
2.0000	13.00		
2.0000	12.75		
2.0000	12.50		
2.0000	12.25		
2.0000	12.00		
2.0000	11.75		
2.0000	11.50		
2.0000	11.25		
2.0000	11.00		
2.0000	10.75		
2.0000	10.50		
2.0000	10.25		
2.0000	10.00		
2.0000	9.75		
2.0000	9.50		
2.0000	9.25		
2.0000	9.00		
2.0000	8.75		
2.0000	8.50		
2.0000	8.25		
2.0000	8.00		
2.0000	7.75		
2.0000	7.50		
2.0000	7.25		
2.0000	7.00		
2.0000	6.75		
2.0000	6.50		
2.0000	6.25		
2.0000	6.00		
2.0000	5.75		
2.0000	5.50		
2.0000	5.25		
2.0000	5.00		
2.0000	4.75		
2.0000	4.50		
2.0000	4.25		
2.0000	4.00		
2.0000	3.75		
2.0000	3.50		
2.0000	3.25		
2.0000	3.00		
2.0000	2.75		
2.0000	2.50		
2.0000	2.25		
2.0000	2.00		
2.0000	1.75		
2.0000	1.50		
2.0000	1.25		
2.0000	1.00		
2.0000	0.75		
2.0000	0.50		
2.0000	0.25		
2.0000	0.00		

TABLA 5.9

$$S_a = 0.017$$

X	Y	FONDO	SUPERFICIE
9.0000	8.40	0.45	
9.0000	7.90	0.45	
7.2500	7.90	0.45	
7.2500	7.50	0.45	
7.2500	7.25	0.45	
7.2500	7.00	0.45	
7.2500	6.80	0.45	
7.2500	6.60	0.45	
7.2500	7.95	0.45	
7.4500	7.70	0.41	
7.4500	7.30	0.41	
7.4500	6.90	0.41	
7.4500	7.76	0.45	
7.4500	7.50	0.45	
7.4500	7.00	0.45	
7.3500	6.80	0.41	
7.3500	6.50	0.31	
7.2500	8.15	0.30	
7.2500	8.00	0.25	
7.1500	14.60	0.22	
7.1600	14.82	0.30	
7.0500	15.00	0.42	
7.0000	16.00	0.45	
6.9500	17.00	0.40	
6.9500	19.70	0.35	
6.9500	19.60	0.35	
6.8000	19.60	0.40	
6.7300		0.50	20.60
6.7200		3.10	20.65
6.7200		6.90	20.40
6.6120		3.00	19.90
6.5500	17.35	0.65	19.60
6.5500	15.30	0.60	
6.4500	15.40	0.50	
6.4500	11.60	0.50	
6.4500	6.20	0.40	
6.4500	6.20	0.40	
6.2500	6.20	0.31	
6.2500	9.44	0.31	
6.2500	9.60	0.40	
6.1500	9.60	0.40	
6.1500	8.80	0.30	
6.1500	8.80	0.30	
6.0500	8.80	0.41	
6.0500	8.80	0.41	
5.9000	8.80	0.41	
5.9000	8.55	0.45	
5.7000	8.60	0.30	
5.6000	8.49	0.31	
5.5500	8.24	0.40	
5.4500	8.24	0.39	
5.3000	8.10	0.38	
5.1000	8.10	0.45	
5.1000	8.10	0.45	
4.9000	8.30	0.47	
4.8000	7.86	0.45	
4.7000	7.90	0.45	
4.6000	7.49	0.41	

TABLA 5.10

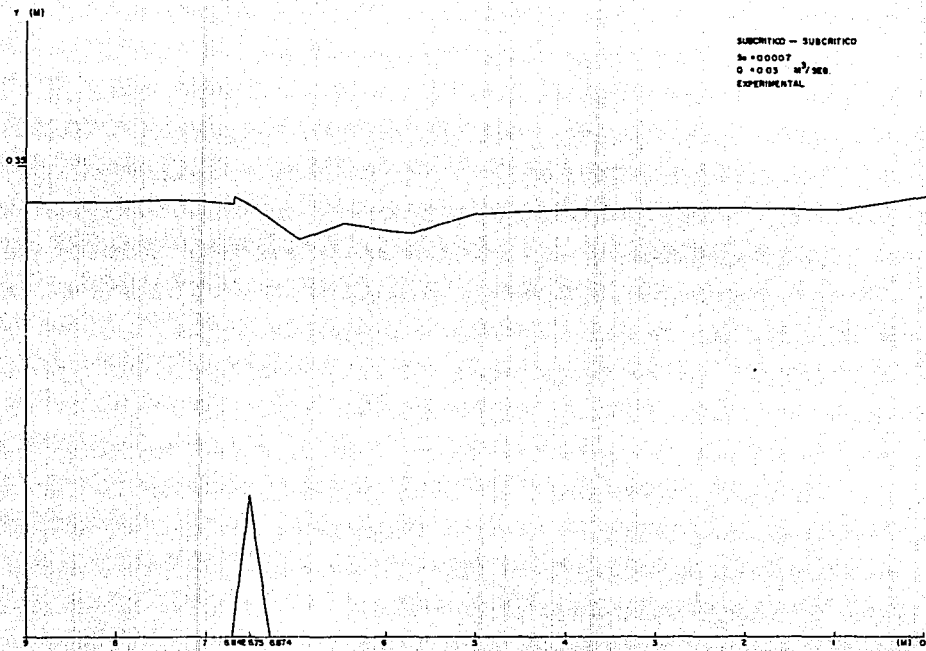
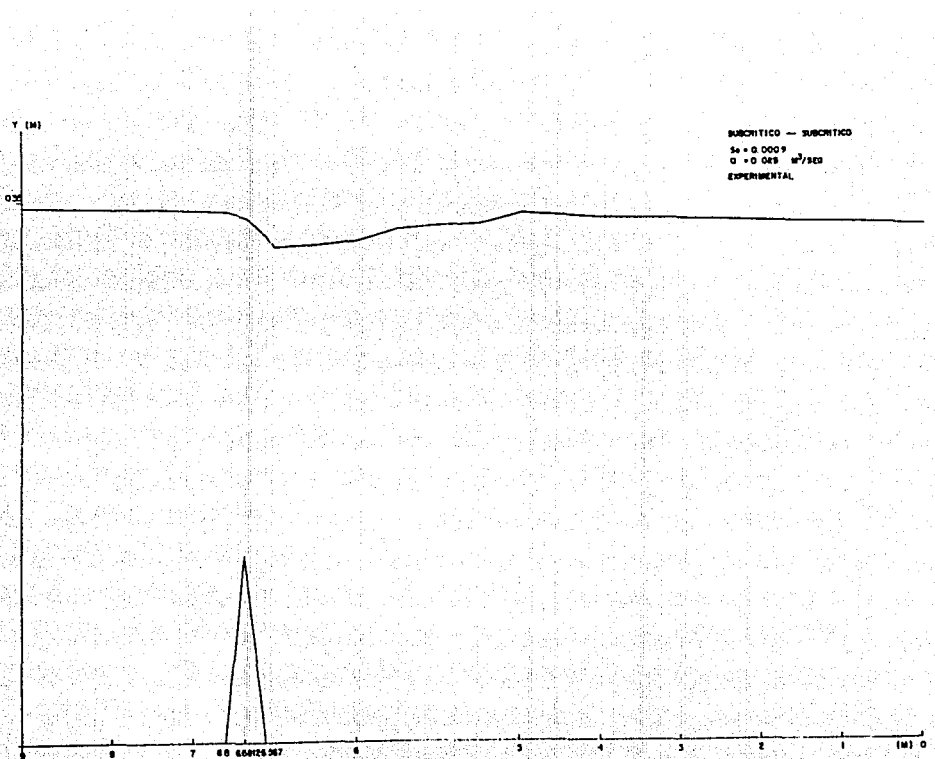


FIG. 5.4



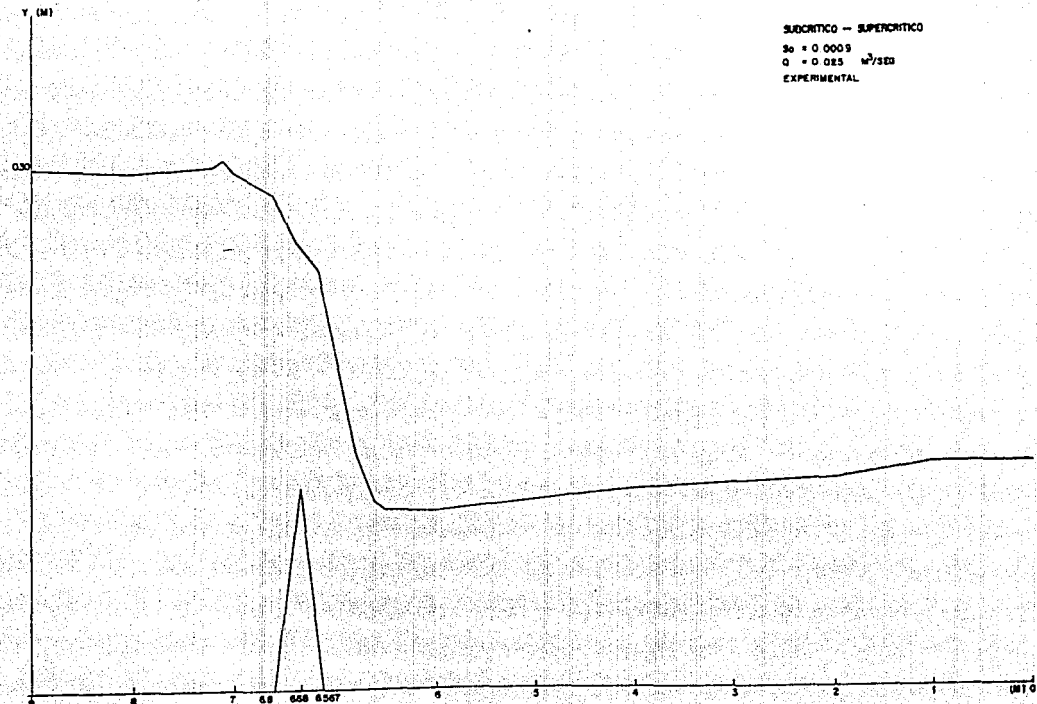


FIG. 56

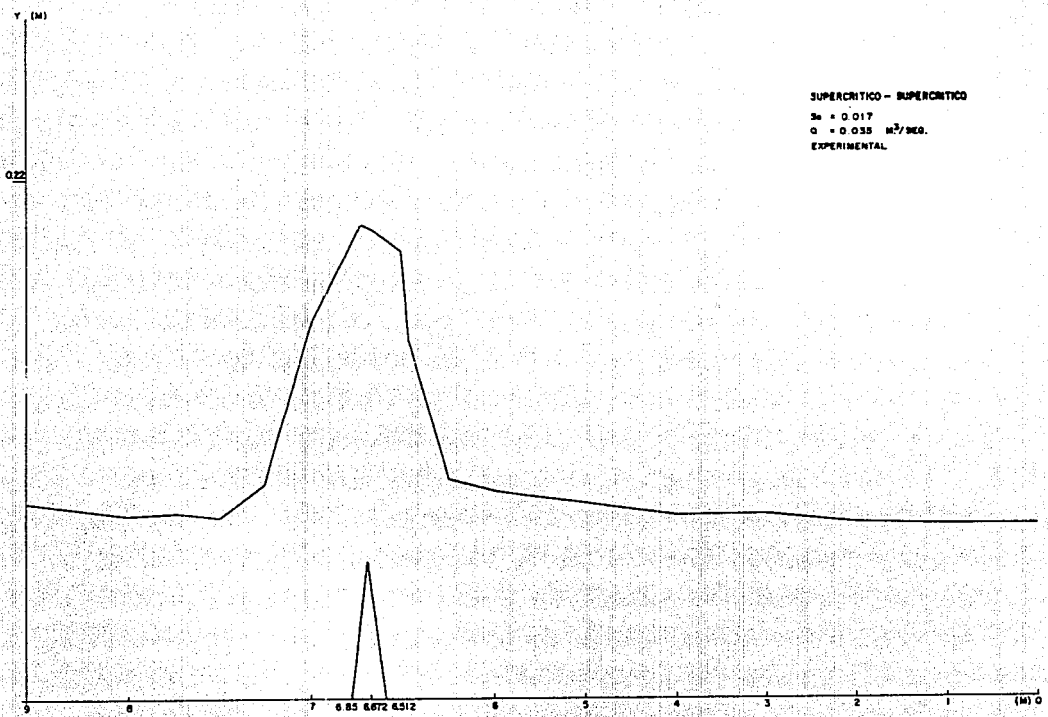


FIG. 5.7

G A P I T U L O V I

COMPARACION DE RESULTADOS.

Para realizar la comparación de los resultados obtenidos, numérica, experimental y teóricamente, aparecen las gráficas 6.1 a 6.3. en las que se muestran los resultados de los 3 casos, estas gráficas son las curvas de los tres tipos de cálculo, con esto se puede hacer una mejor comparación.

Primeramente se comparan los resultados teóricos con respecto a los resultados numéricos, en este caso se observa que existe una gran similitud, ésta se debe a que las consideraciones tomadas en ambos casos son las mismas, flujo ideal y rotacional no viscoso y además no se consideran pérdidas por fricción.

Si se comparan los resultados numéricos con los resultados obtenidos en el laboratorio, se observa que la superficie libre del agua que arroja el modelo numérico y la teoría, se encuentran por debajo de la superficie libre del agua obtenida experimentalmente, esto se cumple para todos los casos estudiados.

Las razones para este comportamiento dependen de si se tiene el caso subcrítico-supercrítico ó supercrítico-supercrítico. Primeramente se analizará el caso subcrítico-supercrítico.

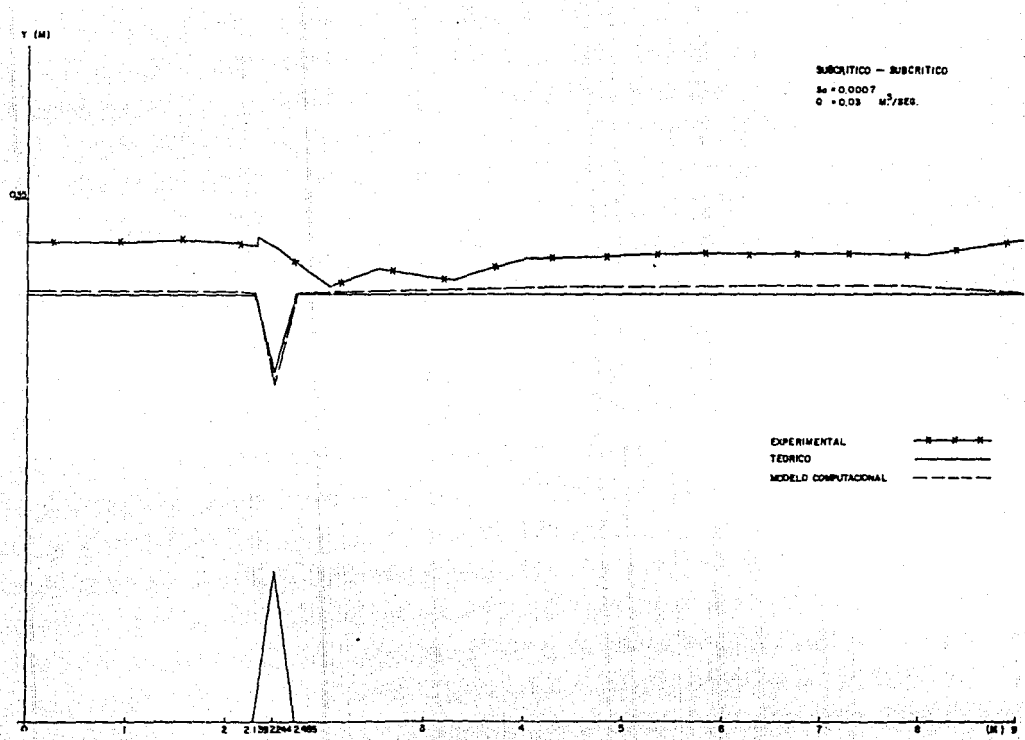


FIG. 6.1

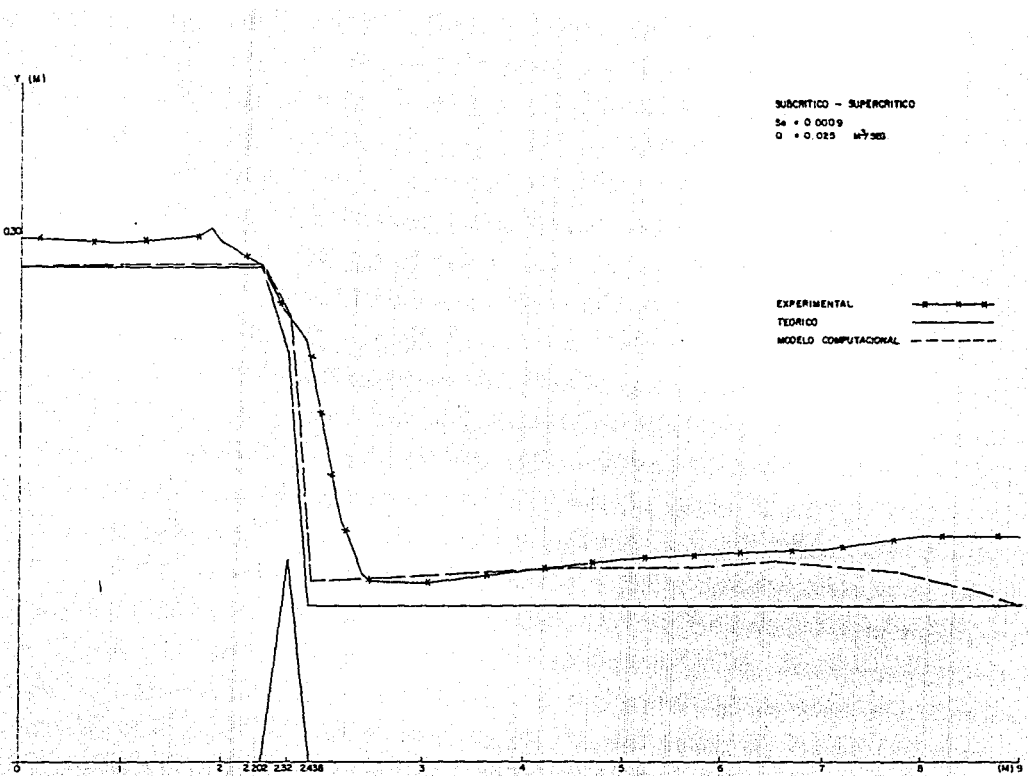


FIG. 6.2

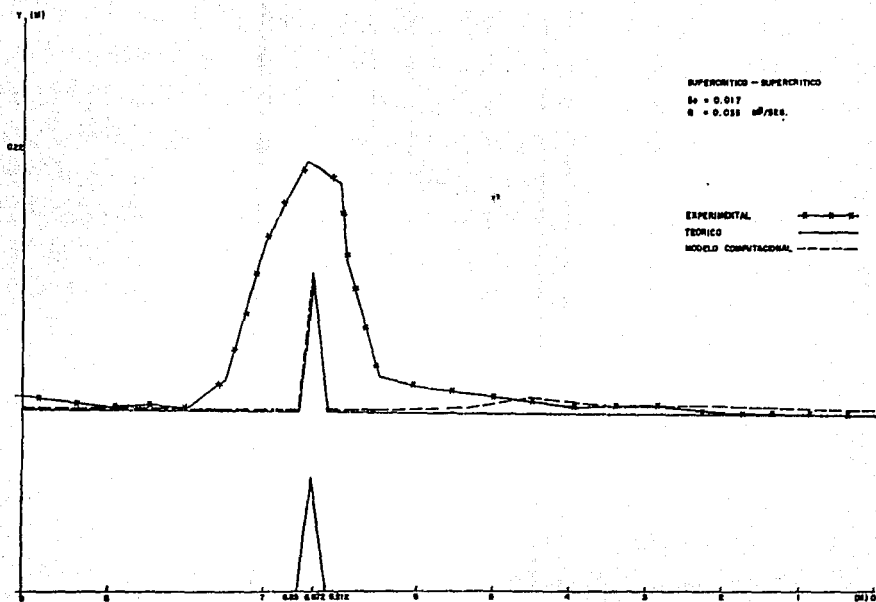


FIG. 6.3

a) Subcrítico-supercrítico:

En realidad la consideración de que el flujo es irrotacional no es verdadera, como todos sabemos la condición de irrotacionalidad depende de la vorticidad del fluido, la cual está dada por:

$$\eta = \frac{\partial v}{\partial x} - \frac{\partial u}{\partial y}$$

Por otro lado, el perfil de velocidades que se considera generalmente en la teoría de flujo en canales en régimen establecido es del siguiente tipo

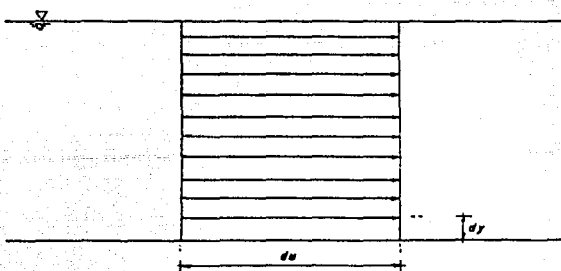


Figura 6.4 Perfil de velocidad teórico

pero en realidad es como lo muestra la siguiente figura

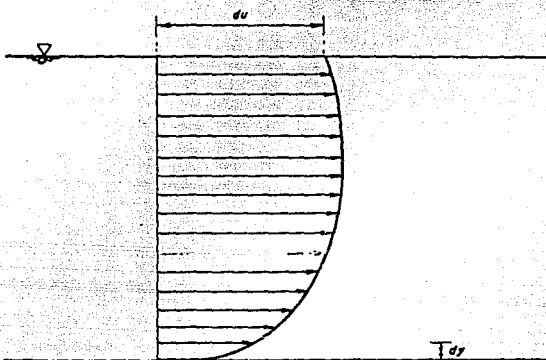


Figura 6.5 Perfil de velocidad real

En el presente trabajo se consideró un fluido ideal, por lo que por definición " $\eta = 0$ ". equivalentemente es como considerar el perfil de velocidades de la figura 6.4. tomando en cuenta el perfil de velocidades de la figura 6.5 se tiene evidentemente que en la parte cercana a la plantilla del canal " $v \neq 0$ " y además se tiene un gradiente de " u " con respecto a " y " por lo que

$$\eta = \frac{\partial v}{\partial x} - \frac{\partial u}{\partial y} \neq 0$$

es decir que existe vorticidad.

Si se considera, por simplificación, que " $v = 0$ " entonces tendremos que

$$\eta = - \frac{\partial u}{\partial y}$$

al pasar de régimen subcrítico a supercrítico la velocidad aumenta pues el tirante disminuye y se tendrá lo siguiente:

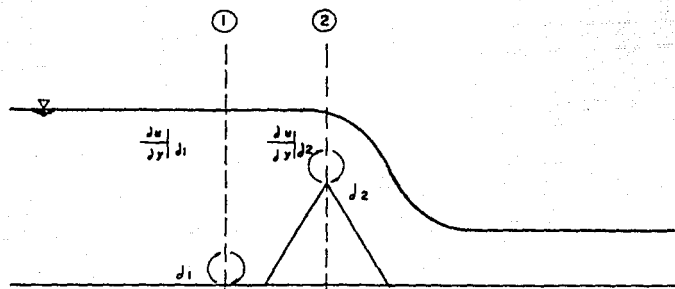


Figura 6.6

Es obvio que

$$\left. \frac{\partial u}{\partial y} \right|_{d_2} > \left. \frac{\partial u}{\partial y} \right|_{d_1}$$

por lo que el efecto de vorticidad tenderá a impulsar hacia arriba a la superficie libre del agua, razón por la cual los resultados de laboratorio son mayores que los resultados numéricos. También se observa que las pérdidas por fricción no influyen considerablemente ya que de cualquier manera se está obteniendo en un momento dado la energía específica mínima.

b) Supercrítico-supercrítico:

En este caso tendremos que buscar la explicación en las curvas de energía específica, considere la fig. 6.7.

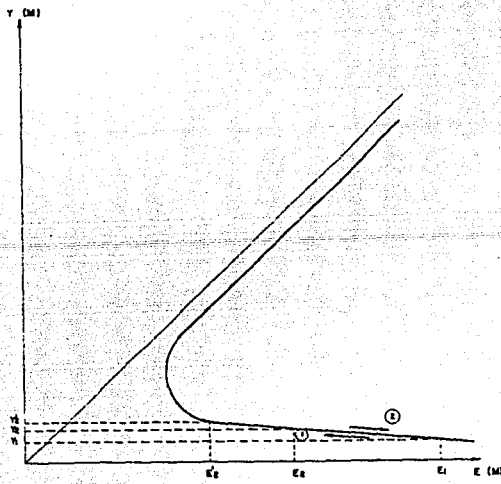


Figura 6.7

Inicialmente se tiene E_1 y por escalón se llega a E_2 al ser régimen supercrítico y con tirante de menos de 10 cm. las pérdidas por fricción sí son considerables, por lo que en realidad se llega a tener una energía E_2' que corresponderá a un tirante $Y_2' > Y_2$ teórico, que independientemente coincide con el Y_2 numérico. Así se explica el porqué de las diferencias de los resultados teóricos y numéricos con los resultados experimentales.

C A P I T U L O V I I

CONCLUSIONES.

Para terminar con el desarrollo del presente trabajo, se puede concluir:

1.- Los resultados que se obtienen por medio del método numérico aplicado en computadora son bastante aceptables comparados con los resultados teóricos. En comparación con los resultados experimentales se tiene una diferencia máxima del 5% y del 15% con respecto a los resultados experimentales.

2.- Para acercar más los resultados numéricos a los resultados experimentales se tendrían que hacer algunas consideraciones extras, como el tomar en cuenta la vorticidad, esto implicaría que ya no sería posible trabajar con la ecuación de Laplace, si no que habría que formular la ecuación de Poisson.

Los resultados obtenidos por medio de la simulación numérica son de muy buena calidad, es necesario impulsar el desarrollo de los métodos numéricos y sobre todo profundizar en el área de la Hidráulica, ciencia que tradicionalmente ha sido experimental, pero hay que reconocer la ayuda que métodos como el del Elemento Finito nos pueden prestar pues son más económicos que los métodos experimentales y pueden optimizar el uso de los laboratorios pues se podría acudir a estos ya con una muy buena idea de la posible

solución que se habría obtenido con la ayuda de la modelación computacional.

Es importante recalcar la interacción que debe existir entre modelos físicos (de laboratorio) y modelos numéricos, pues sin los primeros no será posible en ningún caso validar los segundos.

A P E N D I C E

VARIABLE	SIGNIFICADO
HEAD	Tirante inicial aguas arriba.
ITER	Número de iteraciones máximas.
MOOTH	Número de veces que se desea suavizar la red.
NMASX	Número de elementos maestros en la dirección "X".
NMASY	Número de elementos maestros en la dirección "Y".
NPME	Número de puntos por elemento maestro.
X,Y	Arreglos de coordenadas de elementos maestros.
NNX	Número total de nodos en la dirección "X".
NNY	Número total de nodos en la dirección "Y".
NNODE	Número total de nodos.
NELM	Número total de elementos.
COORD	Coordenadas globales de los nodos de cada elemento.
COORL	Coordenadas locales de los nodos de cada elemento.
ELEM	Nodos por elemento.
NX[I]	Número de divisiones por elemento maestro en la dirección "X".

VARIABLE	SIGNIFICADO
NY [I]	Número de divisiones por elemento maestro en dirección "Y".
A [I]	Toma los valores de la diagonal principal y los valores diferentes de cero tanto de arriba de la diagonal principal como abajo en la matriz global.
J [DIAG]	Nos indica la posición en la cual se encuentra el valor del vector A[I] dentro de la matriz global.
B [I]	Contiene inicialmente las condiciones de frontera. Al finalizar el programa contiene los valores de las líneas de flujo.
KEL [I,J]	Son las matrices de rigideces de cada elemento.
DP(I)	Son los valores del error en los puntos de la superficie libre del agua.
DY(I)	Son los valores de las correcciones que se aplicarán a los puntos en la superficie libre para con los valores corregidos empezar nuevamente el cálculo.

VARIABLE	SIGNIFICADO
FEL [I] -----	Es el vector de términos independientes de cada elemento.
TIRSA[] -----	Es el tirante aguas abajo del escalón en el canal

B I B L I O G R A F I A

1.- Aitchison, Joyce M.

A finite element solution for critical flow over a weir.
3rd International conference on finite elements in flow
problems, Banff, Alberta, Canada 1980.

2.- Alcaraz Paz, Alberto

Desarrollo de un modelo computacional para resolver el
problema de flujo subterráneo regional en 2-D en estado
estacionario, Trabajo Predoctoral, Instituto de
Geofísica. U.N.A.M. 1989.

3.- Alcaraz Paz, Alberto

Finite element simulation of flow under a sluice gate.
Tesis de maestría, University of Alberta, Canadá 1988.

4.- Alcaraz Paz, Alberto

Apuntes de la materia "Temas especiales de Hidráulica".
Facultad de Ingeniería. U.N.A.M.. Semestre 90-I.

5.- Dias Frederic

Open channel flows with submerged obstructions.

Journal of Fluid Mechanics (1989) vol. 206, pp. 155-170.

6.- King, Horace

Hidráulica. Ed. Trillas, México 1988.

7.- Lawrence, G.A.

Steady flow over an obstacle. Journal of Hydraulics Engineering. vol 113 No. 8, August 1987. pp. 981-991.

8.- Levi, Enzo

Mecánica de fluidos. Facultad de Ingeniería, U.N.A.M., Mexico, D.F., 1965.

9.- O'Carroll, M.J.

Numerical computations of critical flow over a weir. International Journal for Numeric Methods in Fluids, 1984, vol. 4, pp. 499-509.

10.- Shames, Irving Herman

La mecánica de los fluidos. Mc. Graw-Hill Book Company.
1967.

11.- Sotelo Avila, Gilberto

Hidráulica General. Limusa, México 1985.

12.- Sotelo Avila, Gilberto

Apuntes de hidráulica II. Facultad de Ingeniería.
U.N.A.M., México, D.F.. 1986.

13.- Zienkiewies, O.C.

The finite element method, 3rd edition. Mc. Graw-Hill
Book Company, London 1977.